

Disclosure

Astra Zeneca, Gilead, Abbvie, Neovii, Novartis

Actualités de la greffe et la thérapie cellulaire

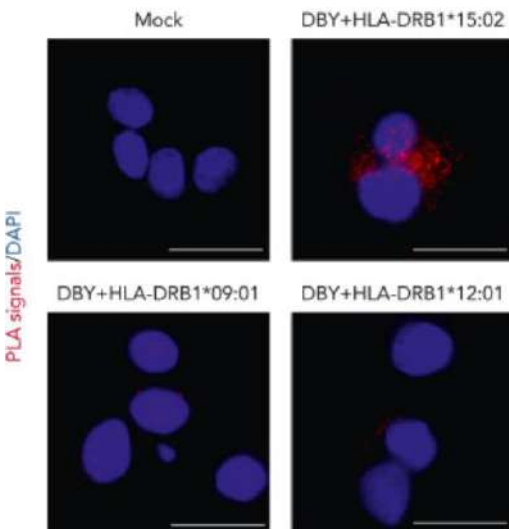
Revue de la littérature 2022-2023

Receveur H/Donneur F fdr GVH+++

Ag HY organes génitaux, cœur,
intracellulaire

Comment est il présenté aux
organes cibles GVH?

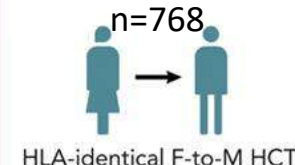
HLA DRB1 15:02 présente AgHY à la
surface des cellules



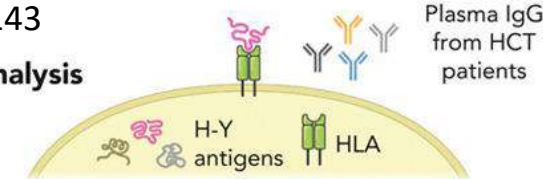
Antibody-Mediated Pathogenesis of Chronic GVHD through DBY/HLA Class II Complexes and Induction of a Graft-Versus Leukemia (GVL) Effect

Context of Research: Alloantibodies against H-Y antigens, encoded on the Y-chromosome, are well-described risk factors for GVHD in female-to-male transplantation. How H-Y antigens emerge at affected organ levels remains elusive.

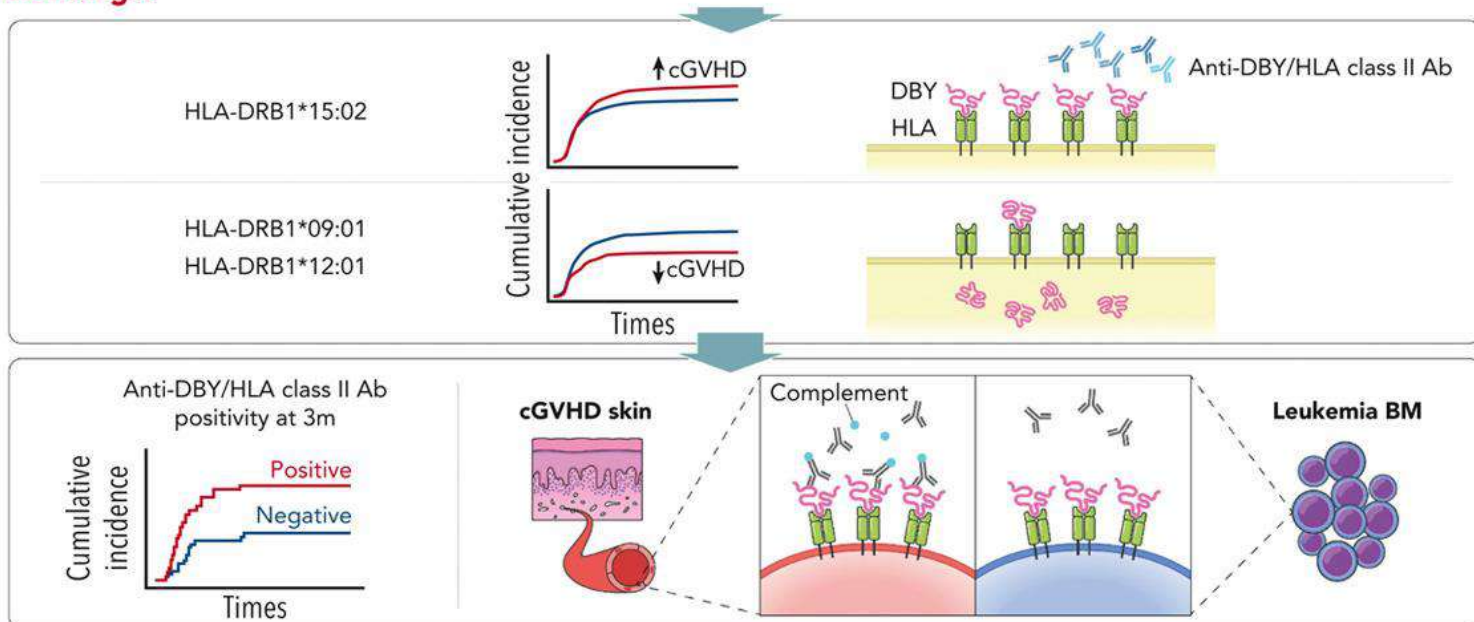
Patients and Methods: Analysis of nationwide transplantation registry and in vitro studies



n = 143
In vitro analysis

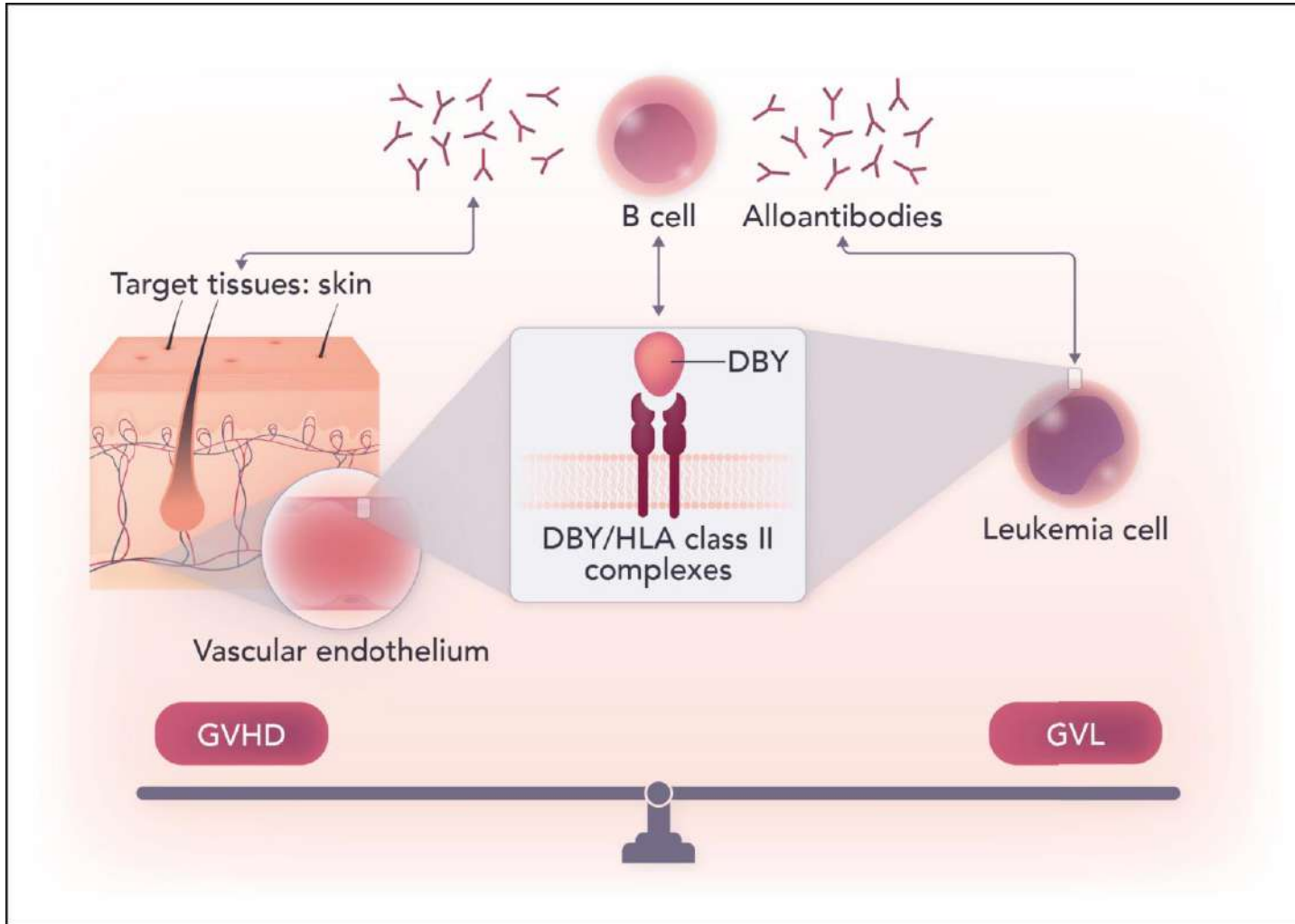


Main Findings:



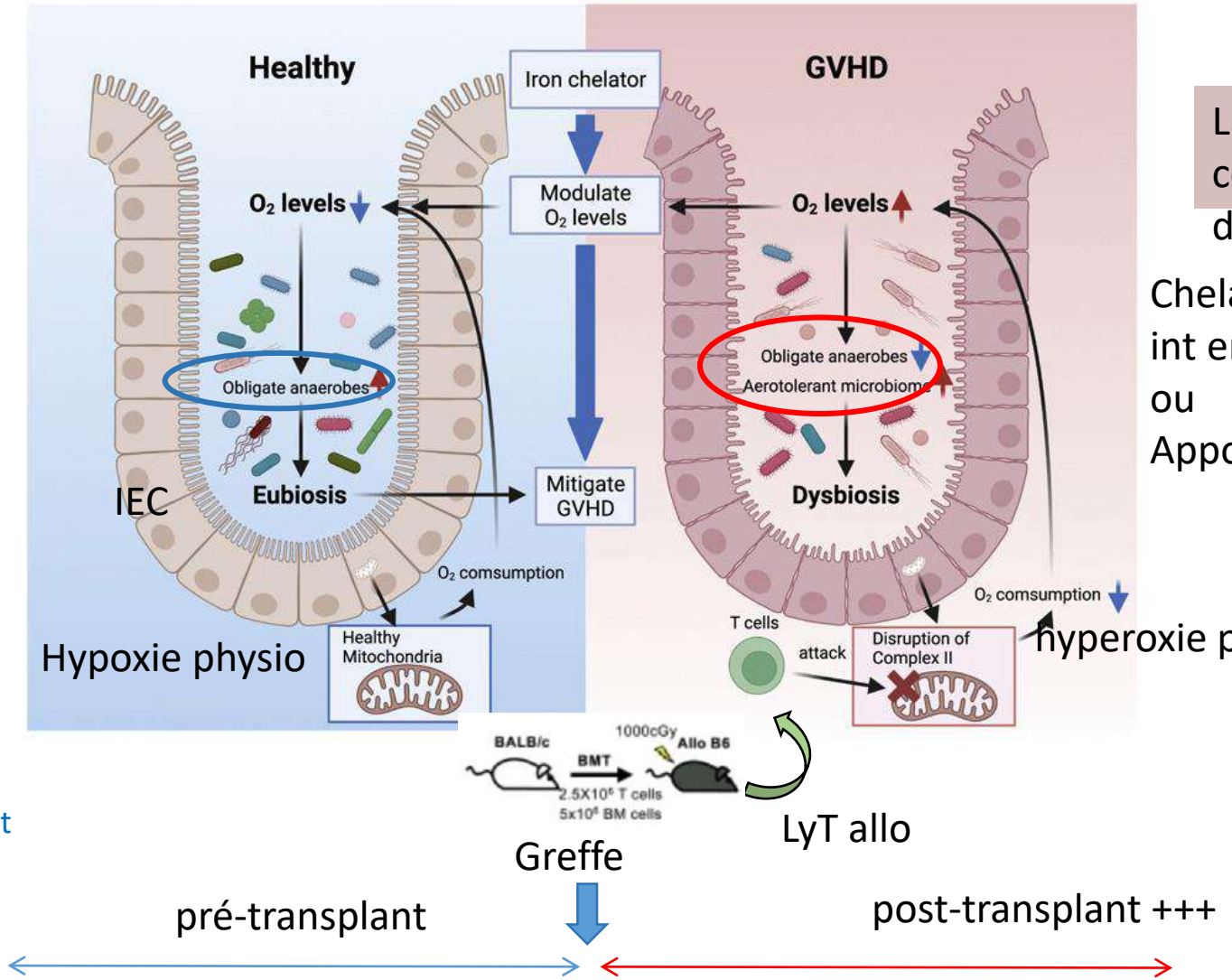
Conclusions: 1) Specific HLA alleles are related to chronic GVHD risk depending on DBY presenting capability;
2) Anti-DBY/HLA complex antibodies directly contribute to chronic GVHD pathogenesis.

W“H-Y” antigen/HLA complexes in chronic GVHD



Noa G. Holtzman, Steven Z. Pavletic, W“H-Y” antigen/HLA complexes in chronic GVHD, Blood, 2023,

Ambient oxygen levels regulate intestinal dysbiosis and GVHD severity after allogeneic stem cell transplantation



La dysbiose est la conséquence et non la cause de la GVH

Chelateur du fer (diminue l'excès O₂ lum int en diminuant la réaction de Fenton)
ou

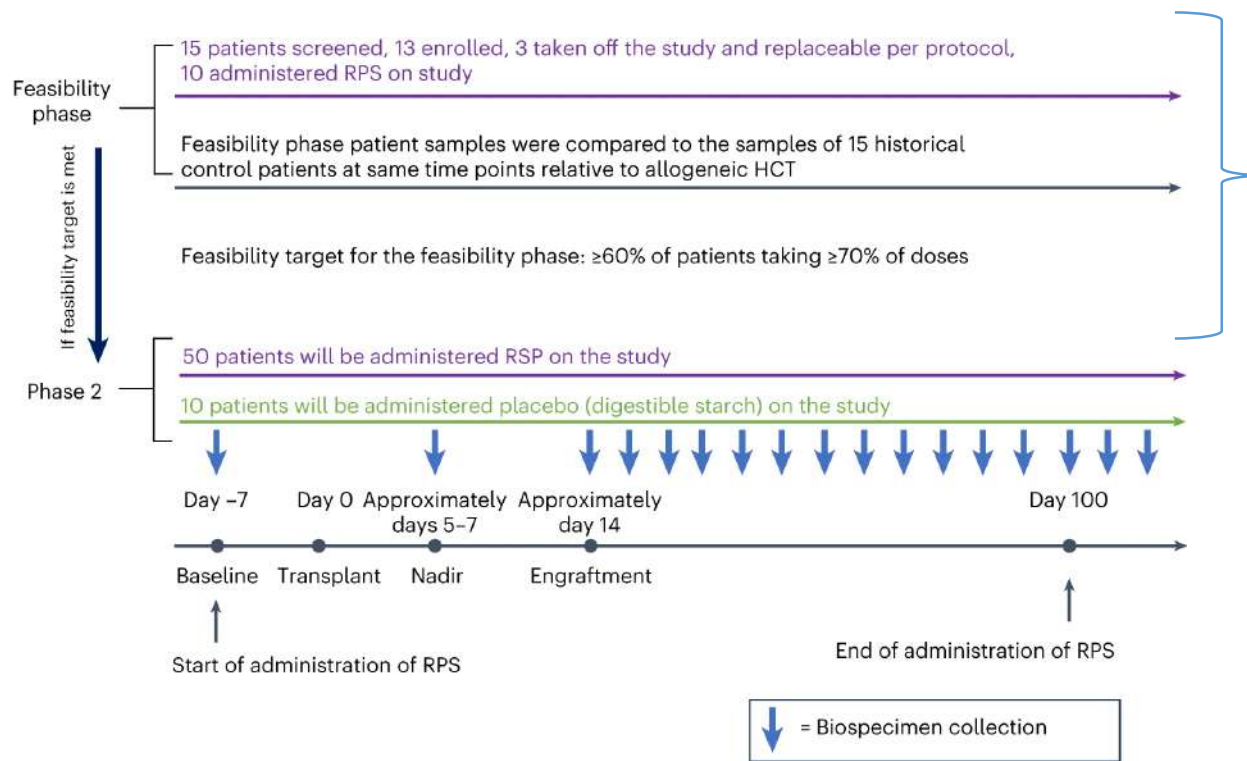
Apport eubiose post greffe

dim GVH

Germ Free: l'absence de microbiote aggrave GVH

Seike Immunity 2023

Feasibility of a dietary intervention to modify gut microbial metabolism in patients with hematopoietic stem cell transplantation



n=10 allo MRD

Ingestion de 20g/j de prébiotiques de J-7 à J100
(amidon de pomme de terre résistants aux enzymes et favorisant les bactéries productrices de butyrate ACC protection barrière muqueuse et énergie pour IEC et microbiote)



faisable, augmentation du butyrate dans les selles

Randomized Double-Blind Phase II Trial of Fecal Microbiota Transplantation Versus Placebo in Allogeneic Hematopoietic Cell Transplantation and AML

adultes, allo pour LAM (n=49 vs n=25) ou induction chimio LAM (n=18 vs n=8)

sortie d'aplasie, stop ATB 48h

Rando 2:1
 Placebo
 TMF orale, 5 capsules,
 répétables

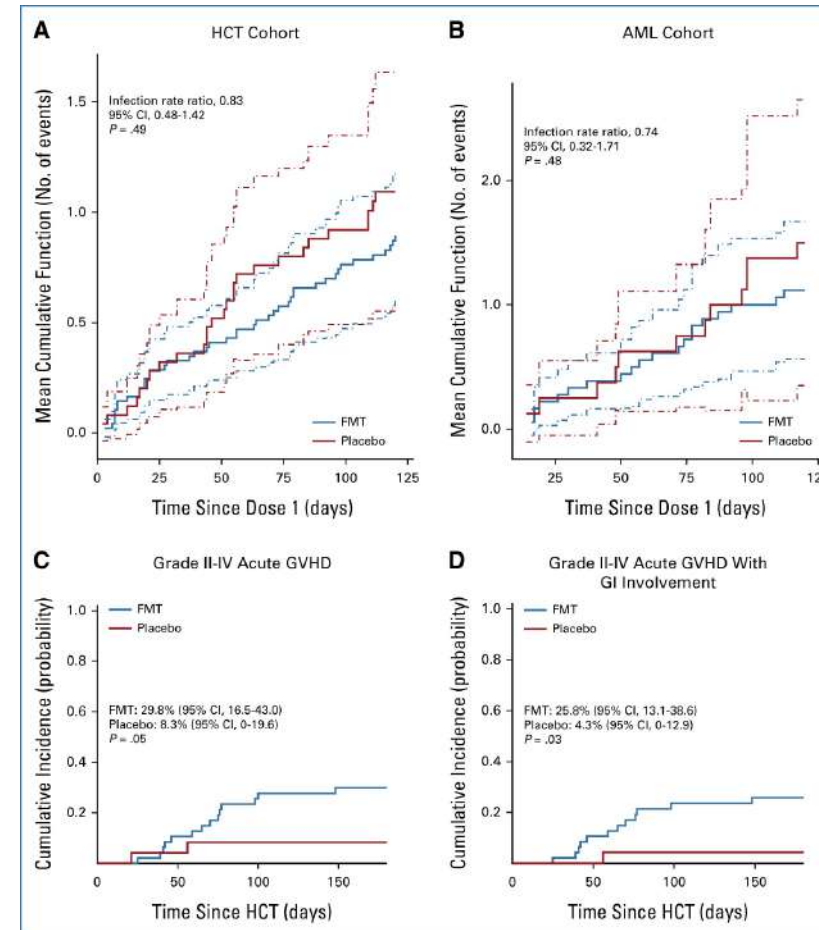
primary end point: taux d'infections dans les 4 mois après dose 1

+ de RIC (63.3% v 36.0%) et moins de cyclophosphamide-PT (PTCy) dans le bras FMT

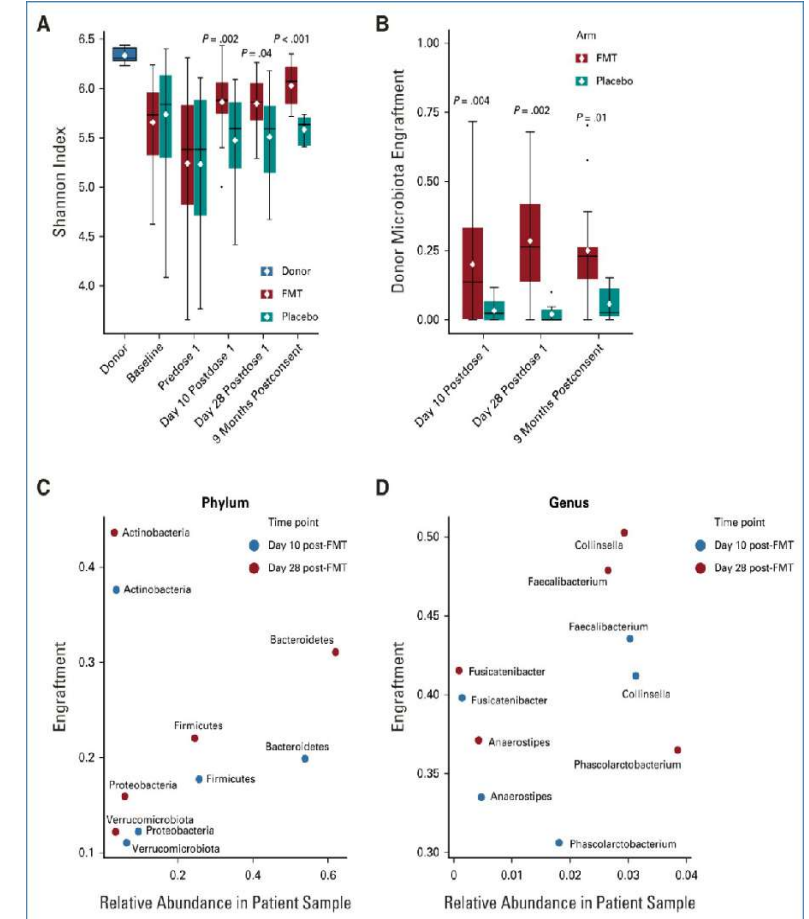
33/34 MAC ont reçu du PTCy

Rashidi , JCO 2023

La TMF ne diminue pas les infections ni la GVH

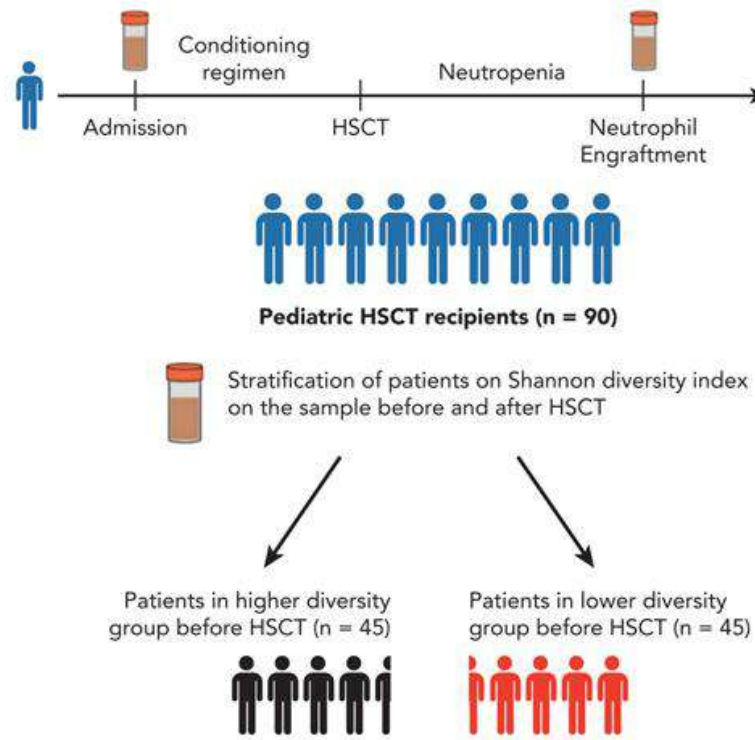


Amélioration de la dysbiose et phénotype donneur

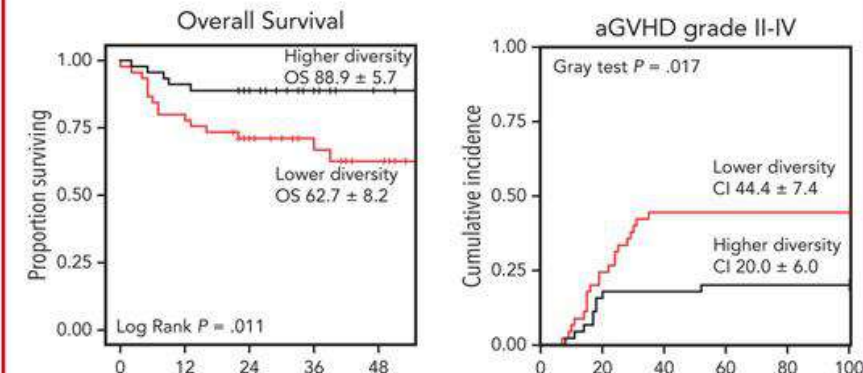


Gut Microbiota Diversity Before Allogeneic Hematopoietic Stem Cell Transplantation (HSCT) as a Predictor of Mortality in Children

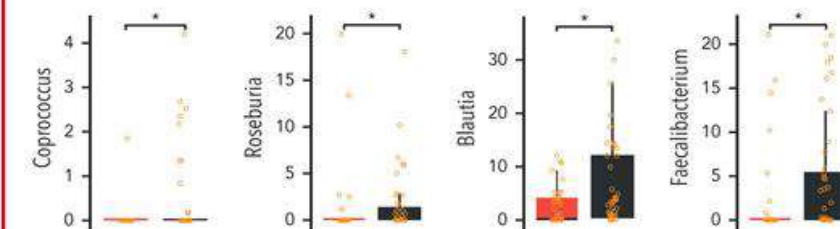
Patients and Methods



Main Outcomes



Gut microbiota composition at genus



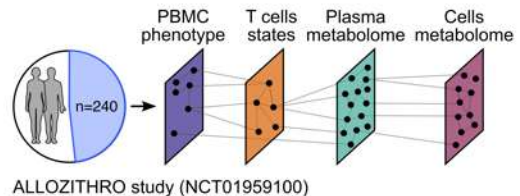
Conclusion: Higher pre-transplant microbiota diversity correlates with better overall survival, a lower incidence of acute GVHD, and a higher abundance of short-chain fatty acid (SCFA)-producing taxa.

Masetti et al. DOI: 10.1182/blood.2023020026

Blood
Visual
Abstract

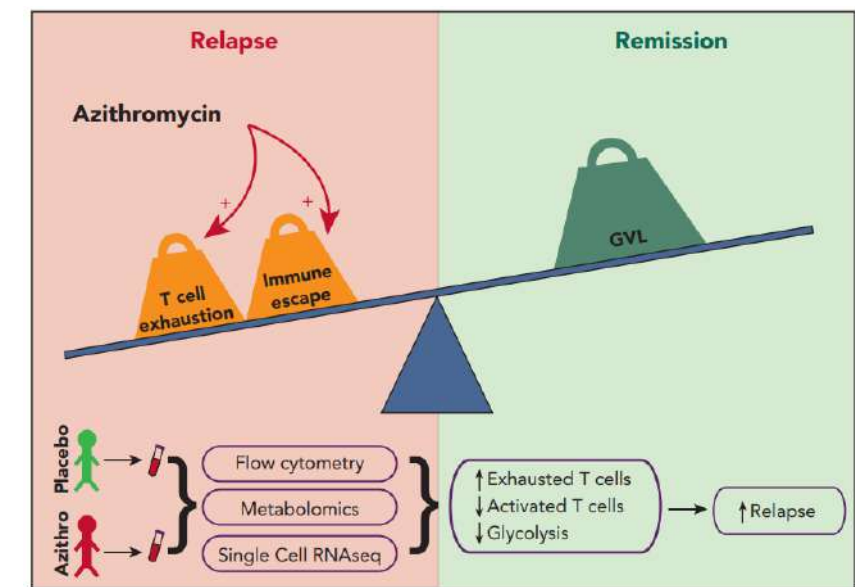
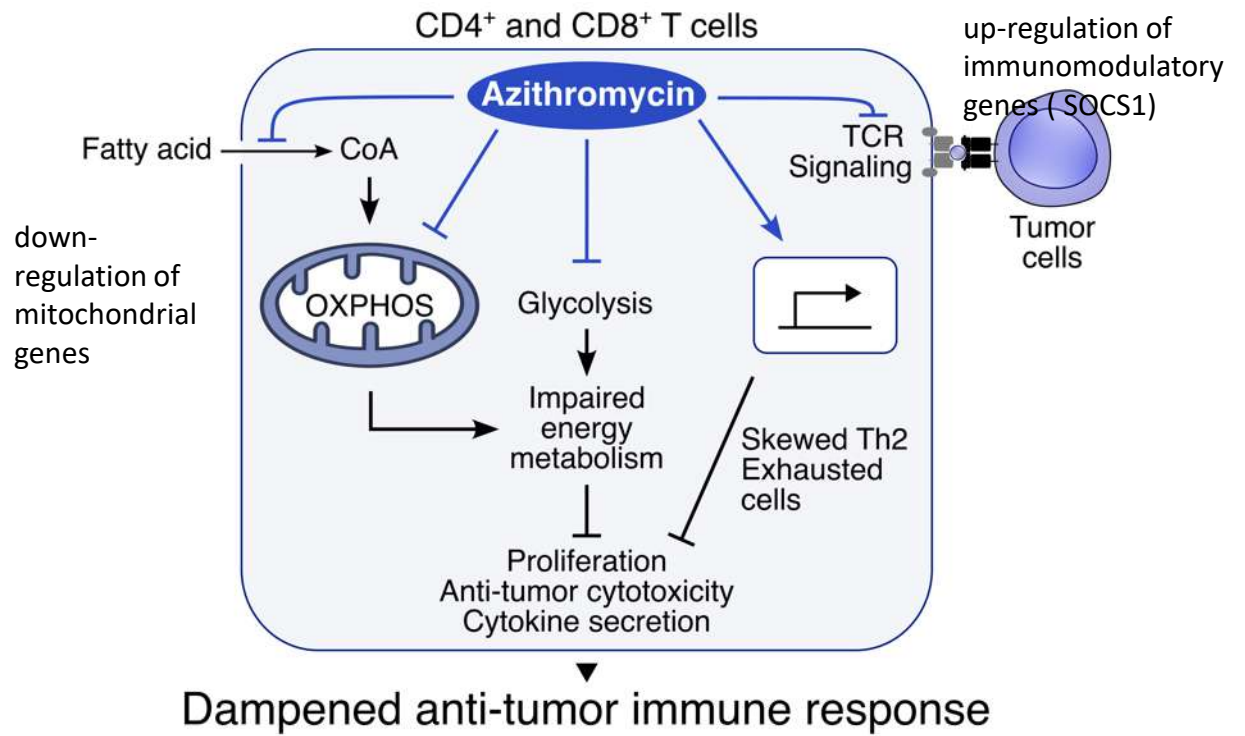
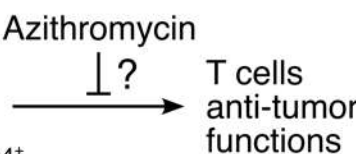
Azithromycin disrupts immune and metabolic networks and dampens immune response

Multi-omics on patients samples



ALLOZITHRO study (NCT01959100)

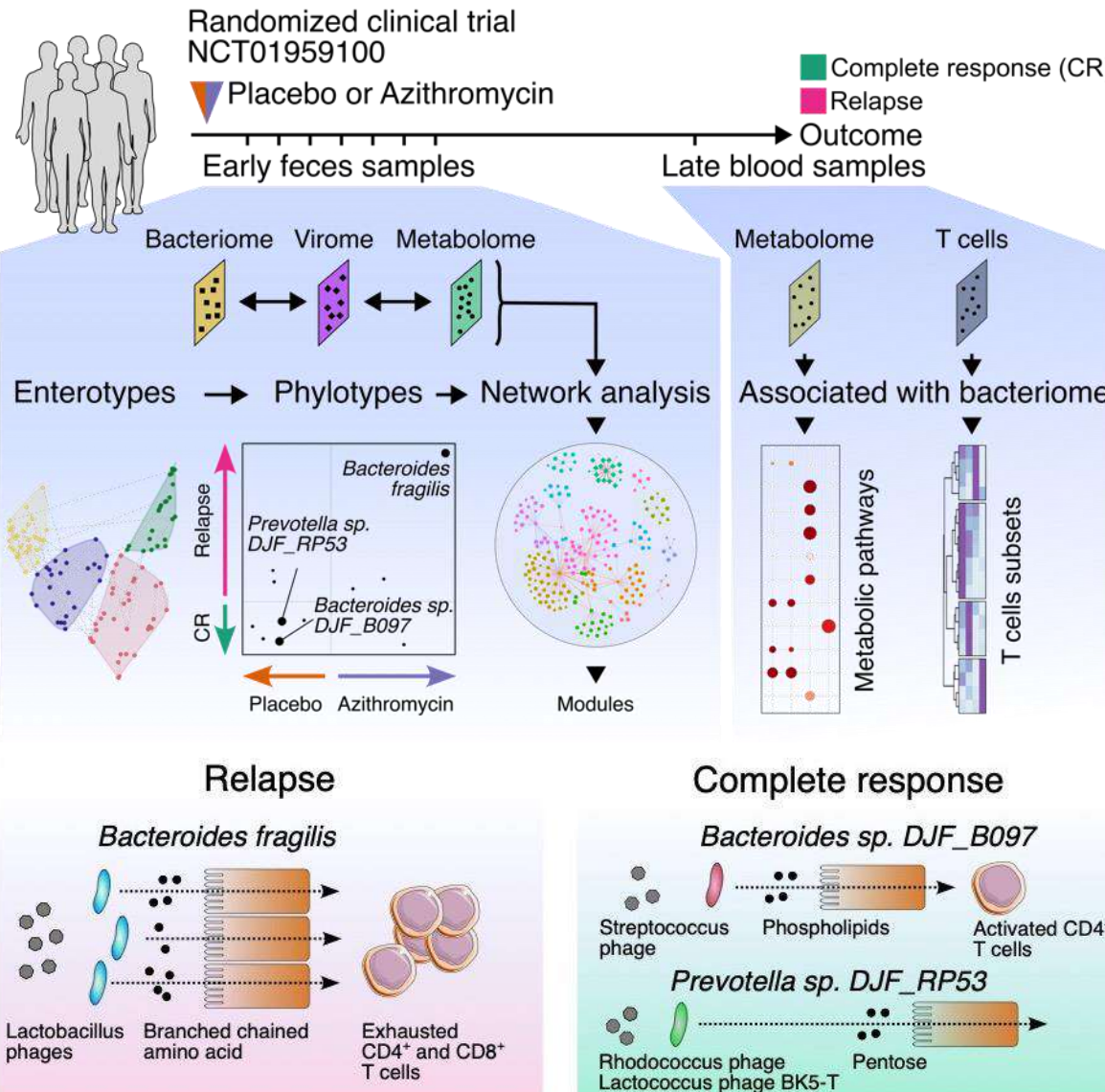
In vitro model



Dampened anti-tumor immune response

Circulating T cell profiles associate with enterotype signatures underlying hematological malignancy

Allogeneic hematopoietic stem cell transplantation



Enterotypes are associated with:

- Plasma metabolic pathways
- Circulating immune subsets

Bacteria species associated with hematologic response are correlated with blood immune substets

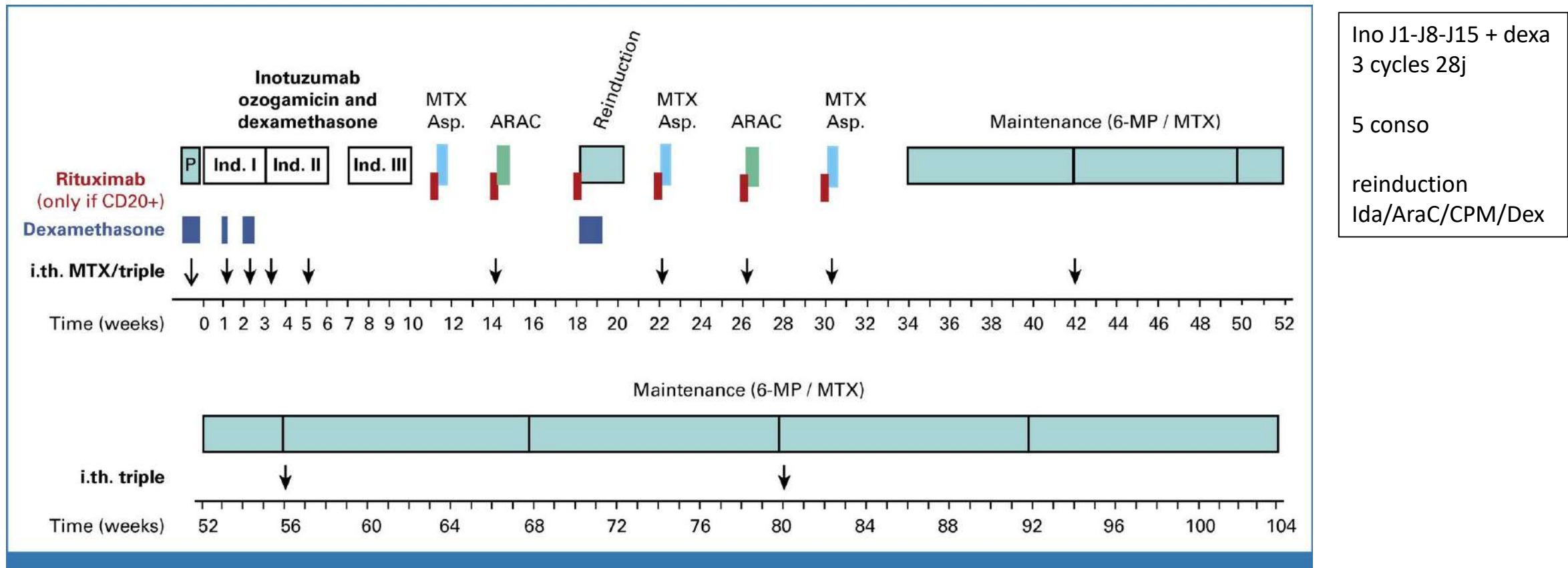
- *Bacteroides fragilis* and exhausted T cells
PD1+Tox+TIGIT+
- *Bacteroides sp. DJF_B097* and activated T cell
CD4+ KLRG1+

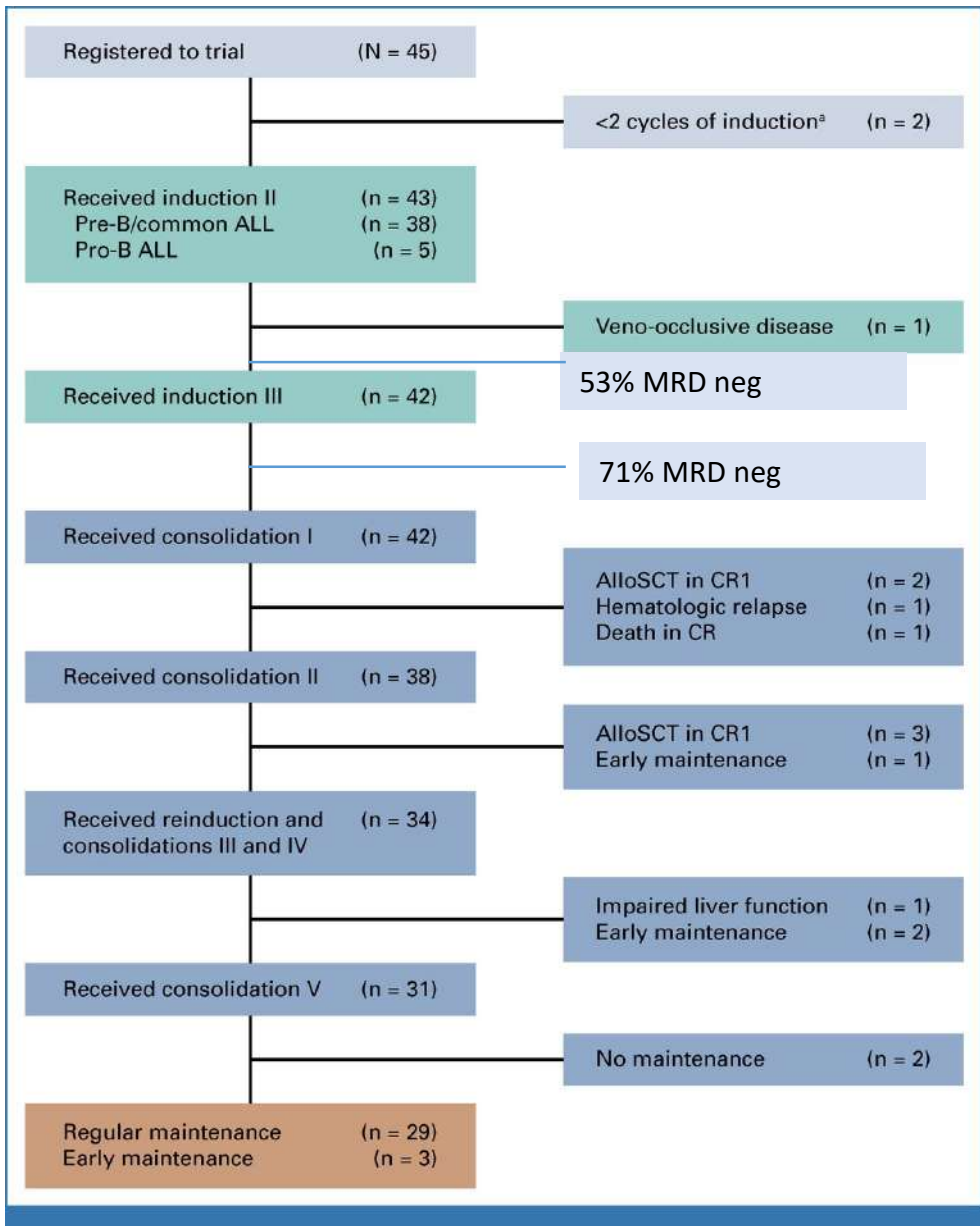
LAL sujet âgé

Inotuzumab Ozogamicin as Induction Therapy for Patients Older Than 55 Years With Philadelphia Chromosome–Negative B-Precursor ALL

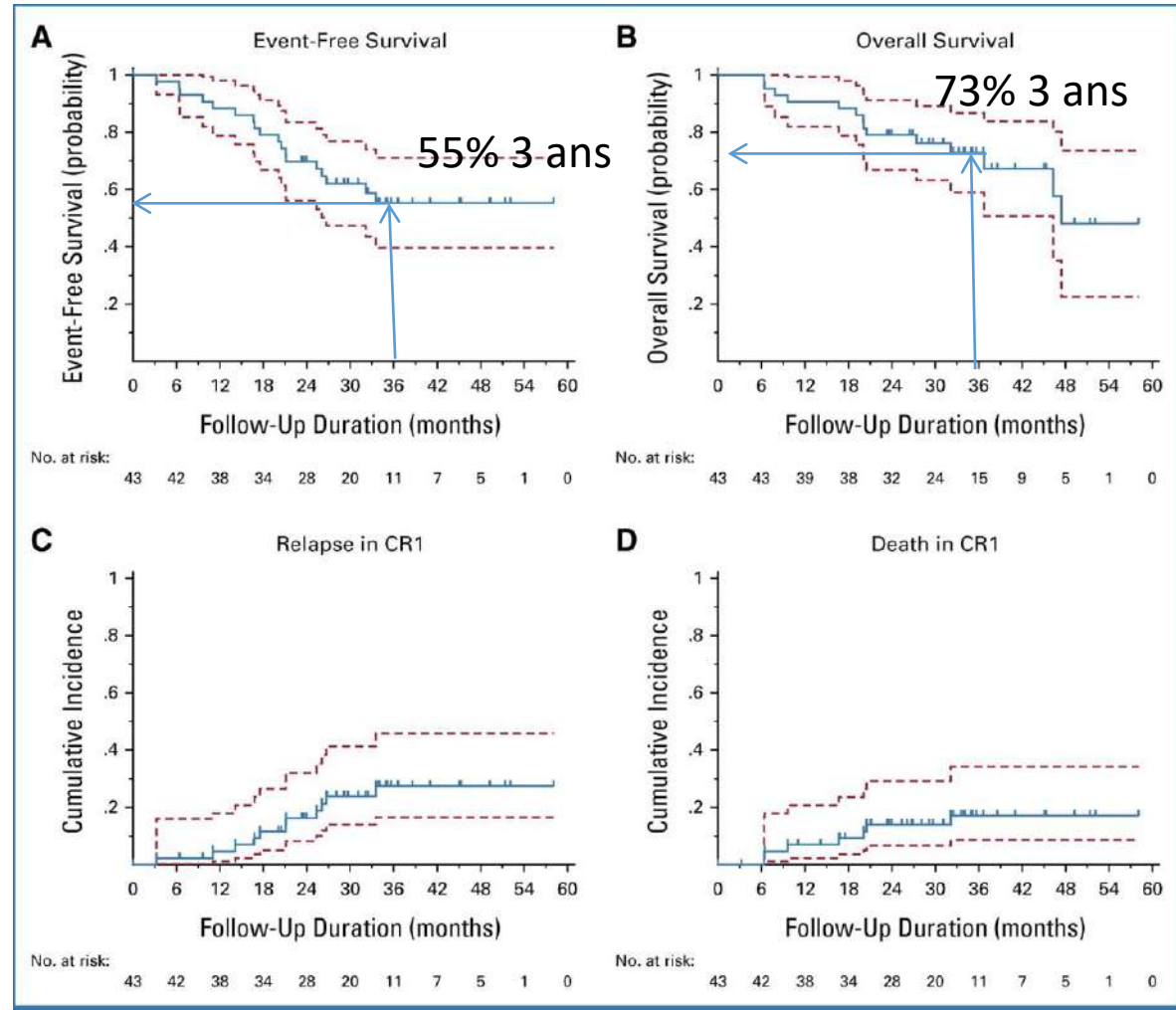
64 years (range, 56-80)

The open-label, phase 2 INITIAL-1 trial of the GMALL

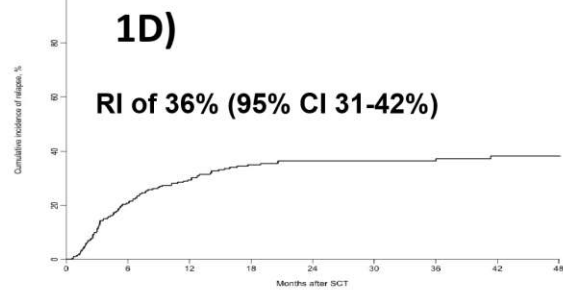
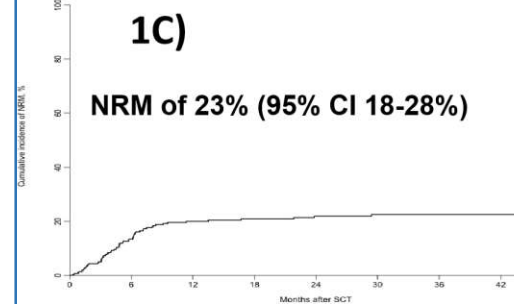
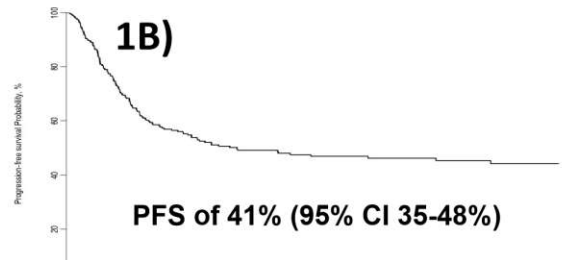
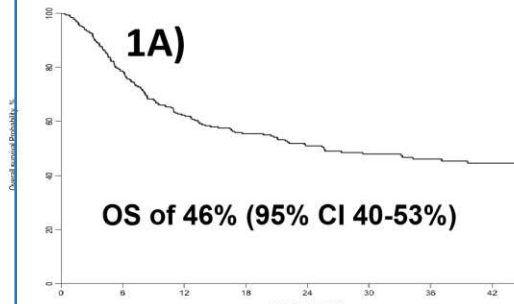




median follow-up of 2.7 years



Devenir à 3 ans des allo LAL >60 ans
étude rétrospective SFGM-TC (n=316)

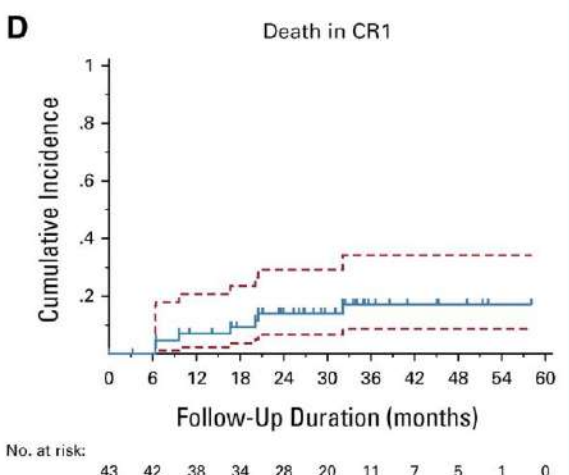
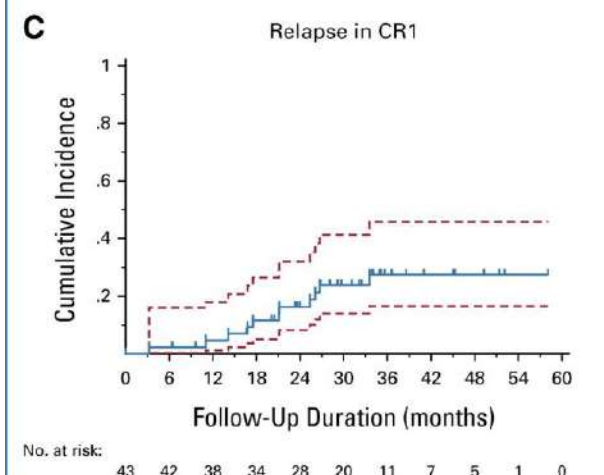
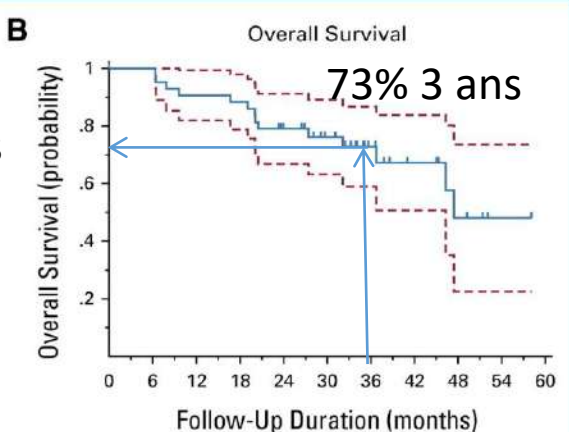
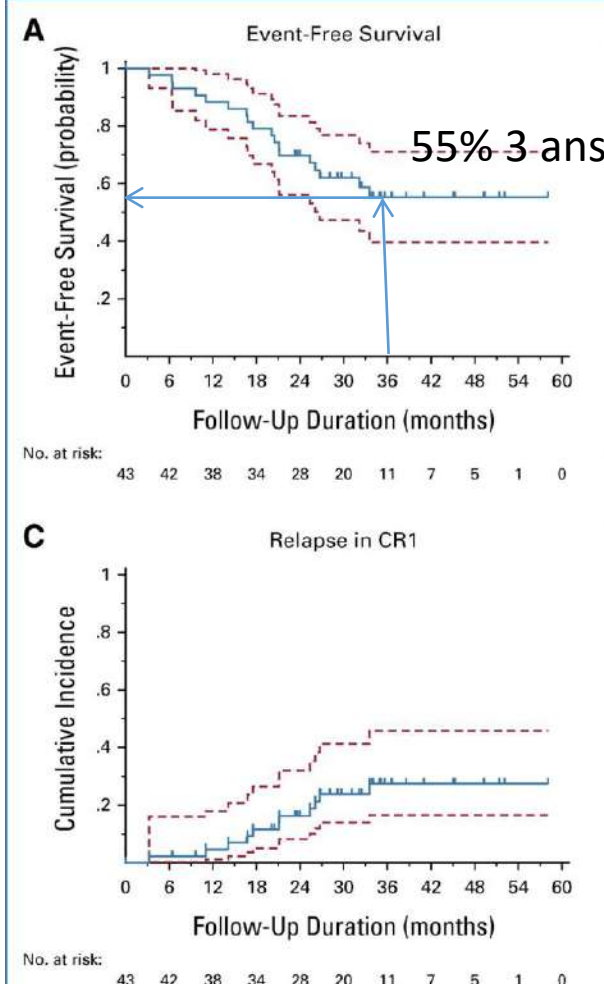


50% LALB Phi+
71% RC1, 23%RC2 et +
âge med 64 ans
2012-2022

Chalandon, ASH 2023



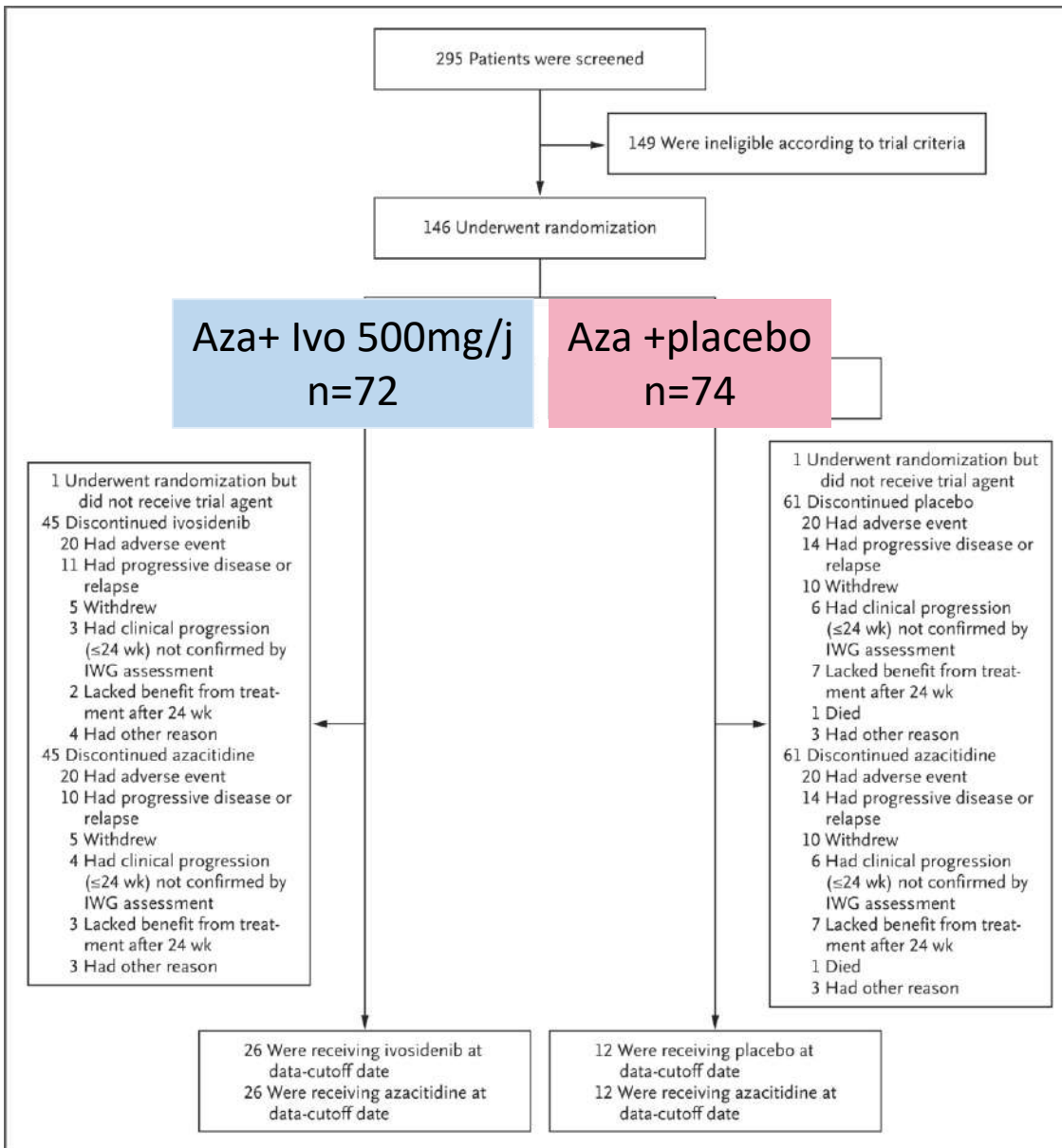
Inotuzumab, med 64 ans



Matthias Stelljes, JCO 2023

LAM/MDS

Ivosidenib and Azacitidine in IDH1-Mutated Acute Myeloid Leukemia



IDH1 =6-10% LAM

Phase 3 double aveugle, rando, AGILE

objectif primaire: EFS

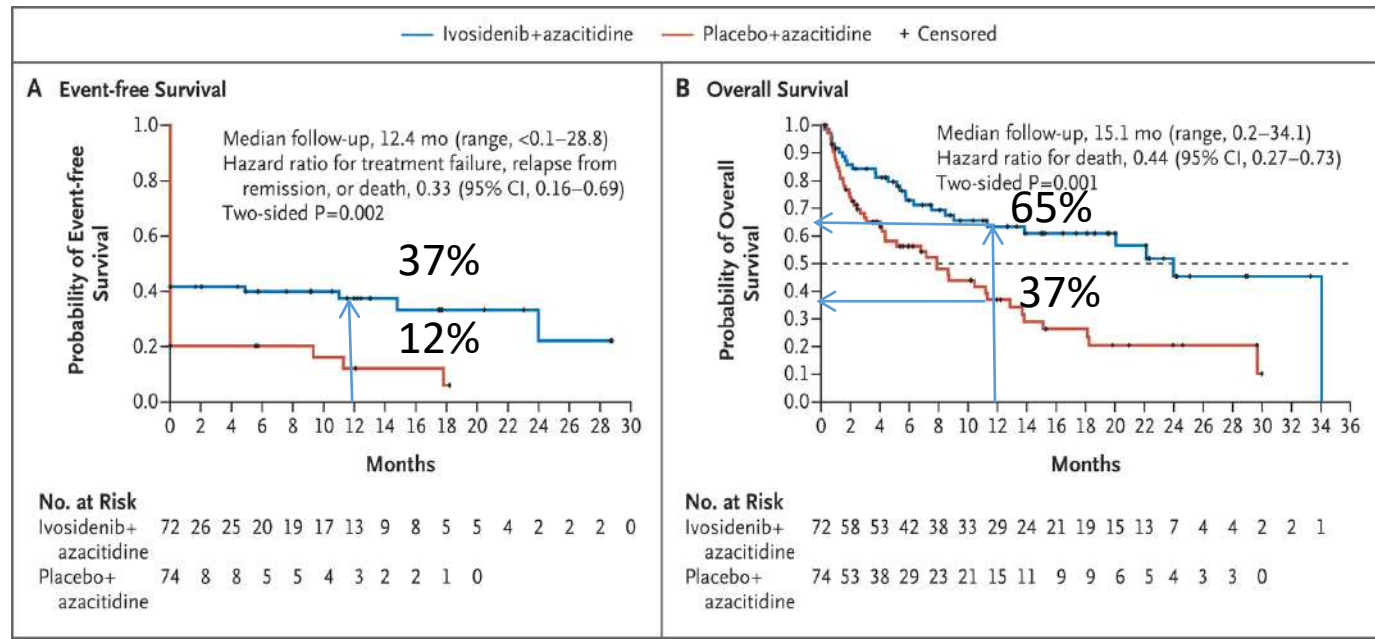
LAM IDH1+ unfit chimio int, med 76 ans

3/4 int

1/4 défavo

Follow up med 12.4 mois

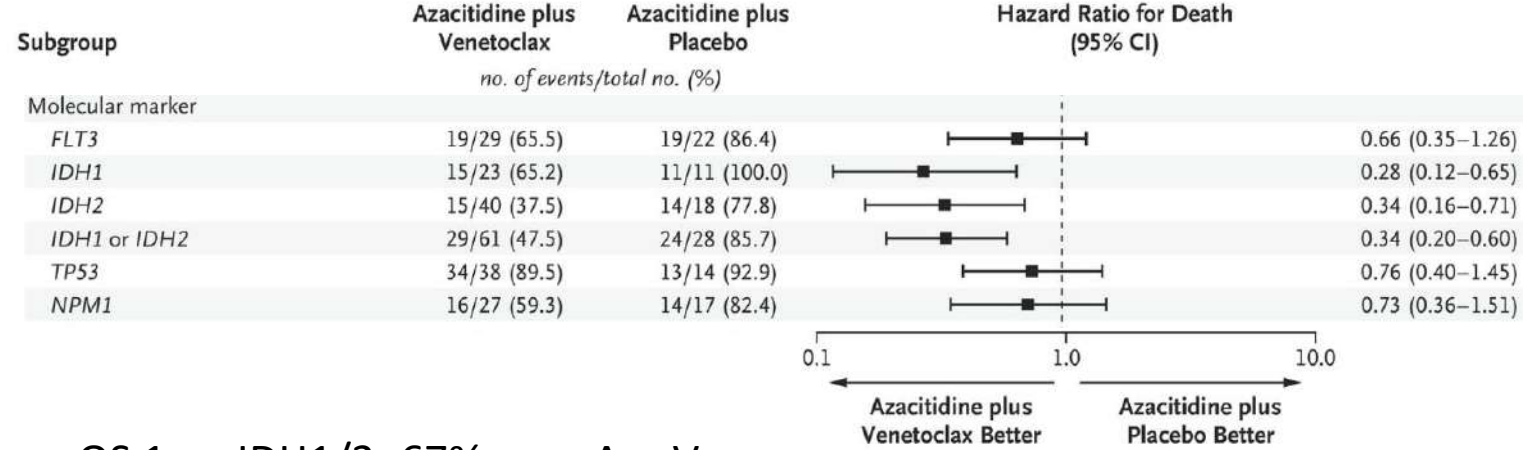
47% RC ivo vs 15% aza



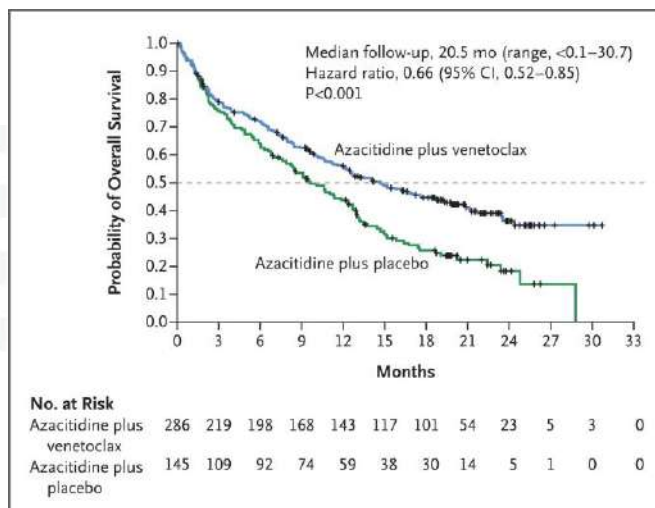
01/08/2023 Autorisations d'accès précoce (AAP)
 « Traitement en association avec l'azacitidine des patients ayant une leucémie aiguë myéloïde nouvellement diagnostiquée avec mutation IDH1 R132, non éligibles à la chimiothérapie intensive et aux alternatives disponibles »

en 1ere ligne LAM IDH1+: Ivo ou Aza ven?

Montesinos NEJM 2023



OS 1 an IDH1/2: 67% avec Aza Ven



VIALE-A

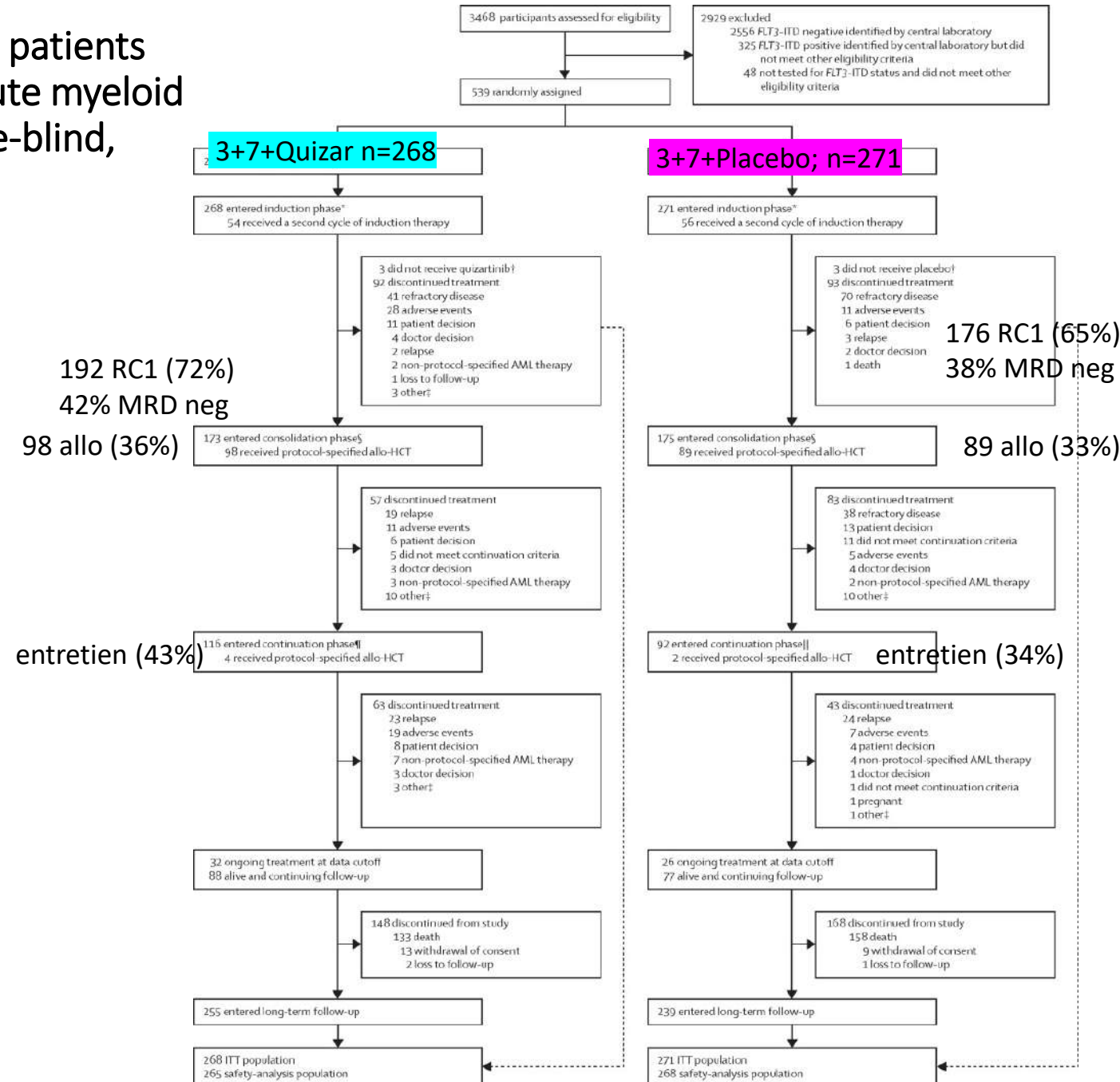
DiNardo NEJM 2020

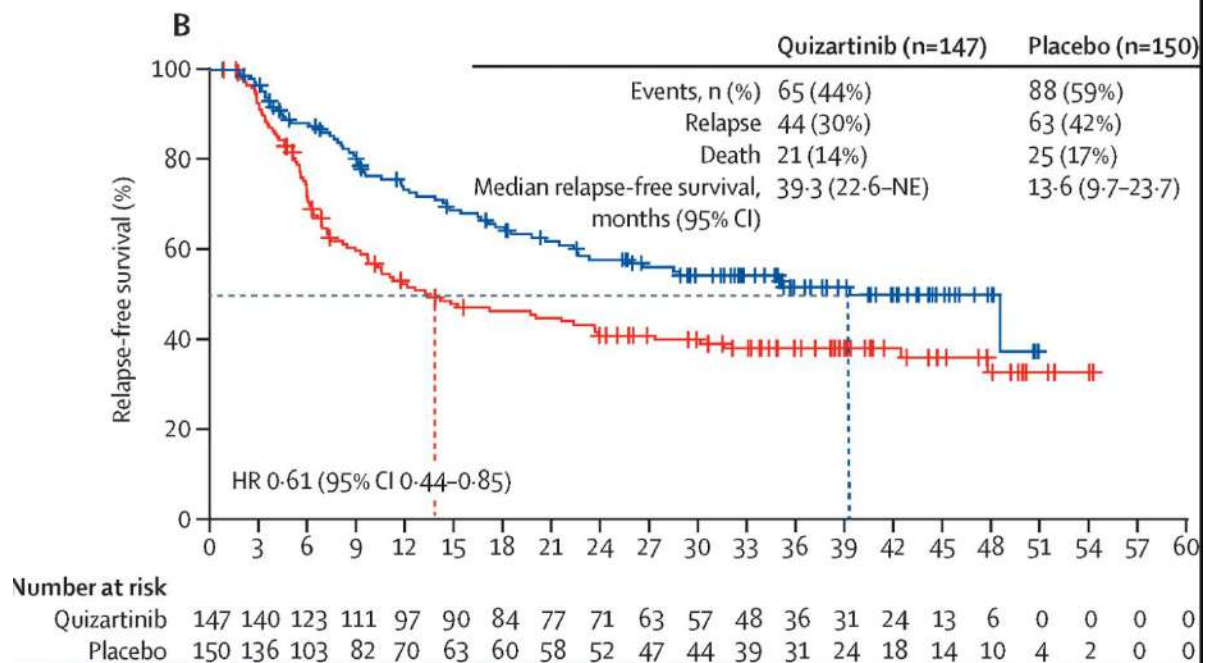
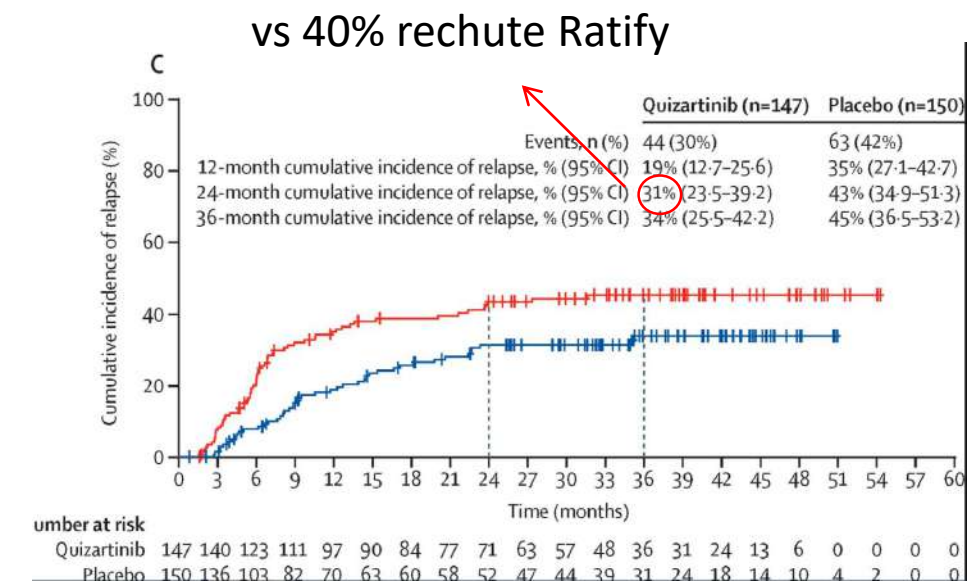
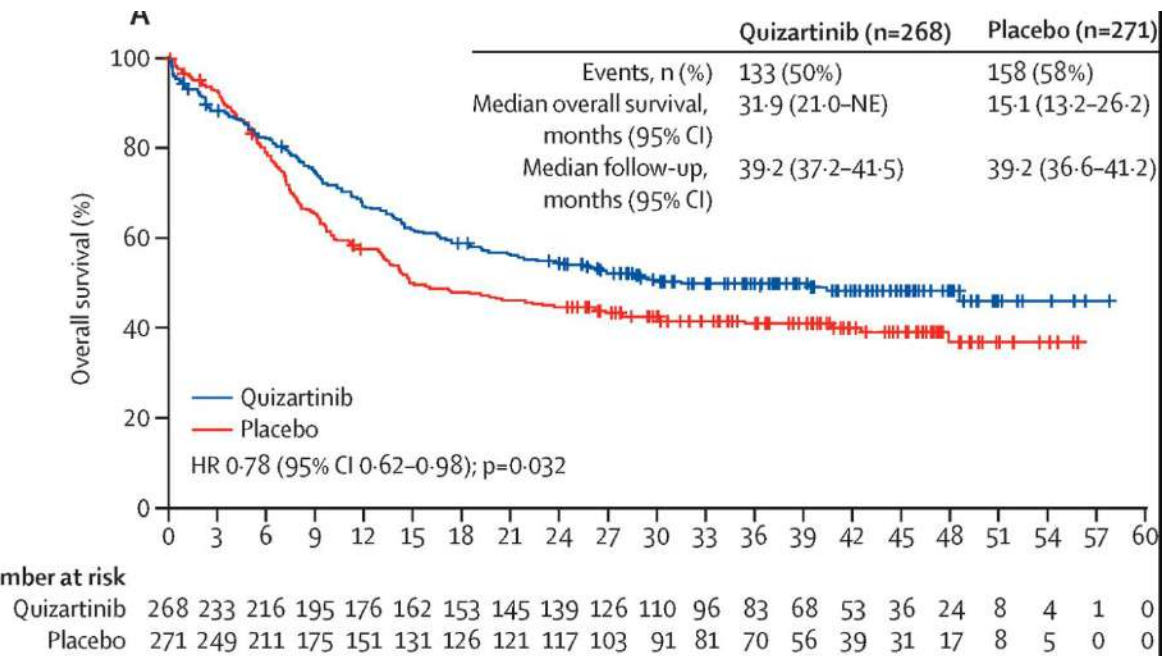
Quizartinib plus chemotherapy in newly diagnosed patients with FLT3-internal-tandem-duplication-positive acute myeloid leukaemia (QuANTUM-First): a randomised, double-blind, placebo-controlled, phase 3 trial

Rationnel

Midaustorin (Ratify) multikinase inh type 1, <60 ans
35%dim risque décès FLT3-TKD vs 20% FLT3-ITD

Quizar: inhib sélectif **FLT3ITD** type 2
18-75 ans, med 56 ans , 40% 60-75 ans
MRD évaluée sur **FLT3ITD**

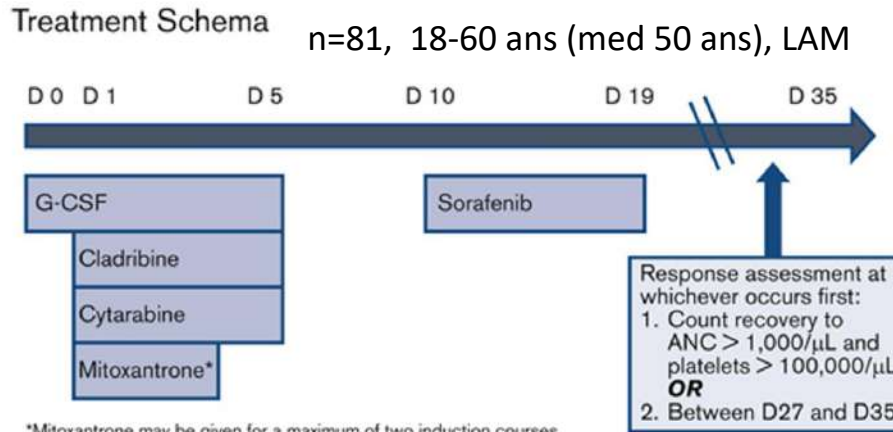




Amélioration de l'OS, EFS, rechute avec Quizar

Quizar, le nouveau standard?

Phase 1/2 study of sorafenib added to cladribine, high-dose cytarabine, G-CSF, and mitoxantrone in untreated AML



*Mitoxantrone may be given for a maximum of two induction courses.

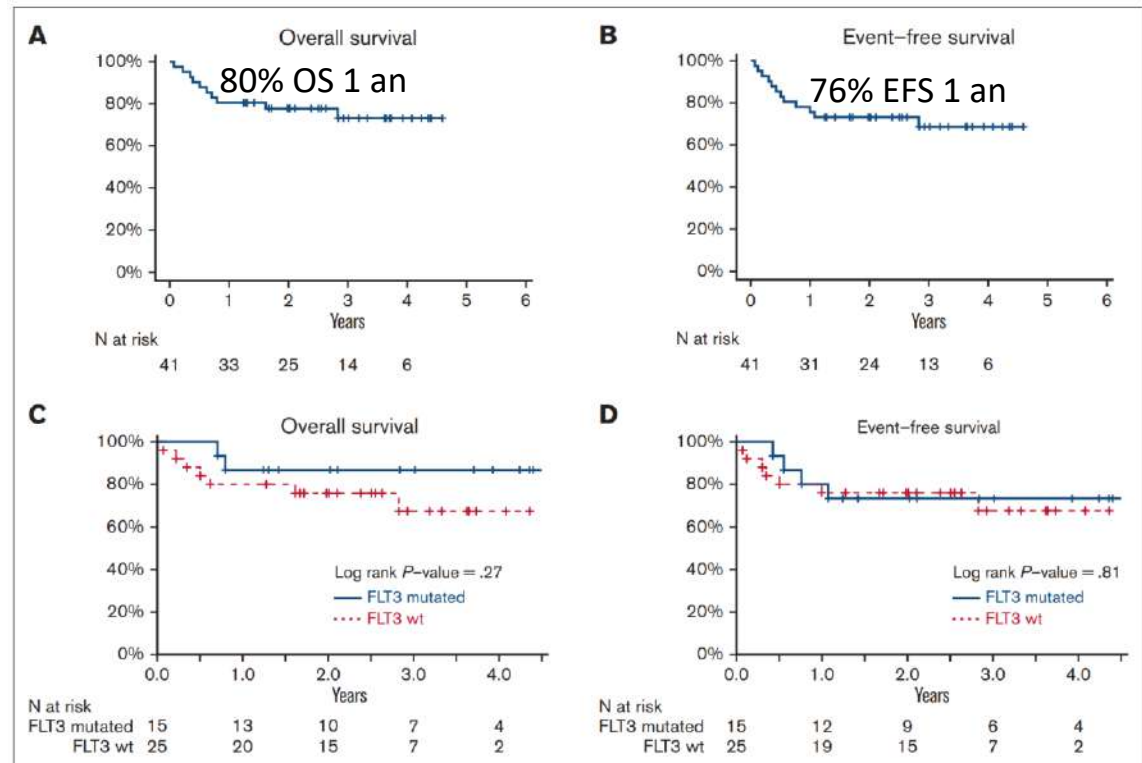
Dose Escalation Schema

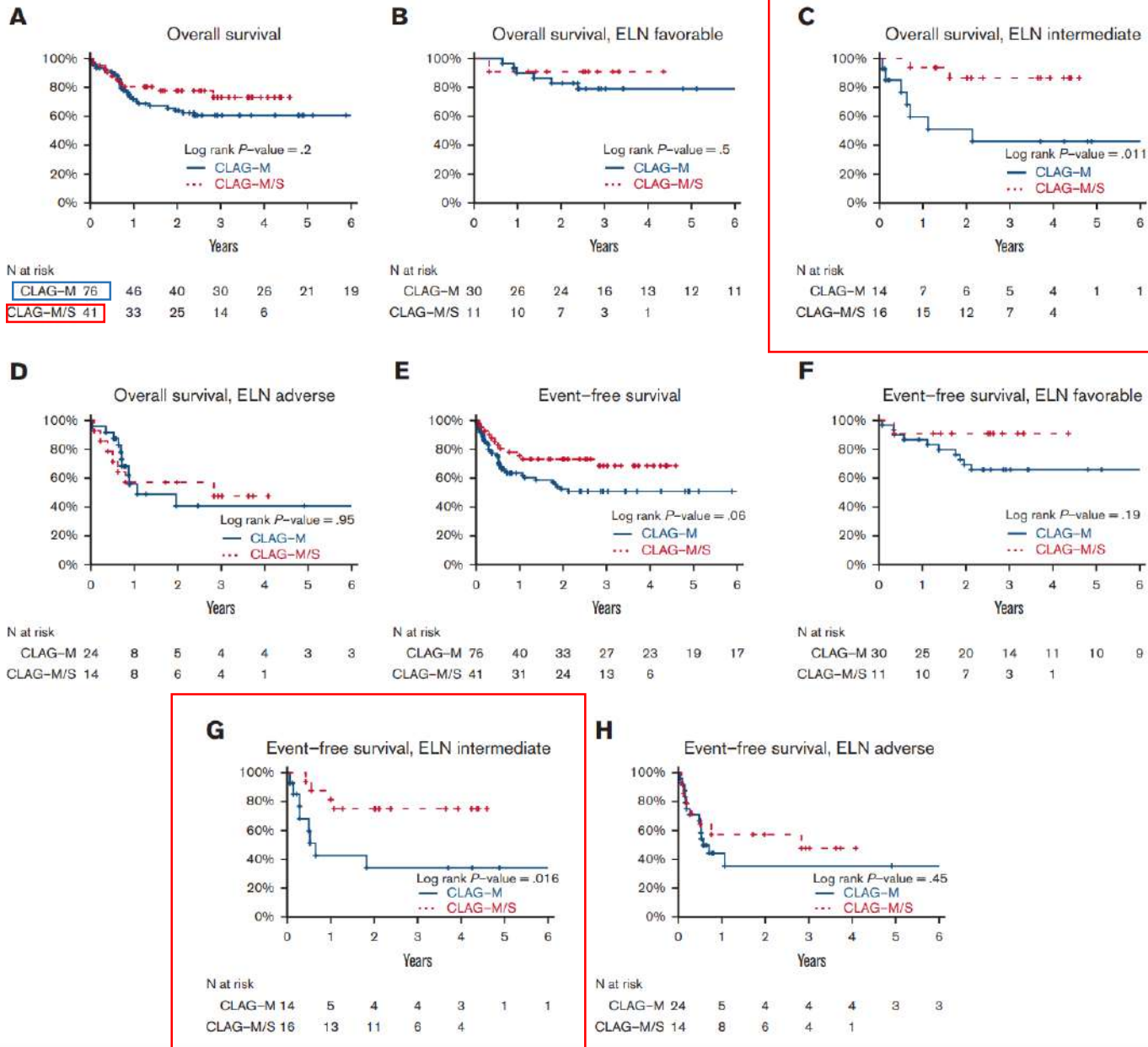
| Dose Level | G-CSF (SQ, Do-D5) ¹ | Cladribine (IV, D1-D5) ² | Cytarabine (IV, D1-D5) ^{2,3} | Mitoxantrone (IV, D1-D3) ² | Sorafenib (PO, D10-D19) |
|------------|--------------------------------|-------------------------------------|---------------------------------------|---------------------------------------|-------------------------|
| 1 | 5 μ g/kg | 5 mg/m ² | 2 g/m ² | 10 mg/m ² | 200 mg PO BID |
| 2 | 5 μ g/kg | 5 mg/m ² | 2 g/m ² | 12 mg/m ² | 200 mg PO BID |
| 3 | 5 μ g/kg | 5 mg/m ² | 2 g/m ² | 15 mg/m ² | 200 mg PO BID |
| 4 | 5 μ g/kg | 5 mg/m ² | 2 g/m ² | 18 mg/m ² | 200 mg PO BID |
| 5 | 5 μ g/kg | 5 mg/m ² | 2 g/m ² | 18 mg/m ² | 400 mg AM, 200 mg PM |
| 6 | 5 μ g/kg | 5 mg/m ² | 2 g/m ² | 18 mg/m ² | 400 mg BID |
| -1 | 5 μ g/kg | 5 mg/m ² | 2 g/m ² | 18 mg/m ² | 200 mg QD |

dernier
pallier dose
RP2D

med 48 ans
39% int; 34% adv
34 (83%) ont obtenu CR MRD–
63% allo, pas d'entretien

OS et EFS des 41 pts traités au RP2D de CLAG-M/sorafenib
Pas de différence FLT3+ ou neg





Comparaison rétrospective matchée

Arac+Cladribine+GCSF-mitox (CLAG-M) vs
CLAG-M + Sorafenib (CLAG-M/S)

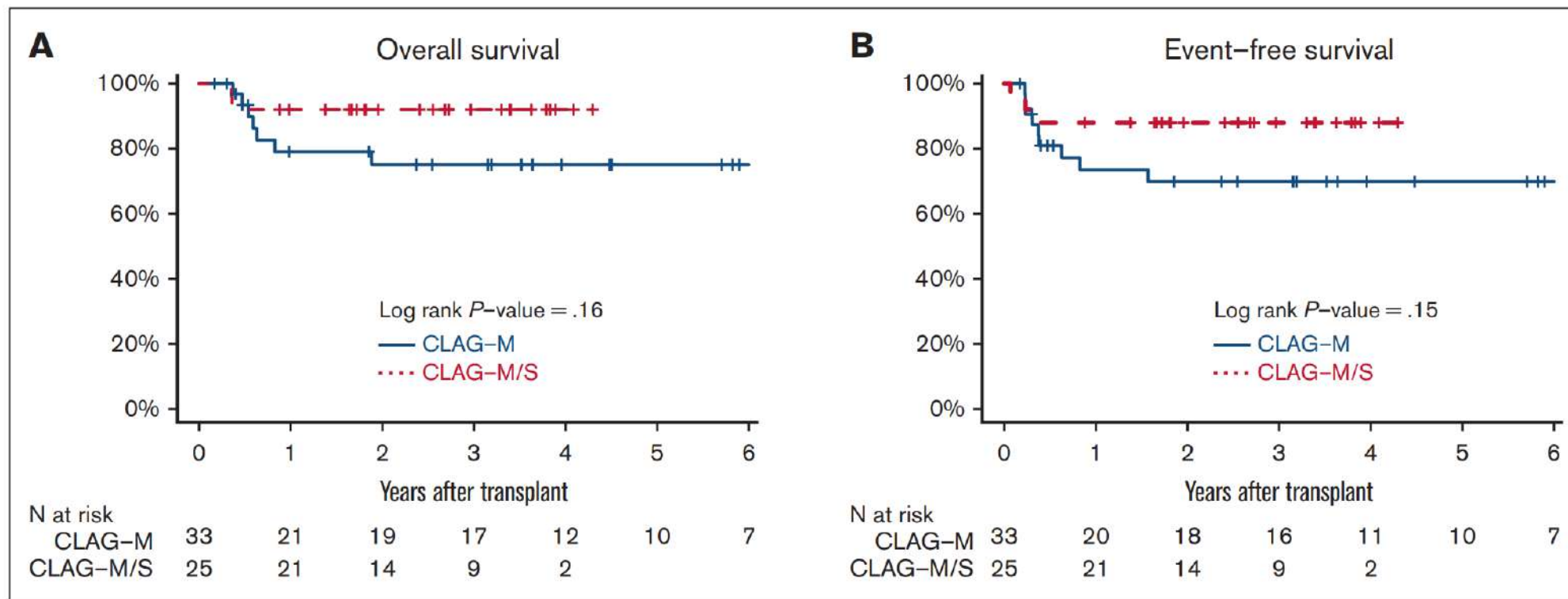


Avantage OS et EFS pour CLAG-M+Sorafenib surtout LAM int

Un peu + d'allo en RC1 dans CLAG M/S:même résultats après multivariées incluant allo comme covariable temps dépendants

Estimate of posttransplant OS and EFS for the patients who received CLAG-M/sorafenib vs CLAG-M alone

63% d'allo dans le groupe RP2D **CLAG-M/S** dont 61% en RC1
58% allo dans **CLAG-M** dont 43% en RC1
Pas de maintenance post allo



FB4 vs Bu-Cy HAPLO LAM Multicenter Randomized Phase III Trial

G-BM+CSP

Prévention GVH: ATG 7.5mg/Kg, ciclo, MTX,
MMF

MRD évaluée flow cyto

G-CSF-DLI préemptives si MRD+ (n=81/92)
ou decitabine si GVH (n=11/92)

+/-sorafenib (n=25)

Age médian 37 ans

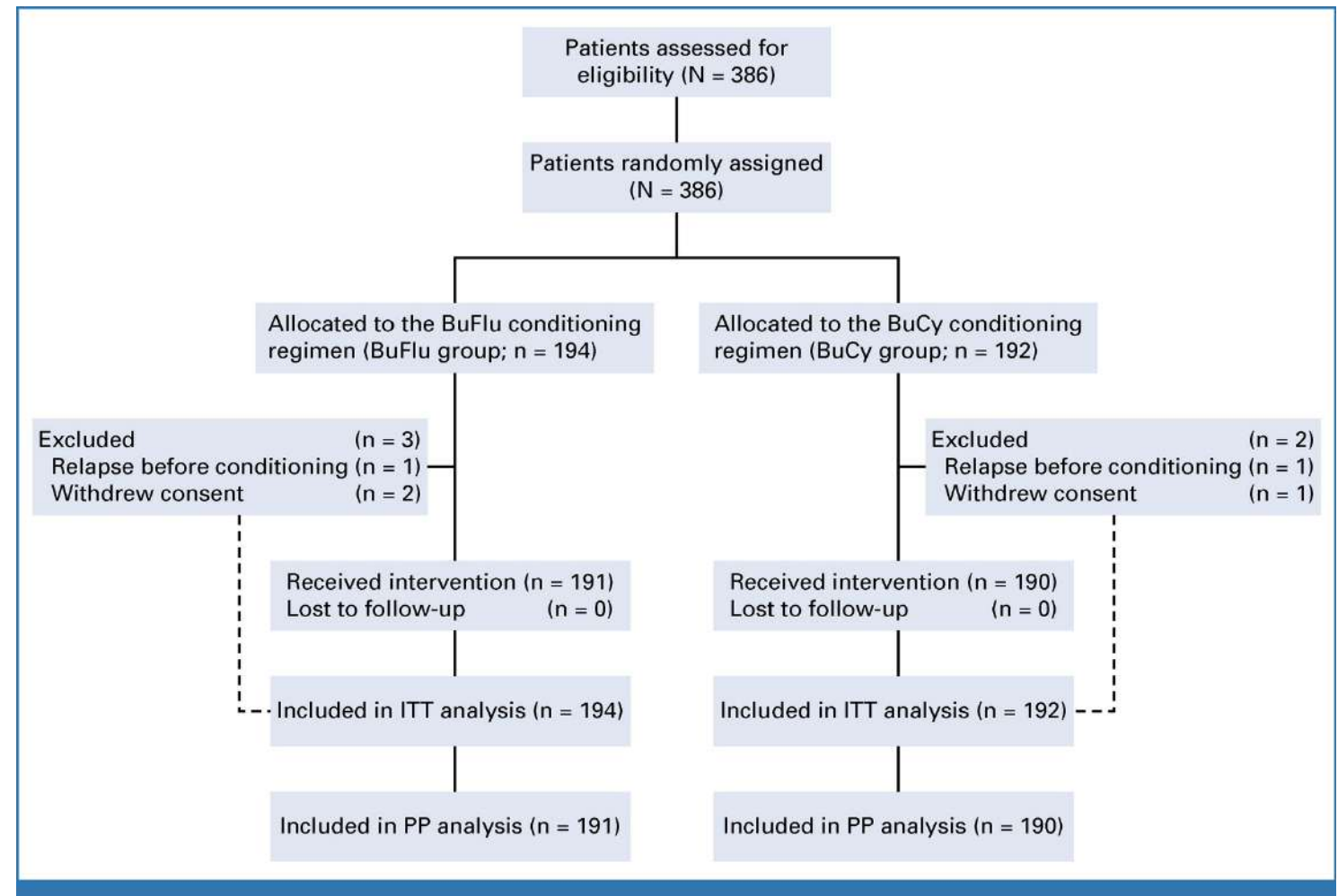
MRD neg 63% à la greffe

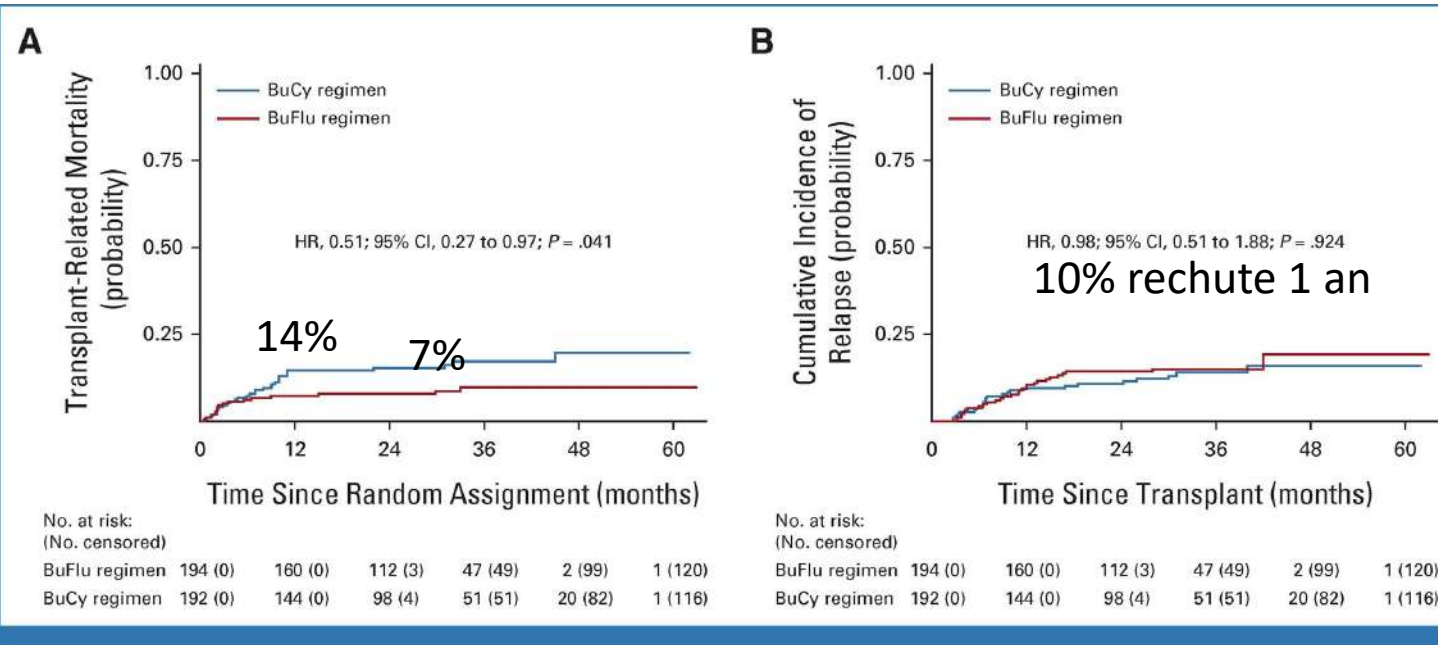
LAM RC1 85%

55% high risk

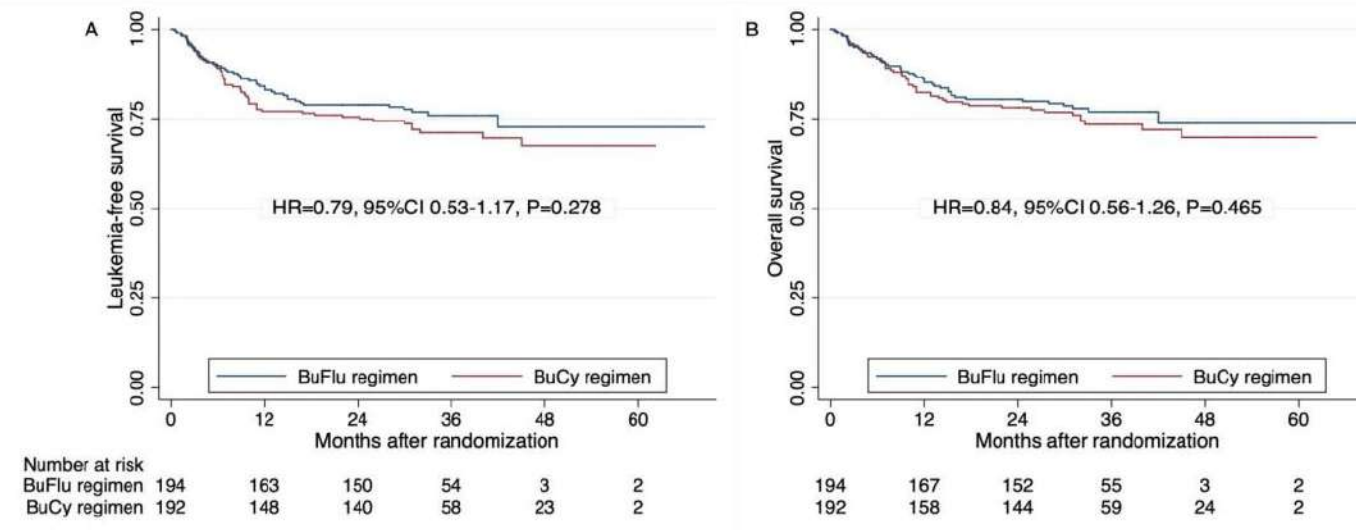
30% int

13% low risk





GVHa 2-4 40%
 GvH 3-4 10%
 GvHc 40%
 PNN: 12-13 jours
 Plaq: 13-14j
 3 rejets



Supplementary Figure 2. Kaplan-Meier curves of leukemia-free survival (A) and overall survival (B).

FB4 vs Bu-Cy

rando phase 3

Ling, JCO 2023, Haplo

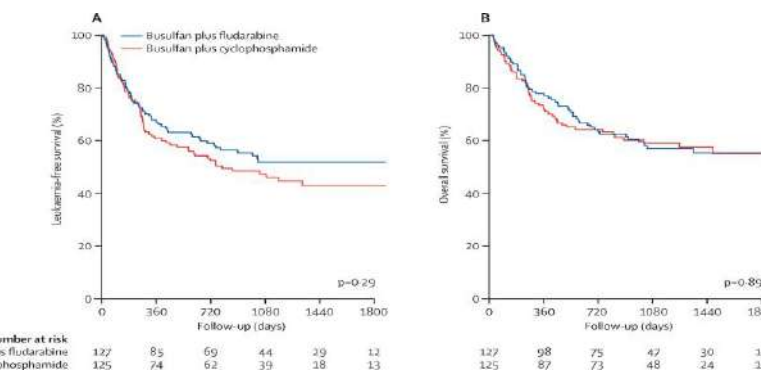
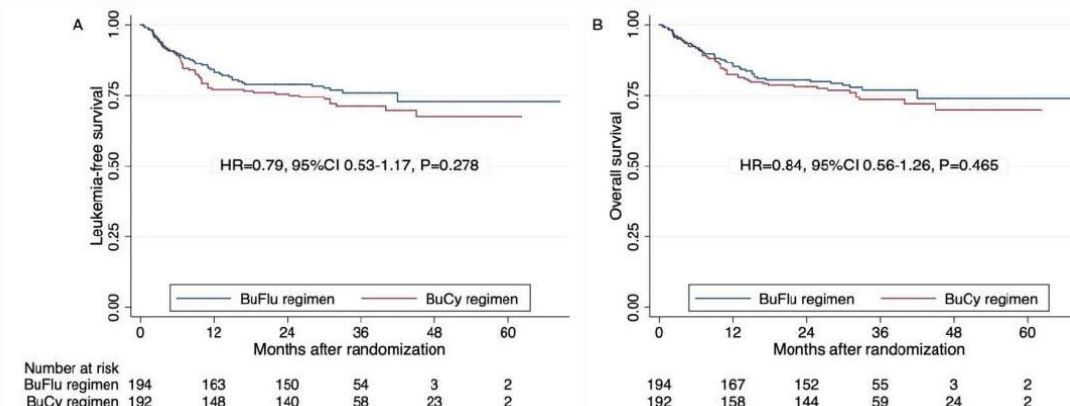
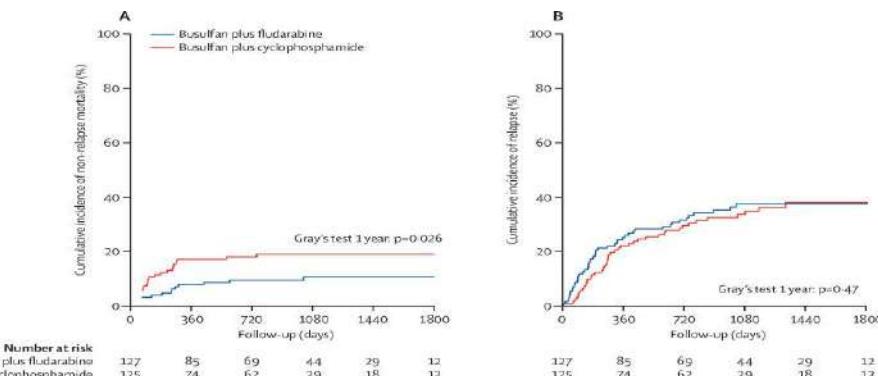
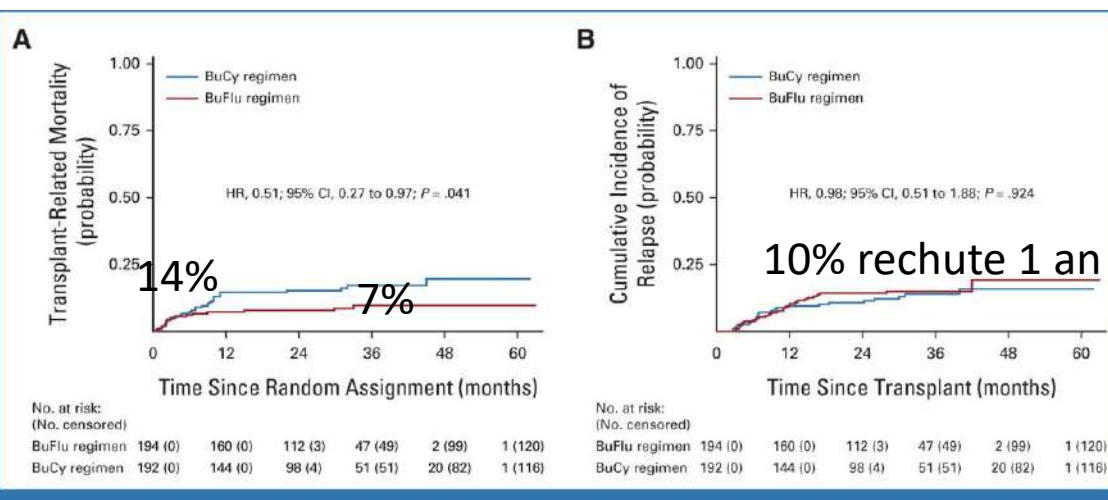
âge median **35 ans**

ciclo+MTX+ATG+MMF/ G-DLI

Rambaldi, Lancet oncol 2015 Matchées

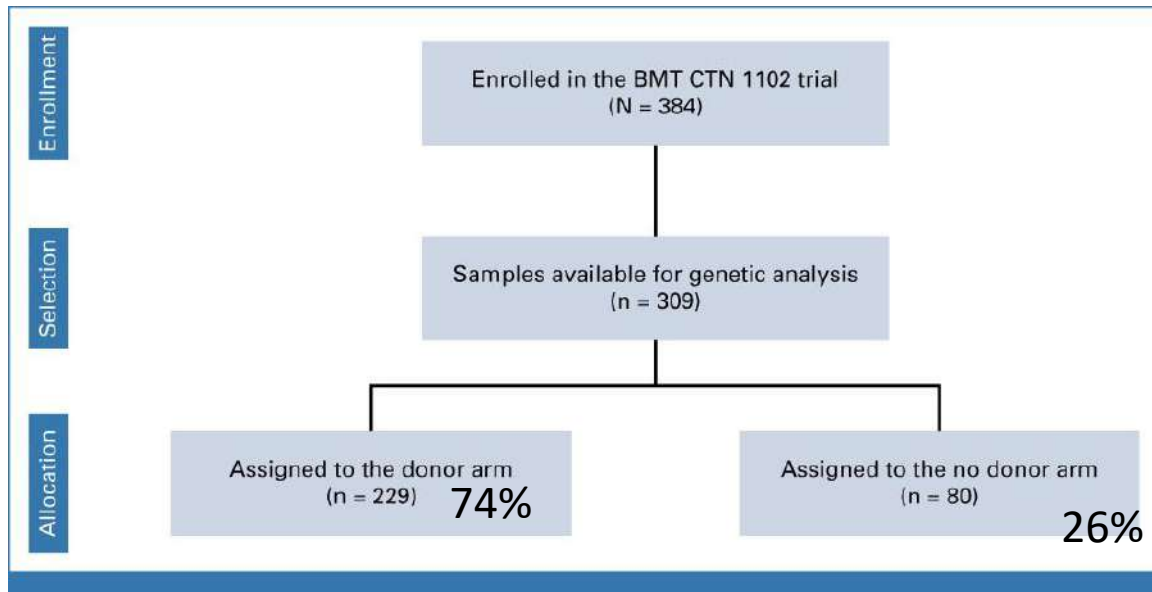
âge median **50 ans**

ciclo+ MTX +/- ATG MUD



Supplementary Figure 2. Kaplan-Meier curves of leukemia-free survival (A) and overall survival (B).

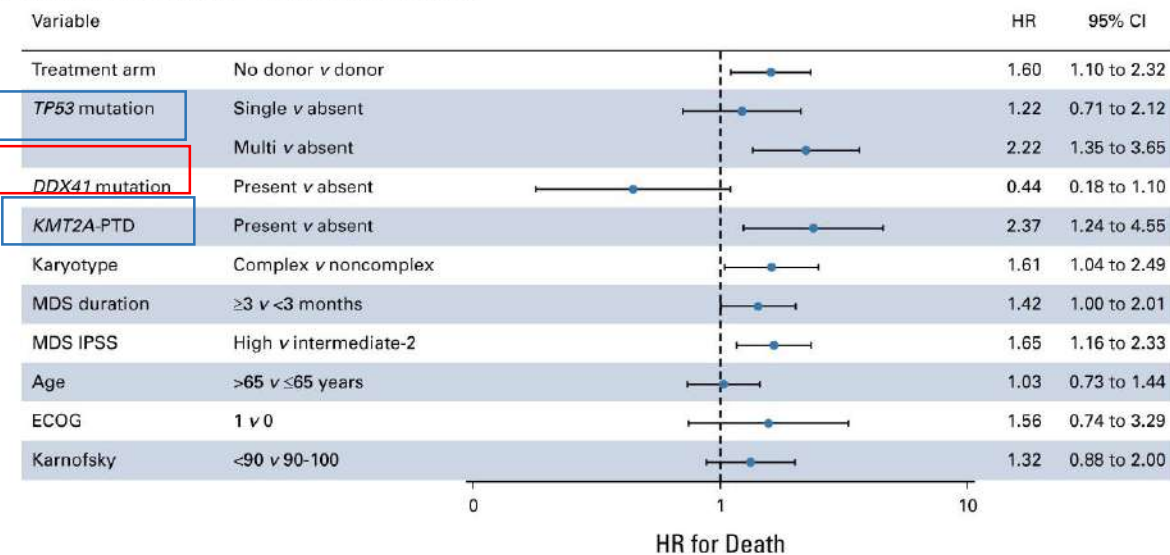
Allogeneic Hematopoietic Cell Transplantation Improves Outcome in Myelodysplastic Syndrome Across High-Risk Genetic Subgroups: Genetic Analysis of the Blood and Marrow Transplant Clinical Trials Network 1102 Study



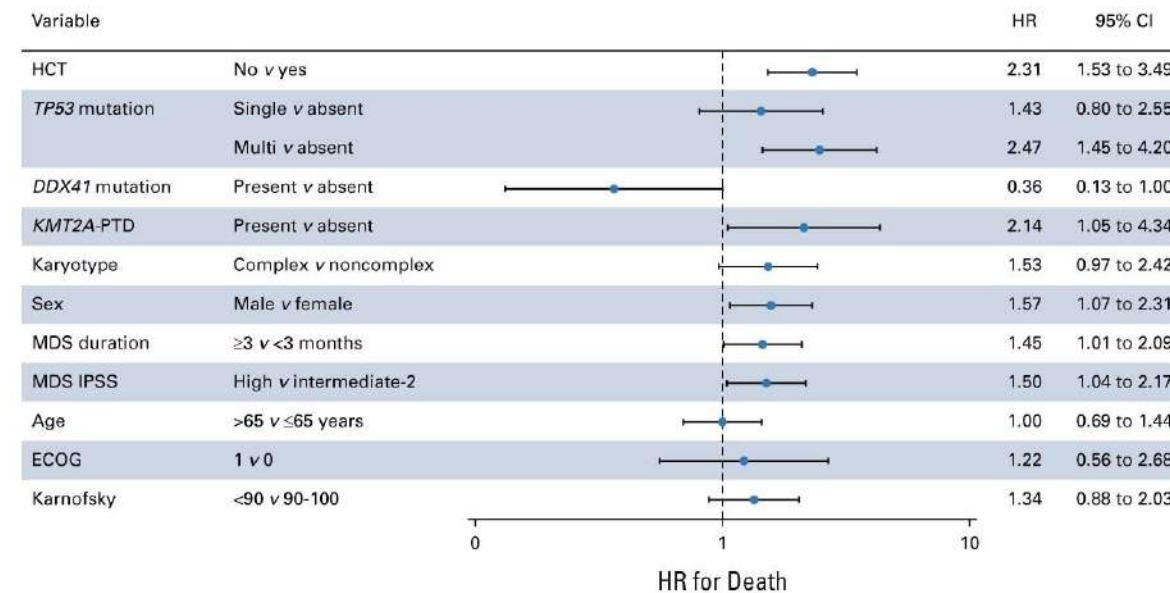
follow up med chez survivants 32 mois

| | IPSS | |
|-----------------------------|------|-------|
| Intermediate-2 | 206 | 66.7% |
| High | 103 | 33.3% |
| IPSS-R | | |
| Very low, low, intermediate | 95 | 30.7% |
| High | 109 | 35.3% |
| Very high | 105 | 34.0% |
| IPSS-M | | |
| Very low | 26 | 8.4% |
| Low | 42 | 13.6% |
| Moderate low | 42 | 13.6% |
| Moderate high | 45 | 14.6% |
| High | 85 | 27.5% |
| Very high | 69 | 22.3% |
| Karyotype | | |
| Complex | 201 | 65.0% |
| Non-complex | 78 | 25.2% |
| Missing | 30 | 9.7% |

A Multivariable Analysis—OS (donor v no donor)



B Multivariable Analysis—OS (HCT as time-dependent covariate)



TP53+ 28% allo, 29% non allo

Table S3. Univariate analysis of Overall Survival by Mutation

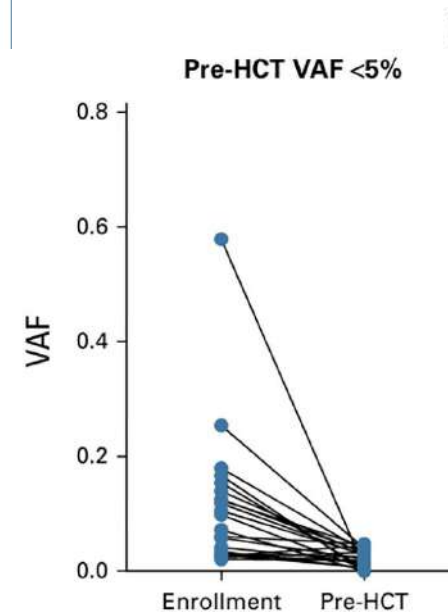
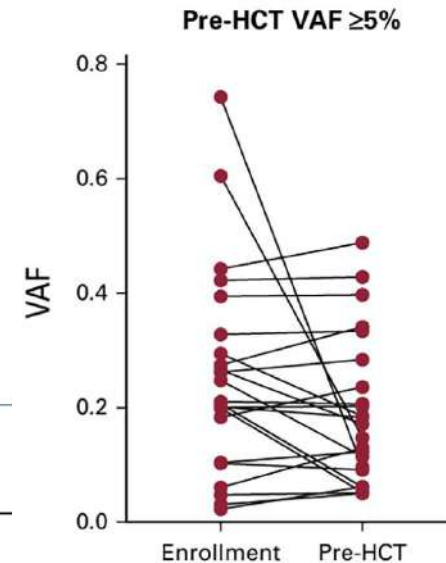
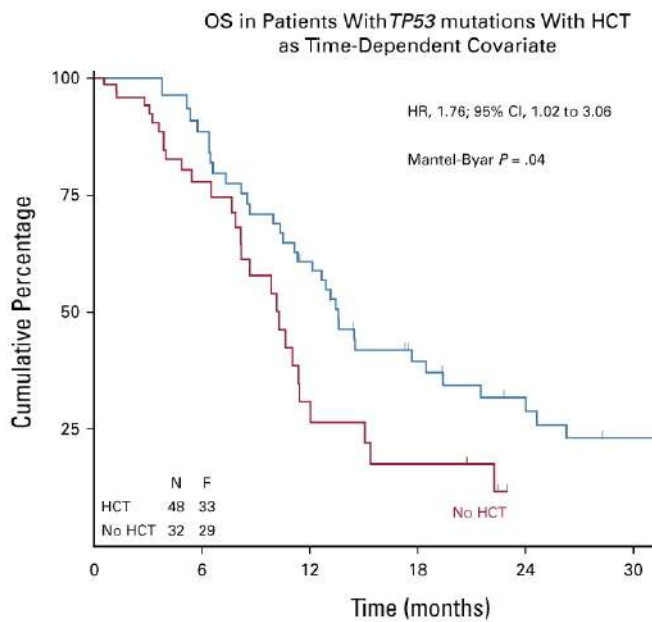
| Mutation (present vs. absent)* | HR (death) | 95% CI | P value |
|--------------------------------|------------|-----------|---------|
| <i>TP53</i> | 2.55 | 1.86–3.50 | <.001 |
| <i>KMT2A-PTD</i> | 2.21 | 1.22–3.99 | .009 |
| <i>NRAS</i> | 1.73 | 0.85–3.52 | .133 |
| <i>BCOR</i> | 1.18 | 0.60–2.32 | .623 |
| <i>ETV6</i> | 1.16 | 0.57–2.36 | .685 |
| <i>TET2</i> | 1.03 | 0.67–1.58 | .883 |
| <i>DNMT3A</i> | 0.95 | 0.61–1.48 | .819 |
| <i>SETBP1</i> | 0.94 | 0.42–2.13 | .886 |
| <i>EZH2</i> | 0.92 | 0.38–2.23 | .847 |
| <i>U2AF1</i> | 0.79 | 0.48–1.29 | .349 |
| <i>SRSF2</i> | 0.74 | 0.47–1.17 | .202 |
| <i>ASXL1</i> | 0.72 | 0.50–1.06 | .096 |
| <i>RUNX1</i> | 0.67 | 0.42–1.09 | .105 |
| <i>SF3B1</i> | 0.67 | 0.30–1.51 | .336 |
| <i>STAG2</i> | 0.57 | 0.34–0.96 | .034 |
| <i>IDH2</i> | 0.54 | 0.22–1.31 | .172 |
| <i>DDX41</i> | 0.39 | 0.17–0.87 | .022 |

* Listed mutations are present in ≥10 patients

DDX41 7% (n=23 dont 20 allo)
1 rechute (TP53+)= 4%
5 TRM=25% (0 FB2)
DFS: 70%

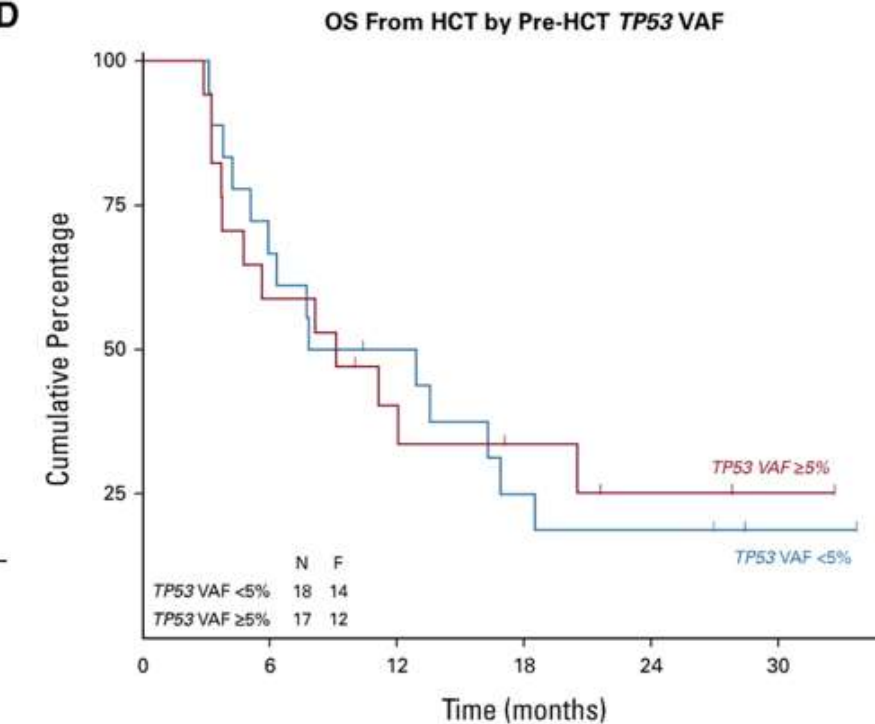
n= 87 TP53 (55% multihit),
55 allo, 32 non allo

B

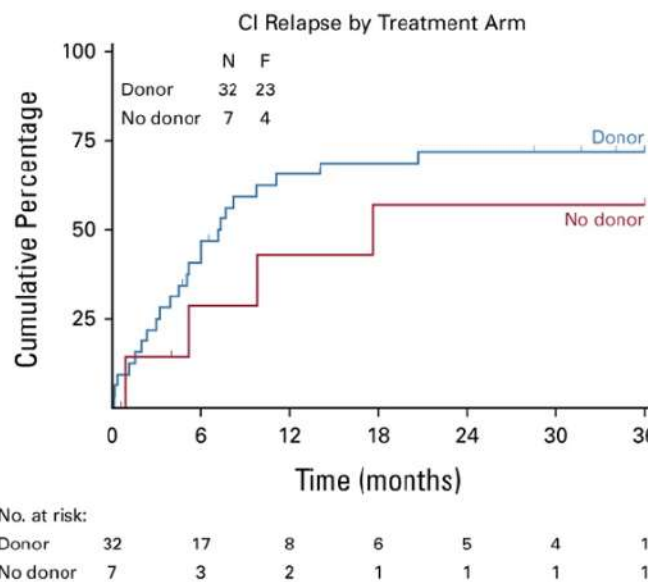
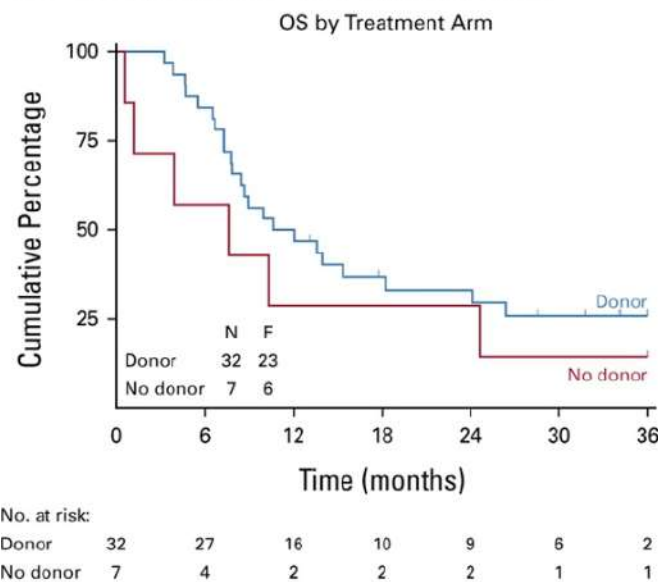


pas d'impact de la clearance pré SCT de TP53

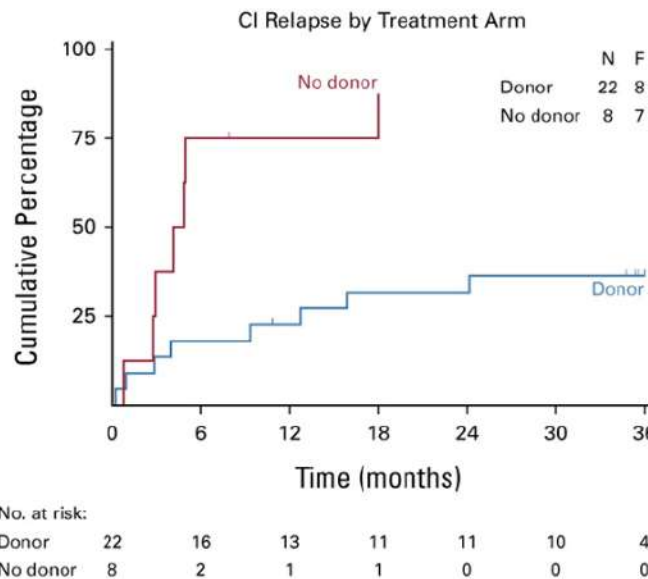
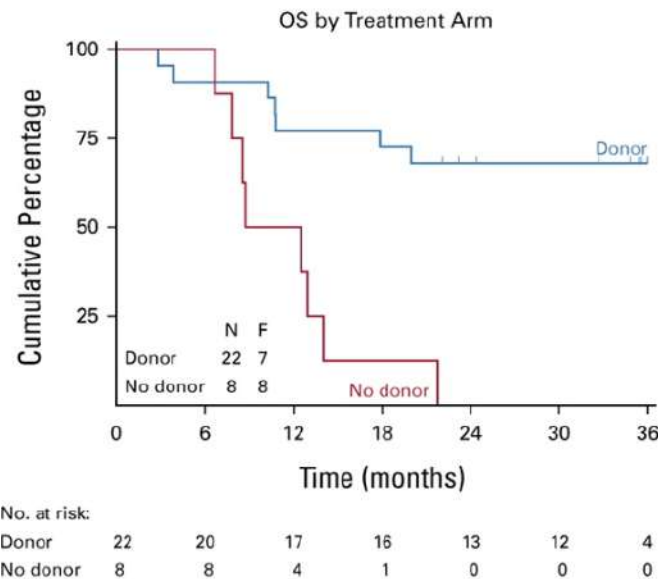
D



IPSS-M Very High Risk—TP53 Mutation Present

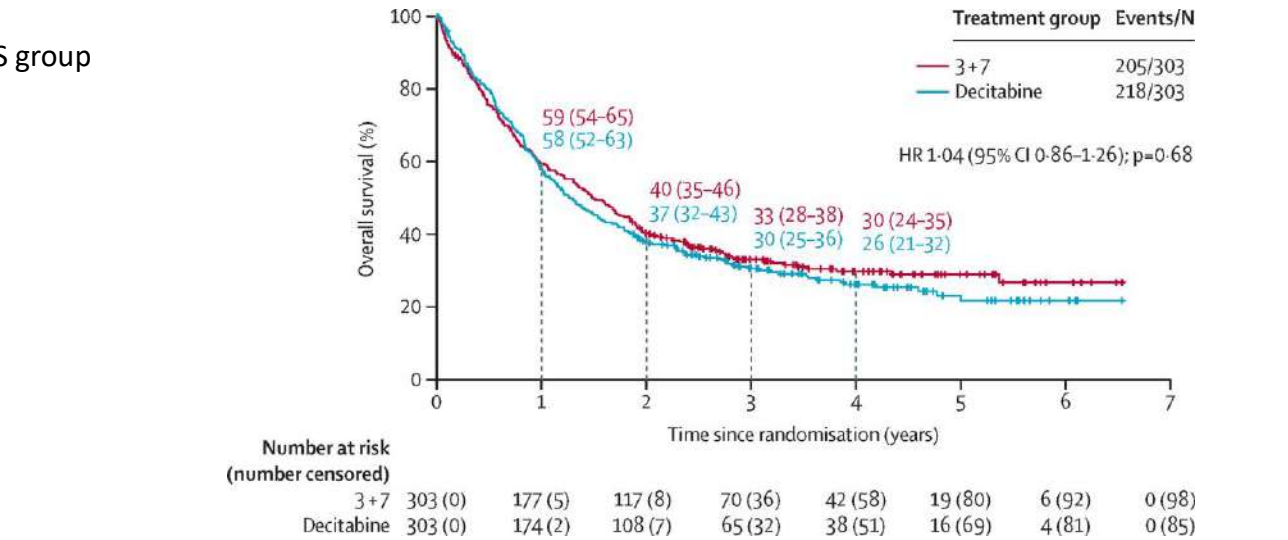
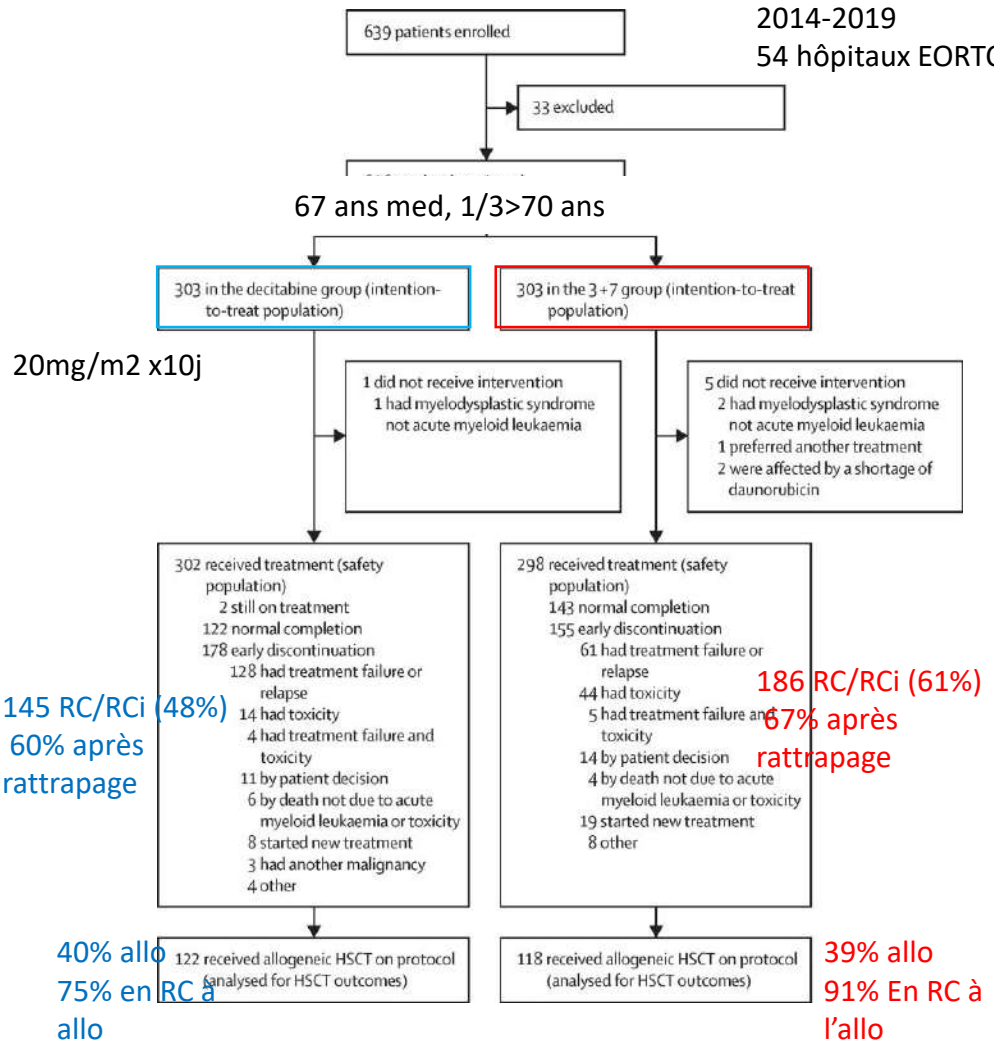


IPSS-M Very High Risk—TP53 Mutation Absent



10-day decitabine versus 3 + 7 chemotherapy followed by allografting in older patients with acute myeloid leukaemia: an open-label, randomised, controlled, phase 3 trial

med follow up 4 ans



LAM bon prc (NPM1) ou int >30G/L GB

→ chimio
→ chimio

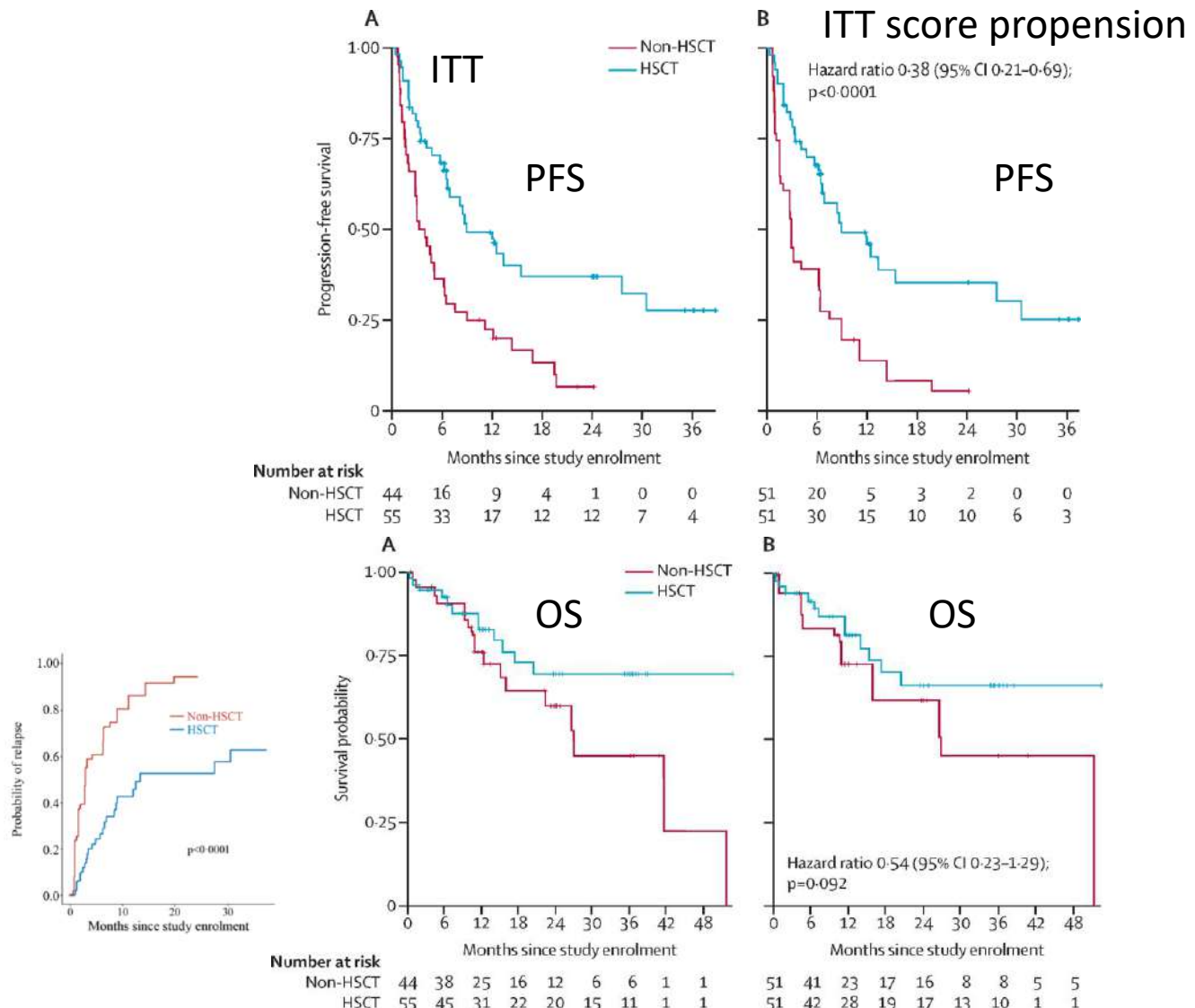
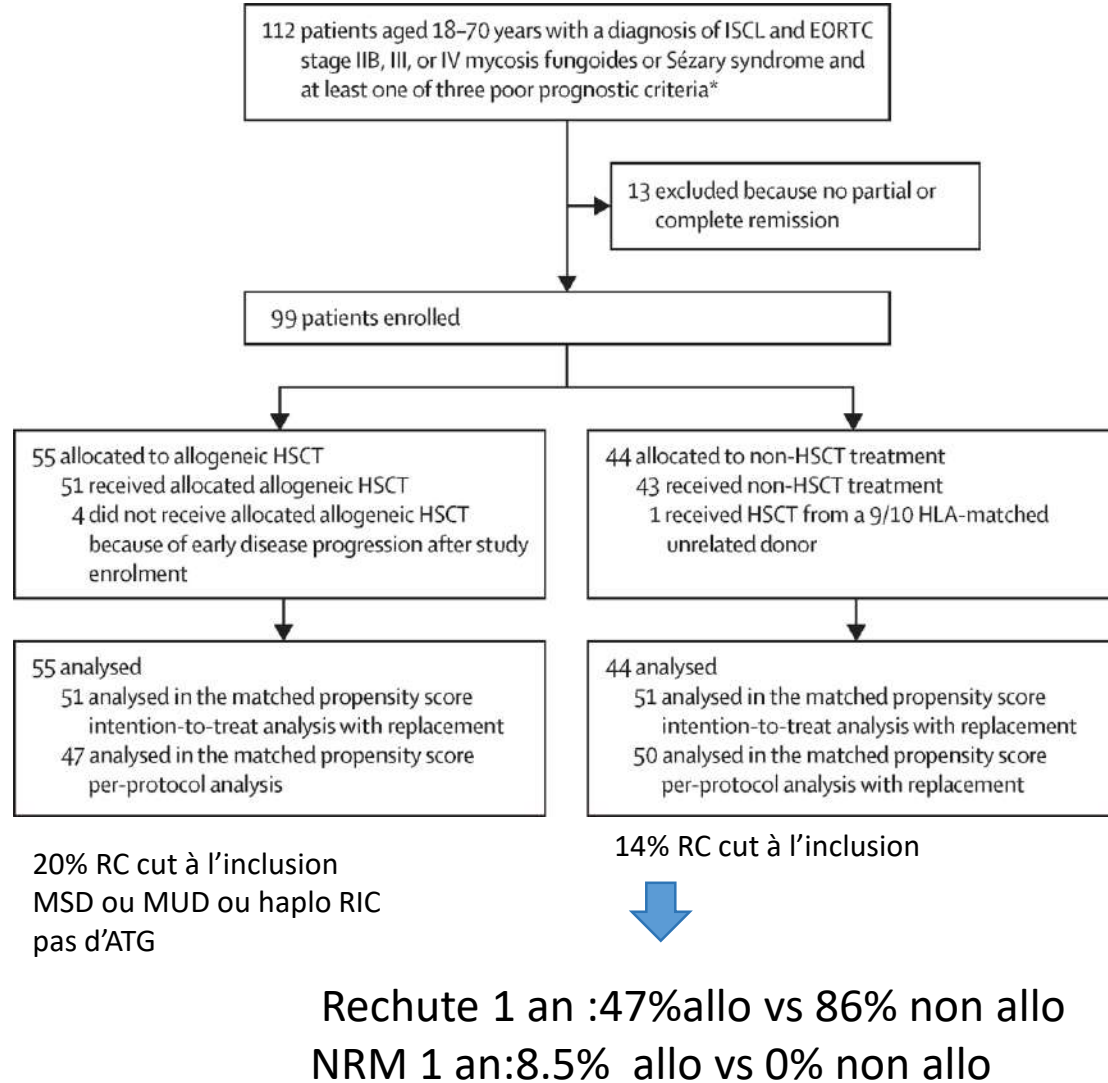
LAM défavo monosomale >70 ans

→ decitabine (RC id)
→ decitabine (TRM dim)

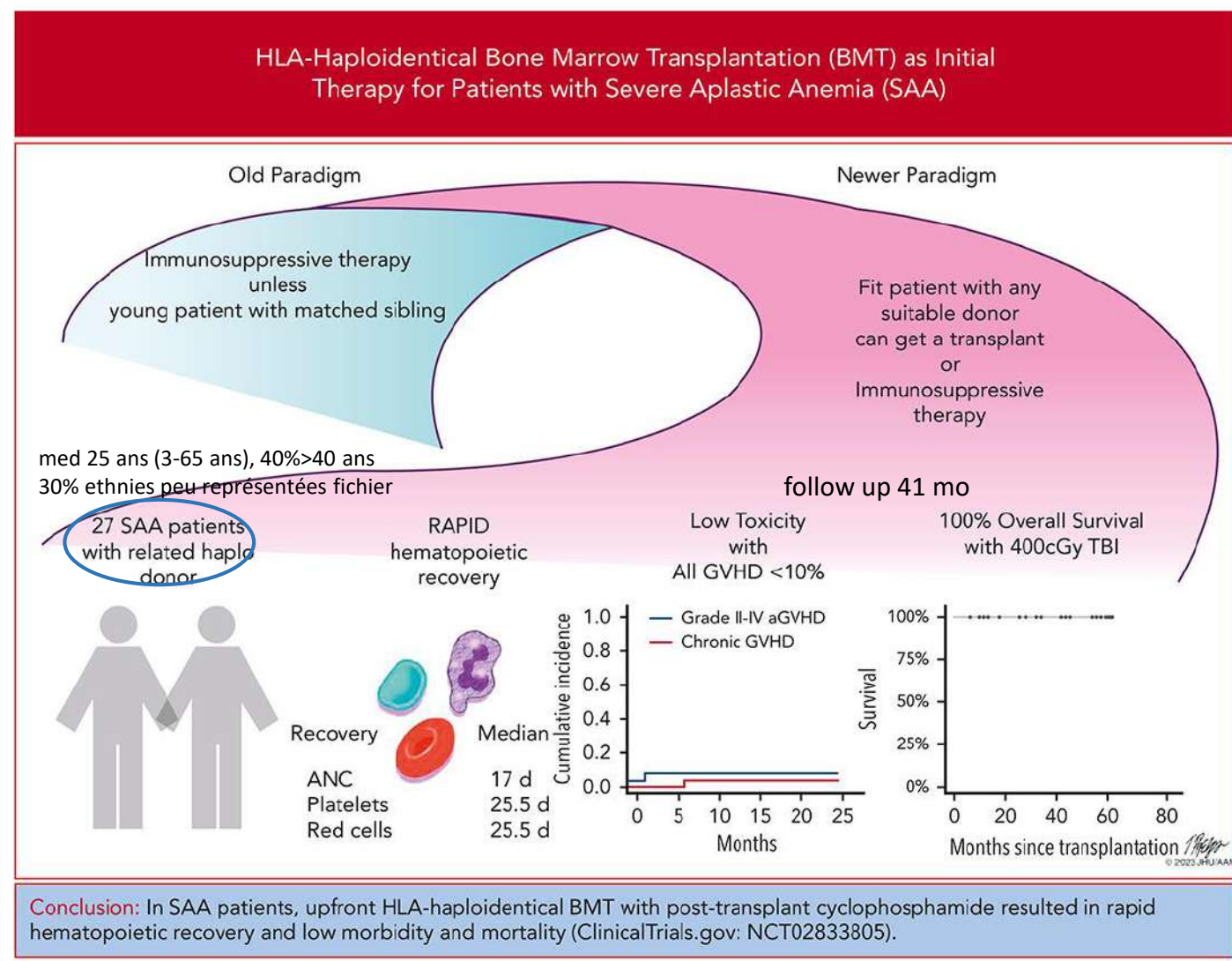
vénéto? inh FLT3?

Allogeneic transplantation in advanced cutaneous T-cell lymphomas (CUTALLO): a propensity score matched controlled prospective study

A de Masson, Lancet 2023



Greffe haplo 1ere ligne pour les aplasies médullaires sévères



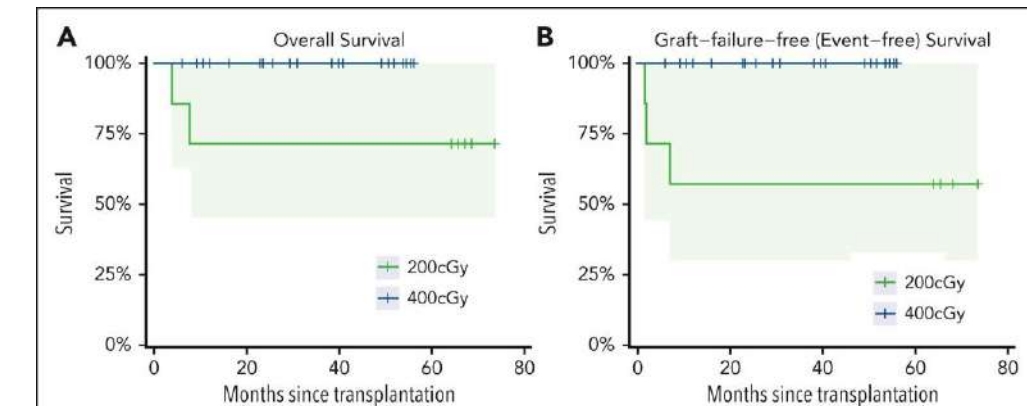
Inclusion:
AA sévère: 2 critères/3 (PNN <0.5 × 10⁹/L, plaq <20 × 10⁹/L ou reticulocyte <60 × 10⁹/L)

Exclusion:
Donneur géno si R<25 ans
DSA>1000 MFI
Fanconi, telomères courts, -7 Atcd de traitement IMS

Rabbit ATG (rATG; Thymoglobulin) 0.5 mg/kg J -9, 2 mg/kg J-8 and -7
Fludarabine 30 mg/m² IV daily J -6 à J-2 (dt 150 mg/m²)
Cyclophosphamide 14.5 mg/kg IV J -6 à J -5
TBI 200 cGy on day -1 puis aug 400cGy après 7 premiers patients (3 rejets dont 2 DC)

Prévention GVH: HD-Cy PT 50mg/Kg J3, J4 + Tacrolimus (1 an puis réduit 6 mois) et MMF (J5-J35)

Moelle:
4x108 CNT/Kg



Infectieux

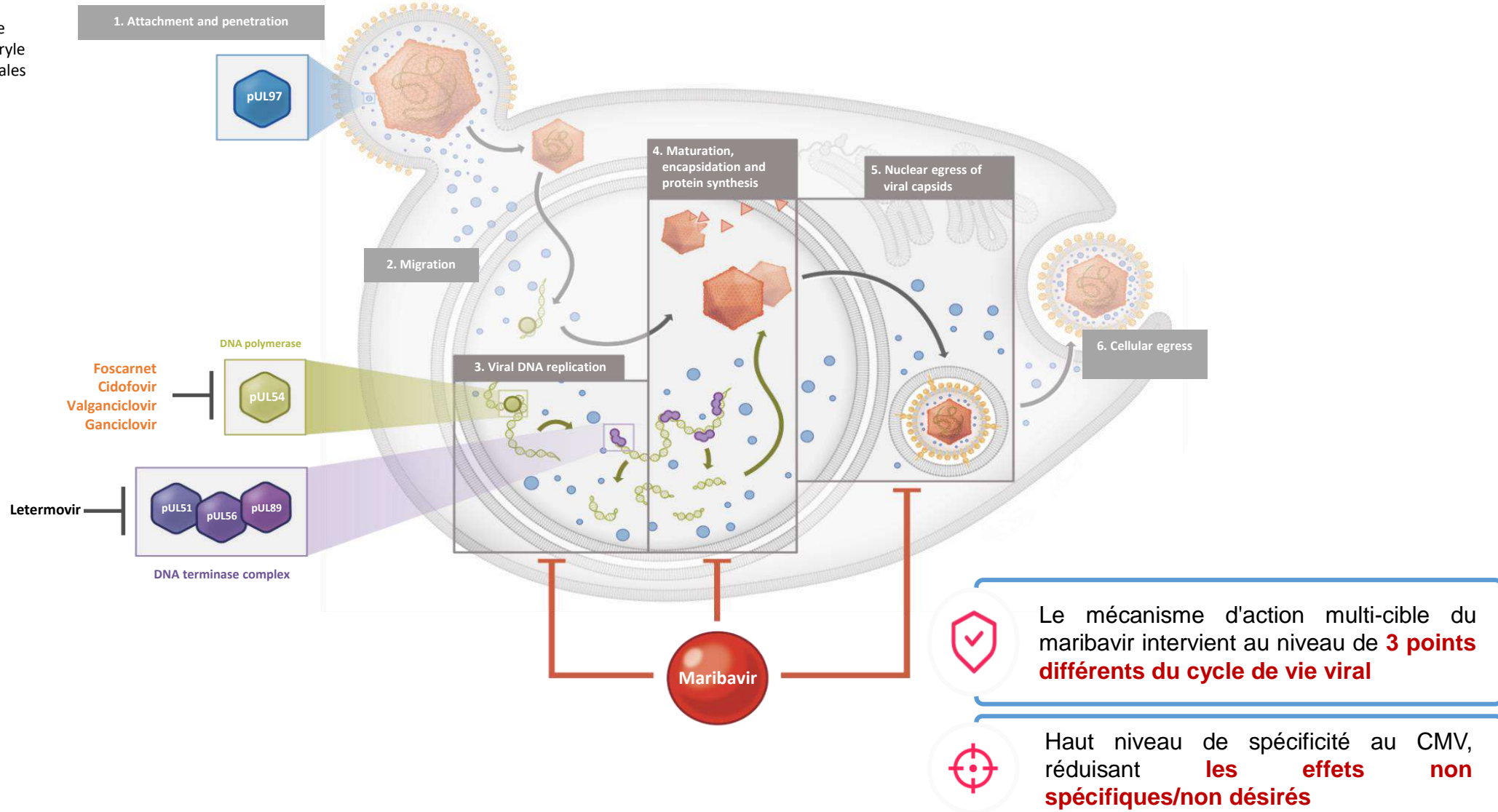
Le processus de réPLICATION CMV

La protéine kinase CMV UL97 est une séro-thréonine kinase qui phosphoryle certains nombres de protéines virales et cellulaires, y compris pUL44^{1,2}

La protéine kinase UL54 (ADN polymérase) est ciblée par les médicaments antiviraux GCV, VGCV, FOS³ et CDV⁴

Complex de terminaison d'ADN CMV - l'holocomplexe d'encapsulation fonctionnel est un hétéro-oligomère composé des protéines pUL56, pUL89 et pUL51³, protéines contribuant au processus de clivage et d'emballage de l'ADN

- LET cible un mécanisme dépendant de l'interaction de pUL56, pUL89 et pUL51³



1. Prichard MN. Rev Med Virol. 2009;19:215–29; 2. Wolf DG, et al. Proc Natl Acad Sci USA. 2001;98:1895–900; 3. Ligat G, et al. FEMS Microbiol Rev. 2018;42:137–45; 4. El Chaer F, et al. Blood. 2016;128:2624–36; 5. Crough T, Khanna R. Clin Microbiol Rev. 2009;22:76–98; 6. van Damme E, et al. Front Microbiol. 2014;5:218; 7. Mettenleiter TC, et al. Virus Res. 2009;143:222–34; 8. Fishman JA. Am J Transplant. 2013;13(suppl 3):1–8.

Maribavir for Refractory Cytomegalovirus Infections With or Without Resistance Post-Transplant: Results from a Phase 3 Randomized Clinical Trial

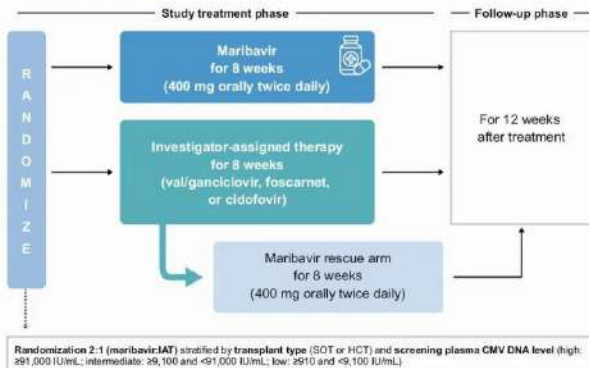
Robin K. Avery, Sophie Alain, Barbara D. Alexander, Emily A. Blumberg, Roy F. Chemaly, Catherine Cordonnier, Rafael F. Duarte, Diana F. Florescu, Nassim Kamar, Deepali Kumar, Johan Maertens, Francisco M. Marty, Genovefa A. Papanicolaou, Fernanda P. Silveira, Oliver Witzke, Jingyang Wu, Aimee K. Sundberg, and Martha Fournier, for the SOLSTICE Trial Investigators

INTRODUCTION

This was a phase 3, multicenter, randomized, open-label, active-controlled study to assess the efficacy and safety of maribavir compared with IAT in HCT and SOT recipients with CMV infections refractory to most recent treatment, with or without resistance to ganciclovir/valganciclovir, foscarnet, and/or cidofovir.



STUDY DESIGN



STUDY ENDPOINTS



The primary endpoint was confirmed CMV viremia clearance at the end of Week 8 (regardless of premature treatment discontinuation).



The key secondary endpoint was a composite of confirmed CMV viremia clearance and symptom control at the end of Week 8, maintained through Week 16 after receiving exclusively study-assigned treatment.

CMV, cytomegalovirus; HCT, hematopoietic-cell transplant; IAT, investigator-assigned therapy; SOT, solid-organ transplant; TEAE, treatment-emergent adverse event.

ClinicalTrials.gov: NCT02931539

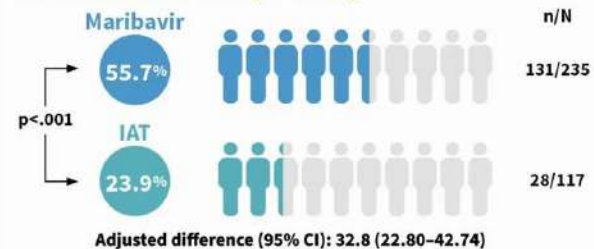
This study was funded by Takeda Development Center Americas, Inc., Lexington, MA

RESULTS

352 patients were randomized (maribavir, n=235; IAT, n=117)

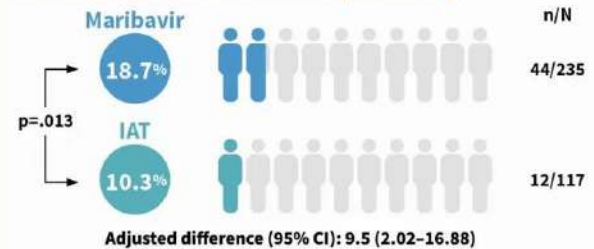


PRIMARY ENDPOINT (WEEK 8)



A significantly higher proportion of patients treated with maribavir achieved the primary endpoint of confirmed CMV viremia clearance at Week 8 compared with IAT.

KEY SECONDARY ENDPOINT (WEEK 16)



A greater proportion of patients treated with maribavir achieved the composite key secondary endpoint of CMV viremia clearance and symptom control at Week 8, with maintenance through Week 16 compared with IAT.

SAFETY

Median (range) duration of exposure was 57 (2-64) days with maribavir and 34 (4-64) days with IAT.

Fewer patients discontinued maribavir than IAT due to TEAEs (13.2% vs 31.9%).

Dysgeusia was the most frequently reported TEAE in the maribavir group (maribavir: 37.2%; IAT: 3.4%).

Maribavir was associated with less acute kidney injury versus foscarnet (8.5% vs 21.3%) and neutropenia versus valganciclovir/ganciclovir (9.4% vs 33.9%).

One patient per treatment group had fatal treatment-related TEAEs.

CONCLUSIONS

Maribavir was superior to IAT for cytomegalovirus viremia clearance, and viremia clearance plus symptom control, with maintenance of these effects post-therapy in transplant recipients with refractory cytomegalovirus infections with or without resistance.

Maribavir demonstrated an improved safety profile versus valganciclovir/ganciclovir for myelotoxicity and versus foscarnet for nephrotoxicity, with fewer patients discontinuing maribavir than IAT.

The availability of an orally bioavailable therapy without the tolerability issues associated with current therapies may confer patient management benefits.

Mars 2023
Avis favorable au remboursement dans « le traitement de l'infection et/ou de la maladie à cytomégalovirus (CMV) réfractaire (avec ou sans résistance) à un ou plusieurs traitements antérieurs, y compris le ganciclovir, le valganciclovir, le cidofovir ou le foscarnet chez les patients adultes ayant reçu une greffe de cellules souches hématopoïétiques (GCSH) ou une greffe d'organe solide (GOS). »
Realiser genotypage de résistance



ACCES PRECOCE

Avery, Clin Inf Dis 2022

Expérience SFGM-TC du tixagevimab/cilgavimab (AZD7442) en prophylaxie primaire , vague omicron

n=161 adultes allogreffés

med 58 ans

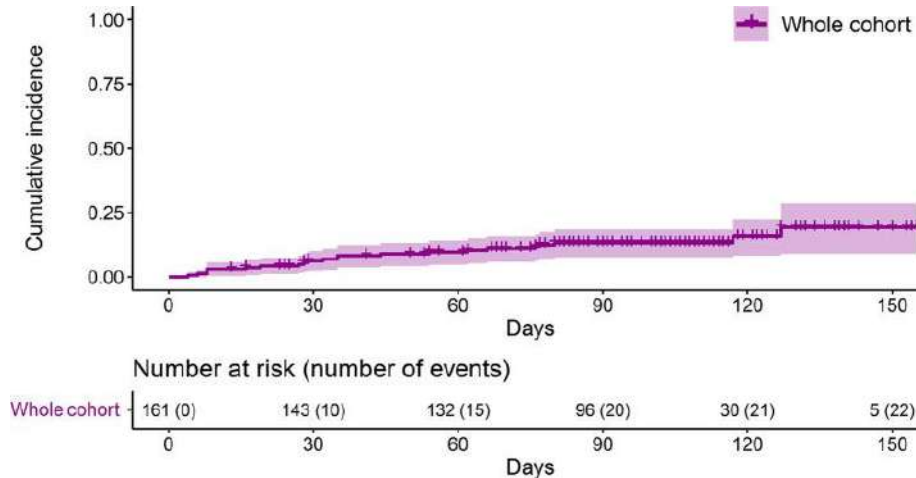
73% avaient été vaccinés

critère ATU: séro IgG anti S <264 BAU

88% avaient 1 ou + fdr non réponse

Déc 2021-Avril 2022:AZD7442 150+150 mg

med follow up 105 jours

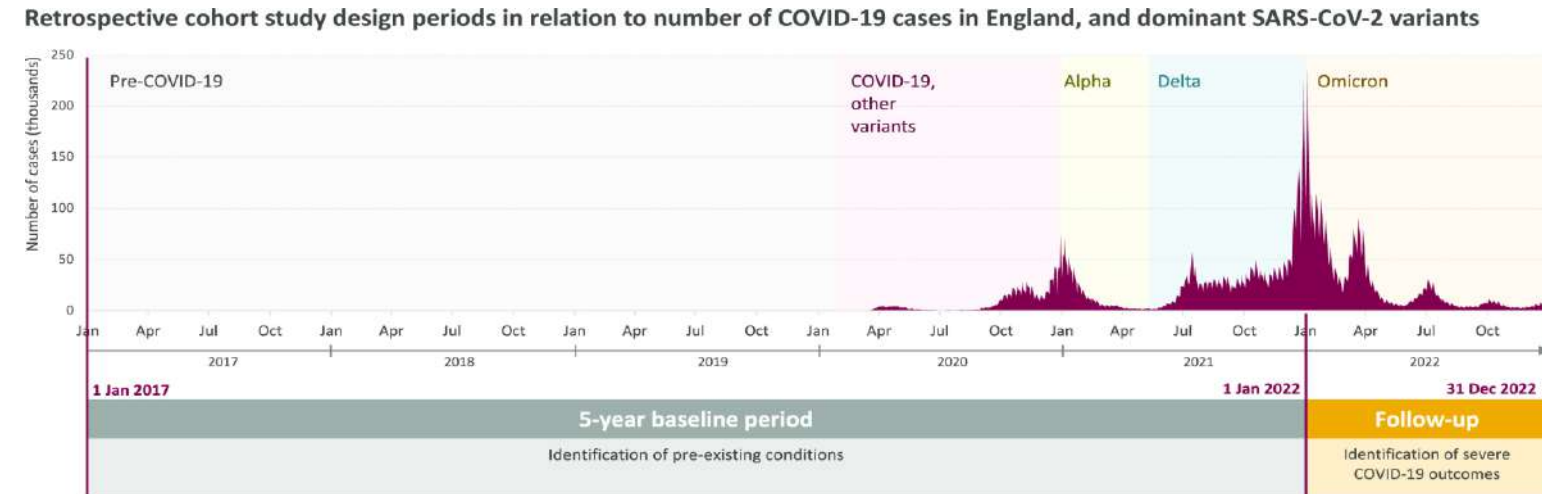
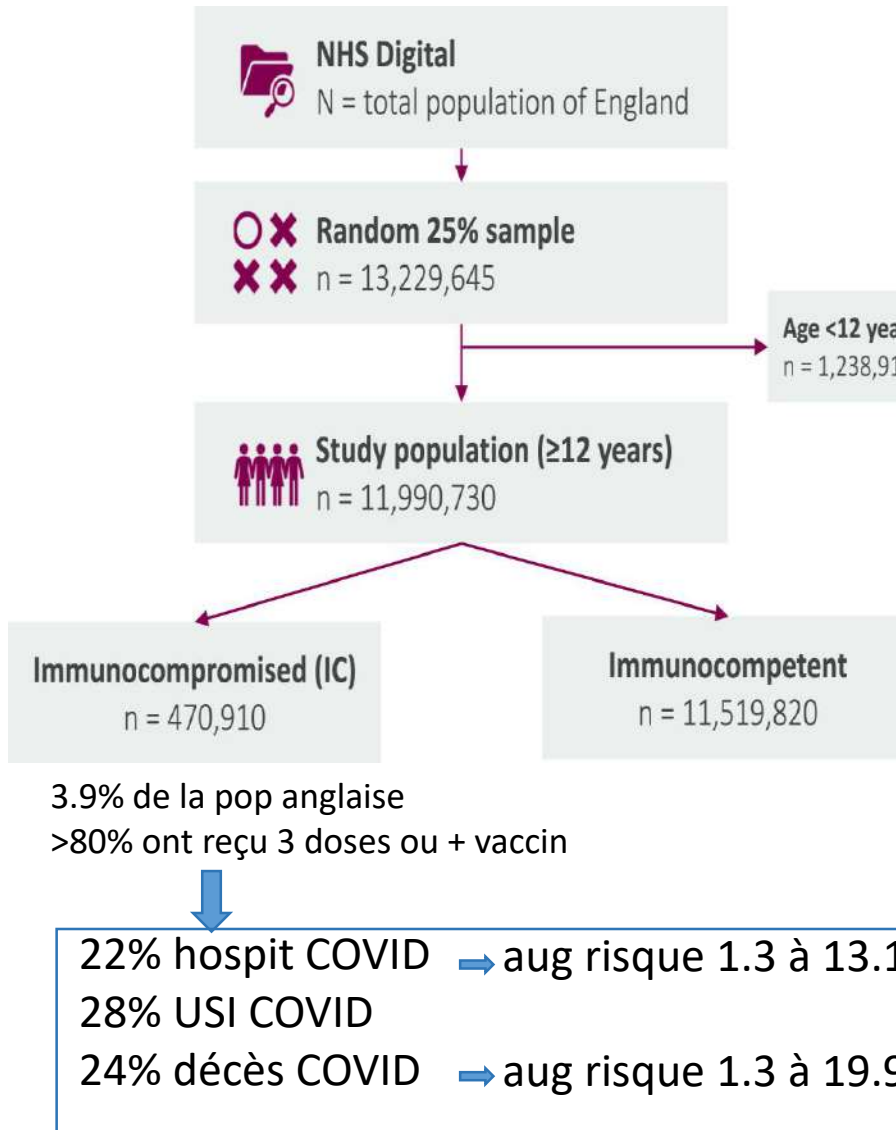


que serait il passé sans prophylaxie?

Omicron est il sévère chez les IMD?

14% de COVID, pas de forme sévère, pas de décès
profil plutôt favorable au vu de la littérature
intérêt de doubler les doses? (PRECOVIM)

Impact of COVID-19 on immunocompromised populations during the Omicron era: insights from the observational population-based INFORM study



pop + à risque: transplantés d'organe solide

OMICRON reste une infection sévère

CAR

Cette Ford Mustang électrique est vendue plus de 300.000 euros

Michael Turingrossa - 1.21.2019 13:00 T 0:0:0
Mustang électrique



TRANSFORM

Rando

N=92 SOC
3 chimio puis auto
si reponse

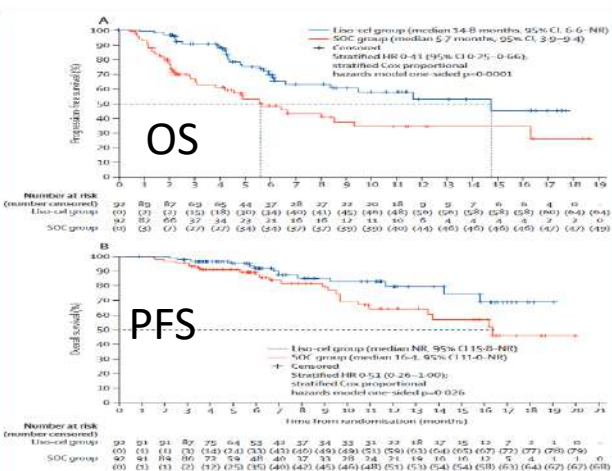
92 CART
Liso-cell

46 liso-cel
3ieme ligne

Auto pour 46% (N=42)

CART 98% (n=90)

| | | | |
|---------|-----|----|-----|
| ORR | 48% | vs | 86% |
| RC | 39% | vs | 66% |
| EFS 6mo | 33% | vs | 66% |
| OS 1y | 64% | vs | 80% |



Kamdar, Lancet 2022

Zuma 7

Randomisation

N=179 SOC
3 chimio puis autogreffe si RC

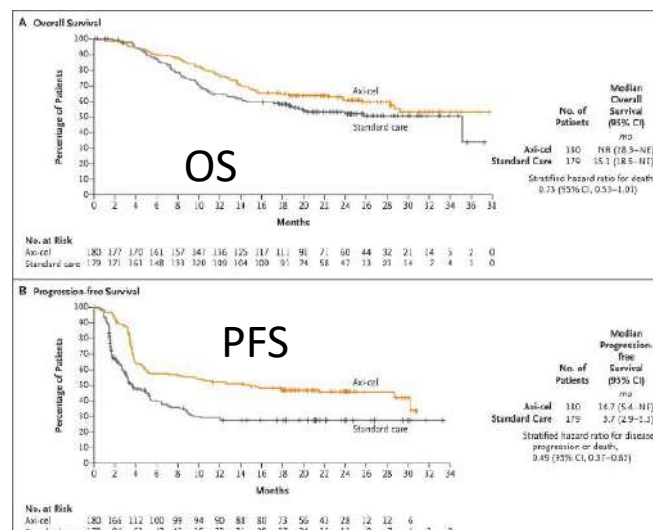
Certains ref
ont reçu des
CART

Auto pour 1/3
(n=62)

N=180 CART
Axi-cell

CART pour la
majorité
(n=170)

| | | | |
|--------|-----|----|-----|
| ORR | 50% | vs | 83% |
| RC | 32% | vs | 65% |
| EFS 2y | 16% | vs | 41% |
| OS 2y | 52% | vs | 61% |



Locke, NEJM 2022

BELINDA

Rando

N=160 SOC
3 chimio puis auto
si reponse

162 CART
Tisa-cell

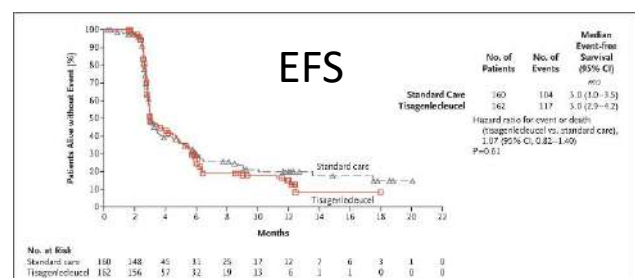
81 Tisa-cel
3ieme ligne

Auto pour 1/3 (N=52)

CART 96% (n=155)

| | | | |
|---------|--------|----|--------|
| ORR | 46% | vs | 42% |
| RC | 27% | vs | 28% |
| EFS med | 3 mois | vs | 3 mois |

CART=auto
2de ligne



Bishop NEJM 2022

CART>auto
2de ligne

Lisocabtagene maraleucel as second-line therapy for large B-cell lymphoma: Primary analysis of phase 3 TRANSFORM study (Abramson et al)

Patients with R/R LBCL | N = 184

- **Primary endpoint:** EFS (per IRC)
- **Key secondary endpoints:** CR rate (per IRC), PFS (per IRC), OS
- **Eligibility:** Adult patients with R/R LBCL ≤ 12 months after first-line therapy intended for ASCT

Open-label, Phase 3 Trial Randomized 1:1

Liso-cel

n = 92
100 × 10⁶ CAR⁺ T cells

58 (63%) received bridging therapy
89 (97%) received liso-cel

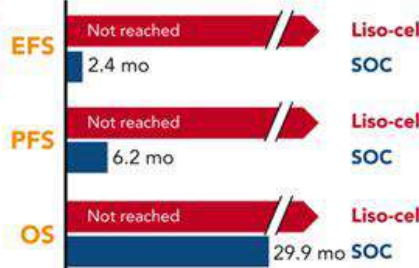
SOC

n = 92
3 cycles of platinum-based immunochemotherapy + HDCT/ASCT

43 (47%) completed full SOC treatment
61 (66%) approved for crossover to receive liso-cel as 3rd line therapy after SOC failure

Efficacy

Median EFS, PFS, and OS



Stratified HR

| | Stratified HR | 18-month rate diff. |
|------------------------------|---------------|---------------------|
| EFS: HR, 0.356; not retested | | +31.8% |
| PFS: HR, 0.400; P < .0001 | | +29.4% |
| OS: HR, 0.724; P = .0987 | | +12.5% |

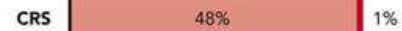
Median follow-up: 17.5 months

18-month rate diff.



Safety

Grade ≥3 TEAEs



Liso-cel SOC

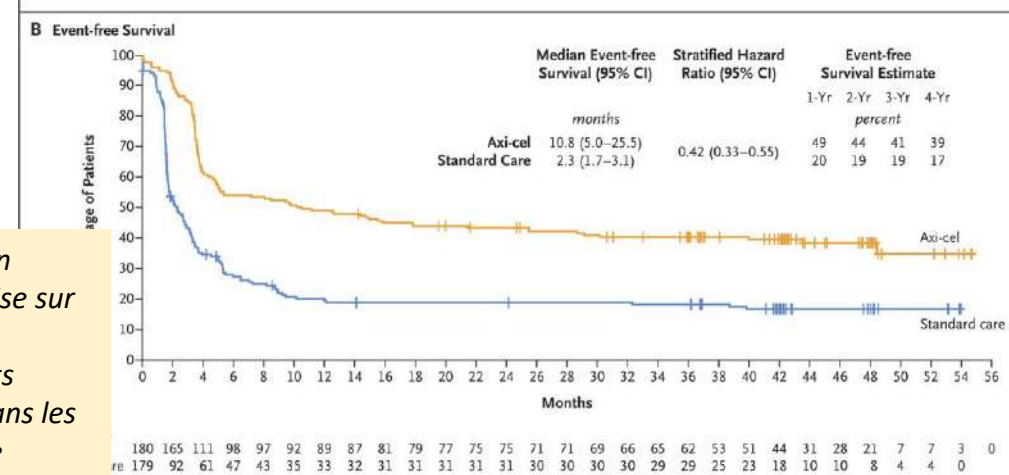
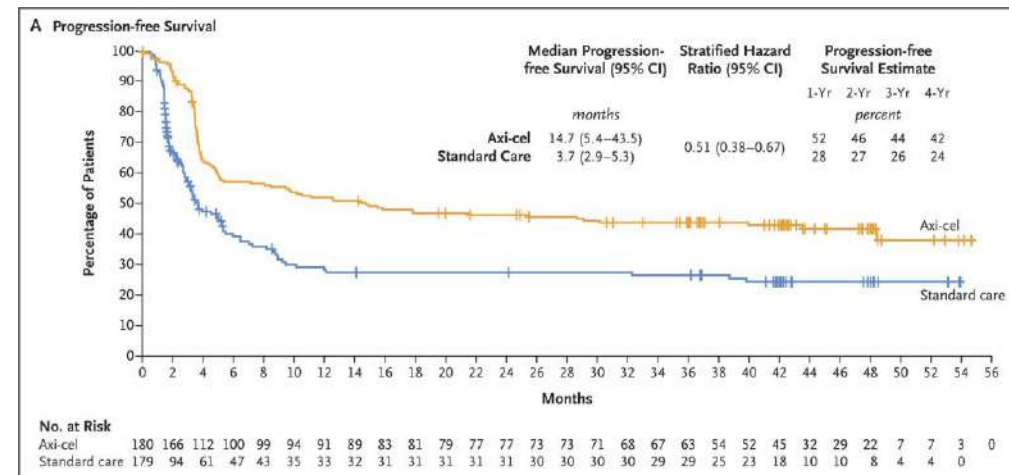
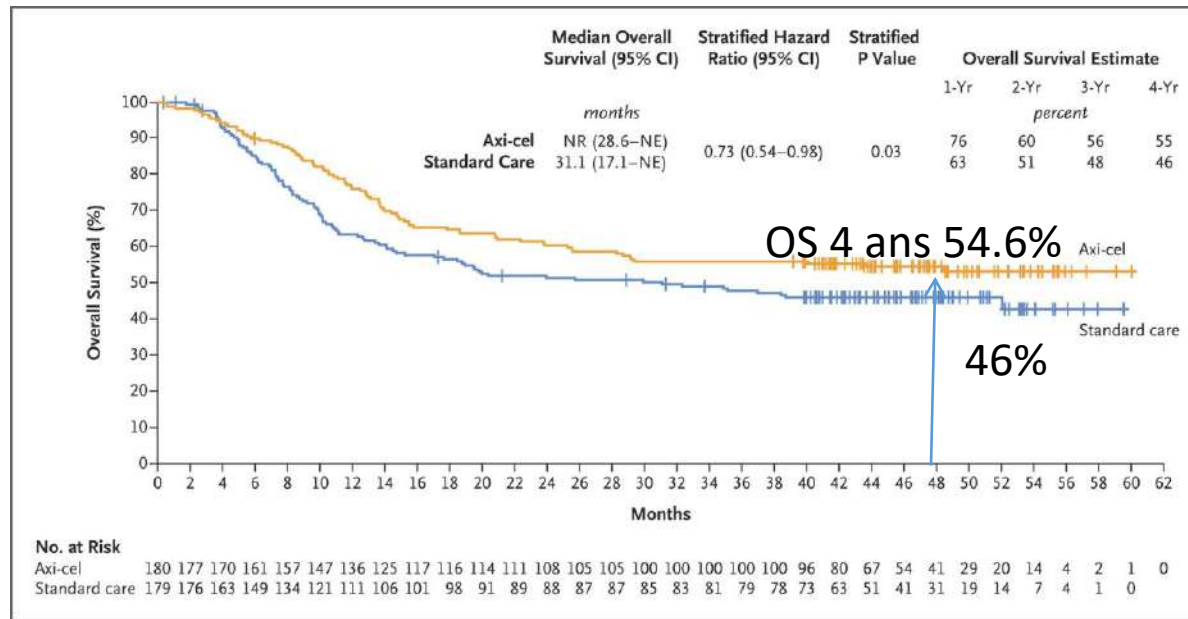
| | Liso-cel | SOC |
|---------------------|----------|-----|
| Serious AEs | 48% | 49% |
| Deaths due to TEAEs | 2% | 2% |

No Grade 4 or 5 CRS or NEs

No prophylactic corticosteroids or vasopressors used

ASCT, autologous hematopoietic stem cell transplantation; CR, complete response; CRS, cytokine release syndrome; EFS, event-free survival; HDCT, high dose chemotherapy; IRC, independent review committee; NE, neurological event; ORR, objective response rate; PFS, progression-free survival; R/R, primary refractory or early relapsed; OS, overall survival; SOC, standard of care; TEAE, treatment-emergent adverse event.

Survival with Axicabtagene Ciloleucel in Large B-Cell Lymphoma (ZUMA-7)



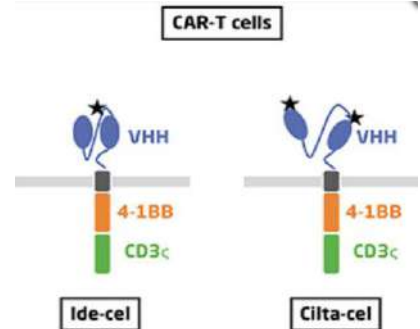
Le médicament YESCARTA : autorisation d'accès précoce pré-autorisation de mise sur le marché (AMM) dans l'indication « traitement des patients adultes atteints de DLBCL, réfractaires ou en rechute dans les 12 mois après la fin d'un traitement de première ligne et éligibles à une autogreffe »

med follow up 47 mois (vs 24.9 dans la 1ere publi)
56% bras auto ont reçu CART 3ieme ligne

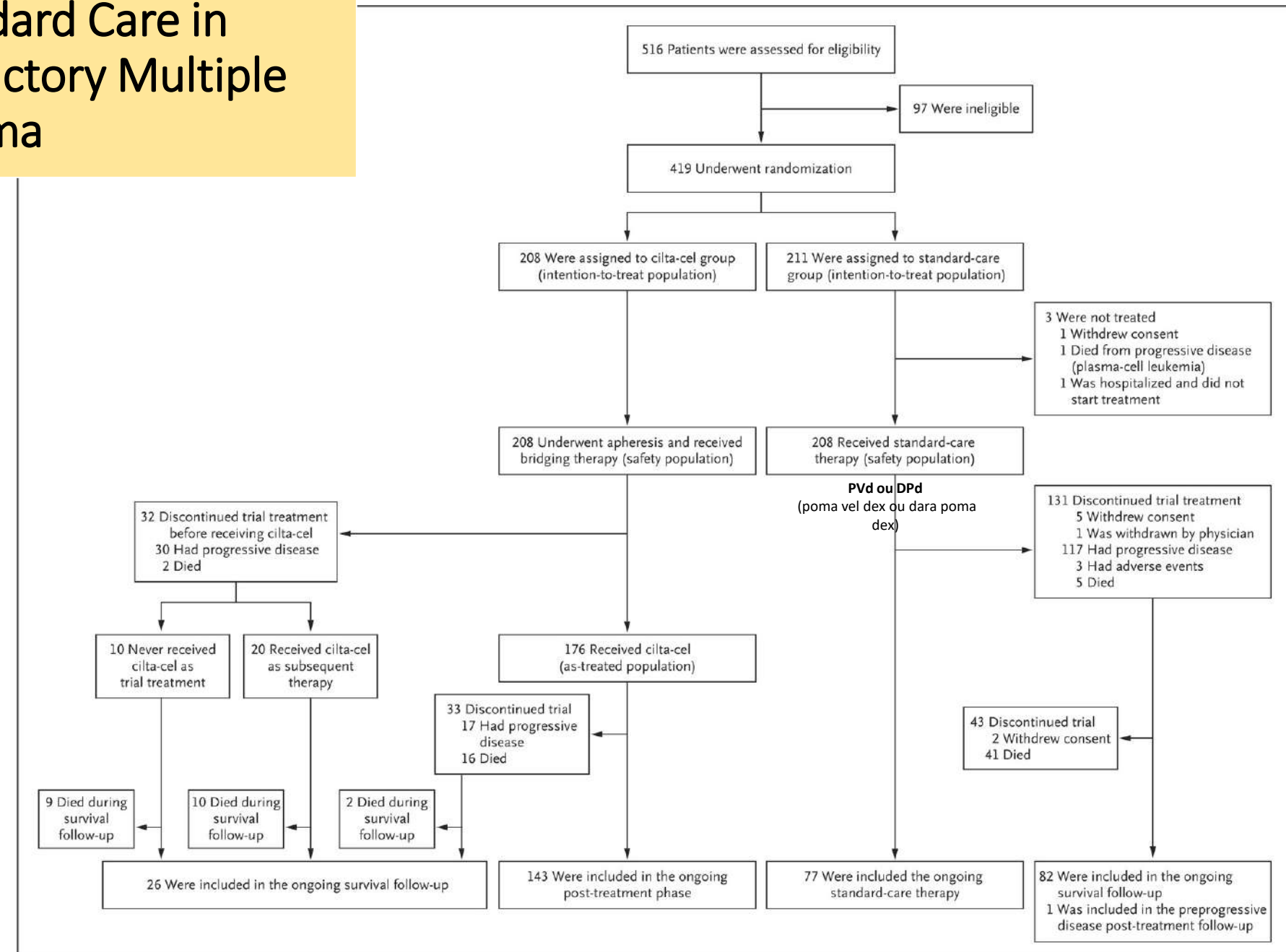
ALYCANTE
DLBCL, »unfit» à l'auto 1ere rechute: meilleure RC 82%
Houot, EHA abst s233

Cilta-cel or Standard Care in Lenalidomide-Refractory Multiple Myeloma

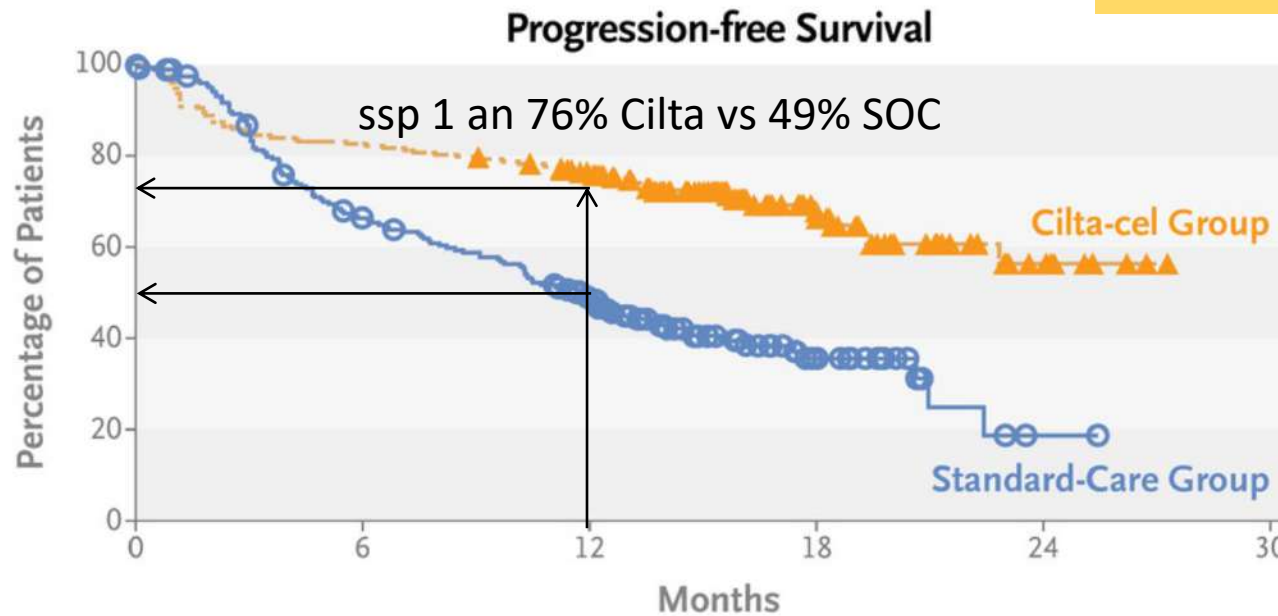
Phase 3 rando MM ref Lenalidomide:
Cilta-cel vs SOC
1 à 3 L de ttt dont 1 IP et 1 IMiD
60% ht risque cytogénét
25% triple ref (- avancés que CARTITUDE-1)
critère ppal: SSP
suivi med 15.7 mois



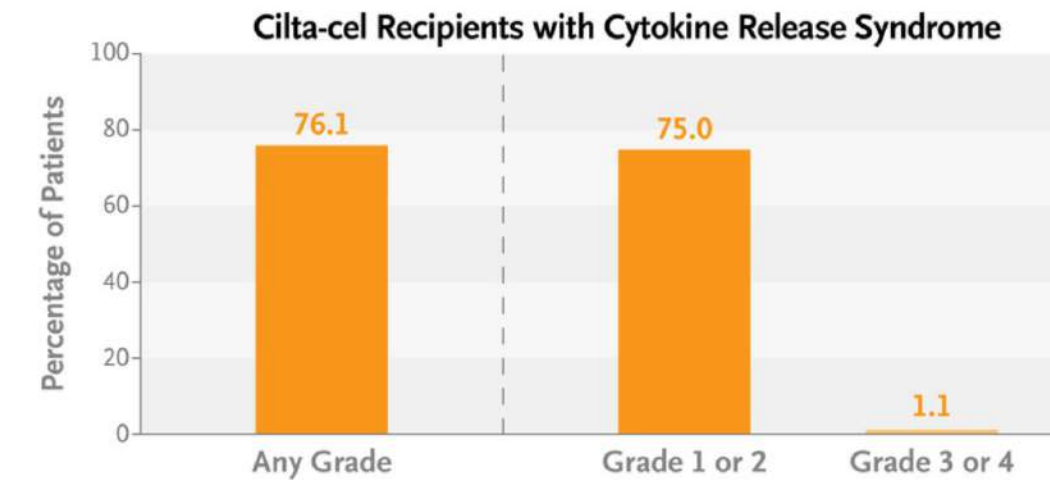
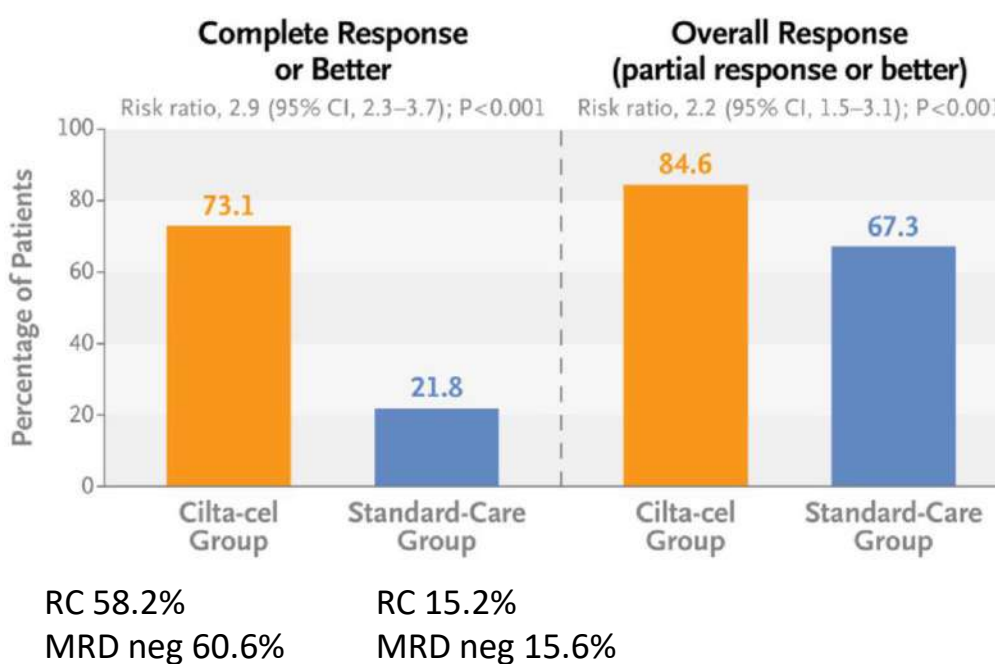
Van de Wyngert Hématologie 2023
Domaine de liaison à BCMA



CARTITUDE-4



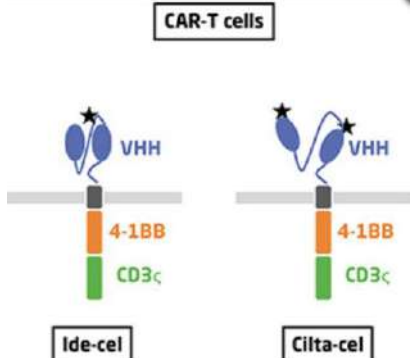
CARTITUDE-6: rando vs autogreffe



+ d'anémie et thrombopénie gr 3-4 avec Cilta-Cel
mais pas = d'infections
20% Icans 3% gr 3-4
warning: 10% de sd parkinson et para paires crâniennes tardif

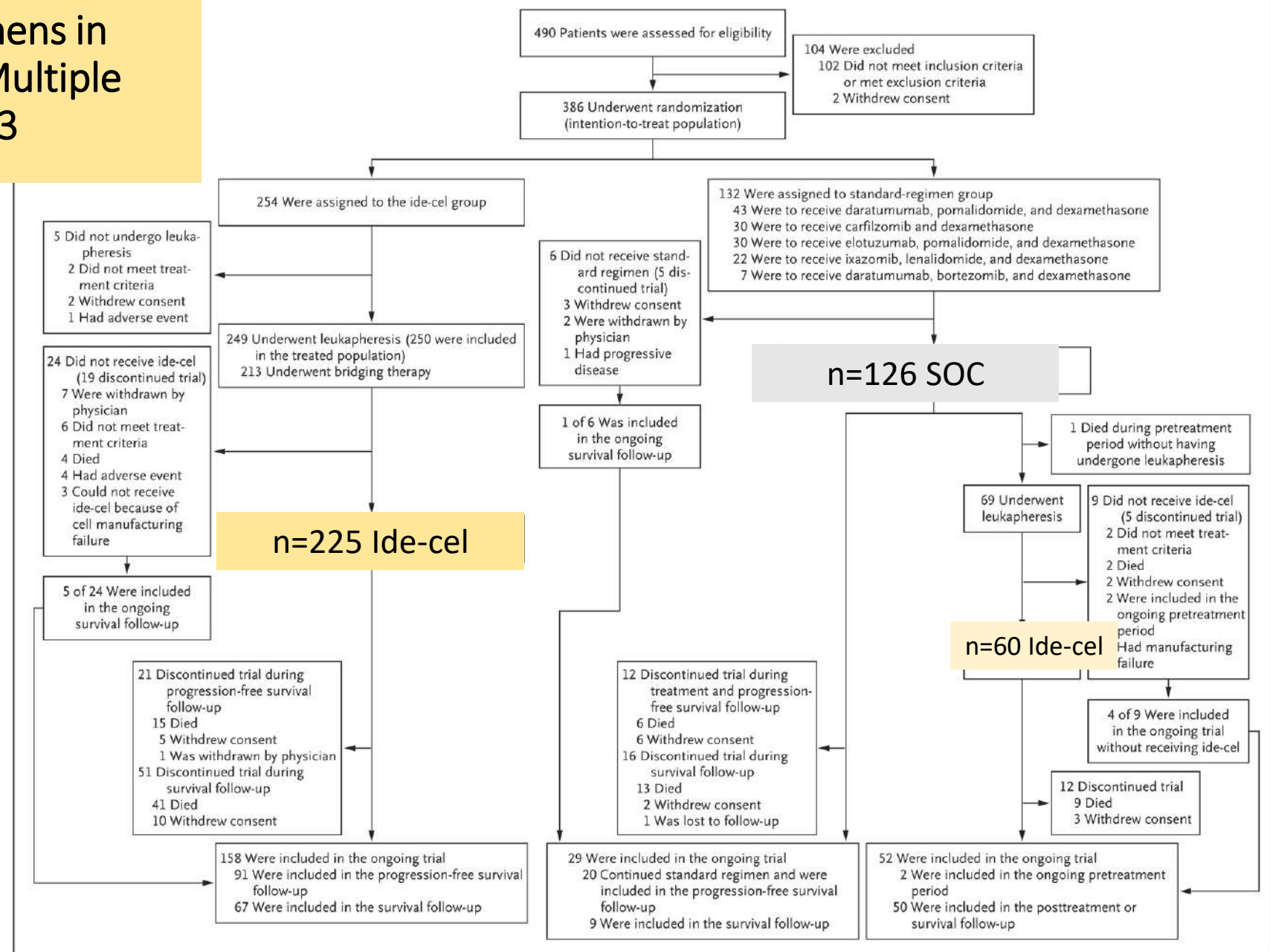
Ide-cel or Standard Regimens in Relapsed and Refractory Multiple Myeloma KARMMa-3

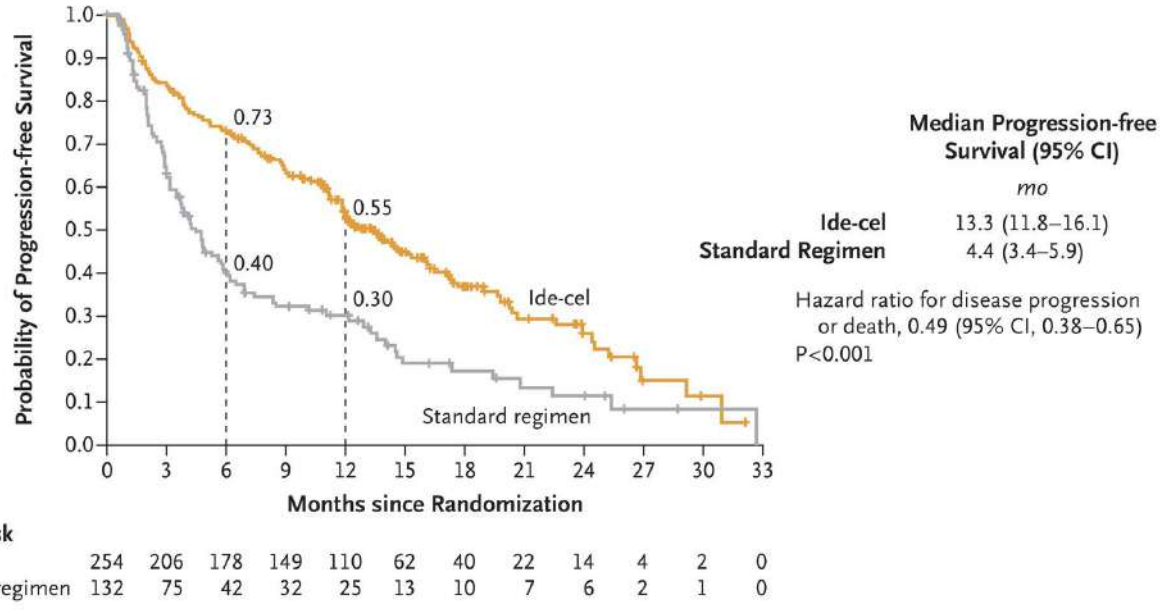
Phase 3 rando MM rec/ref
 Ide-cel vs SOC
 2 à 4L de ttt dont au moins 2 cycles Dara+ IMiD+IP
 60% ht risque cytogénét
66% triple ref; 95% ont eu dara
 dose: 150×10^6 to 450×10^6 CAR
 primary end point: PFS



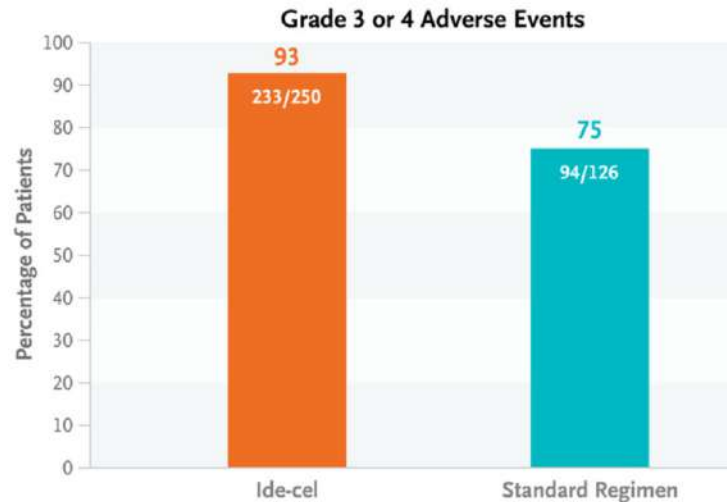
★ Domaine de liaison à BCMA

Van de Wyngaert, Hématologie 2023





→ dim du risque de progression ou de décès de 51%



88% CRS, 4% gr 3-4
15% Icans 3% gr 3-4
décès liés au tt: 3% vs 1%

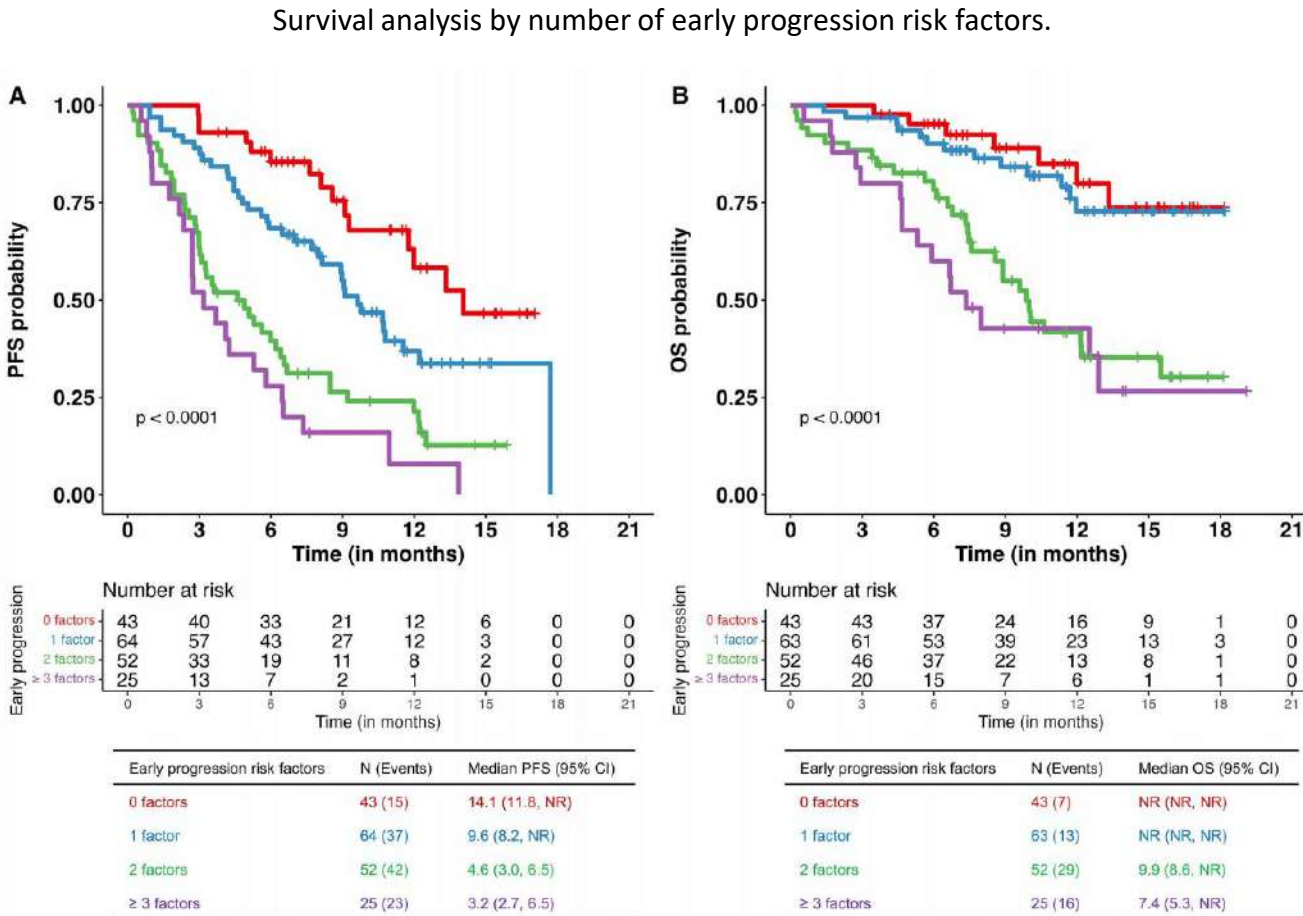
Approbation Europe et
Remboursement France Ide-Cel
(Abecma)

patients adultes atteints d'un myélome multiple en rechute et réfractaire ayant reçu au moins trois traitements antérieurs, incluant un agent immunomodulateur, un inhibiteur de protéasome et un anticorps anti CD38, et dont la maladie a progressé pendant le dernier traitement.

Factors associated with refractoriness or early progression after idecabtagene vicleucel in patients with relapsed/refractory multiple myeloma: U.S. Myeloma Immunotherapy Consortium real world experience

Early progression risk factors :

- **prior BCMA therapy**
- extramedullary disease
- baseline ferritin
- plasma cell leukemia
- t(4;14)



CORRESPONDANCES EN Onco-Hématologie

Editorial & DOSSIER

Les immanquables de l'ASCO®, de l'EHA et de l'ICML-Lugano

Cordonné par le Pr Noël Milpied (Bordeaux)

- Leucémie lymphoïde chronique
Pr Romain Guièze (Clermont-Ferrand)
- Lymphome de Hodgkin
Pr Luc-Matthieu Fornecker (Strasbourg)
- Lymphomes non hodgkiens
Dr Sylvain Choquet (Paris) et Pr Pierre Feugier (Nancy)
- Myélome multiple
Dr Jules Higuer et Pr Aurore Perrot (Toulouse)
- Néoplasies myéloïdes
Dr Laurence Legros (Le Kremlin-Bicêtre)
- Leucémies aiguës lymphoblastiques et leucémies aiguës myéloïdes
Pr Emmanuel Raffoux (Paris)

RACONTÉ À JULIETTE

L'hématologie vétérinaire
Pr Marie-Christine Béné (Nantes)



Société éditrice : EDIMARK SAS
CPAF : 01 74 7 86680
ISSN : 1954-4920 (imprimé)
ISSN : 2273-1694 (en ligne)

www.edimark.fr | ABONNEZ-VOUS ! page 206

Revue indexée dans la base internationale ICMJE



EDITORIAL

Resservez-vous !

Pr Noël Milpied*



* Rédacteur en chef.

Voilà un peu plus de 3 mois environ que le menu gargantuesque de 3 des congrès majeurs pour notre discipline (ASCO®, EHA et ICML-Lugano) a été servi. Un petit creux avant d'attaquer celui bien copieux de l'ASH ?

Quelle meilleure collation pour le combler que de piquer ces immanquables sélectionnés et rasservis par des expertes et experts de renom dans leur domaine.

Reprendre un peu de CAR-T cells ou de bispécifiques dans les lymphomes ou les myélomes, se remettre en mémoire les thérapies ciblées dans les syndromes myéloprolifératifs, déguster les savoureux résultats des thérapies ciblées dans les leucémies aiguës lymphoblastiques et découvrir le piquant de l'administration du quizartinib dans les leucémies aiguës myéloïdes et son bénéfice inattendu quel que soit le statut mutationnel de *FLT3*.

Se laisser allécher par les résultats des combinaisons thérapie ciblée et chimiothérapie en 1^{re} ligne des lymphomes de Hodgkin, malheureusement encore interdites sur nos tables, ou par l'abandon des chimiothérapies indigestes dans les leucémies lymphoïdes chroniques et les lymphomes du manteau au profit de thérapies, encore une fois ciblées, courtes et légères.

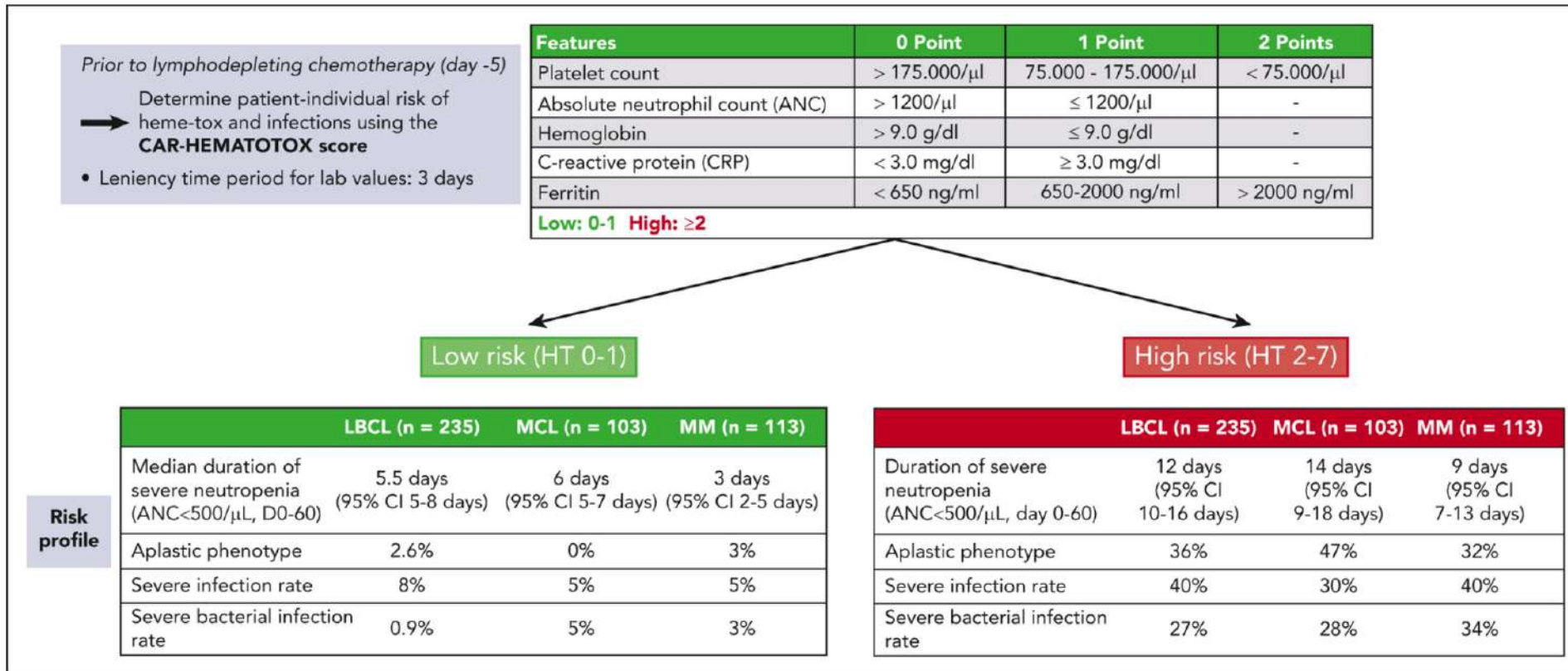
Et pour celles et ceux qui savent déjà tout cela, dégustez le zakouski de Juliette, vous y apprendrez que nos amies les bêtes souffrent également d'hémopathies et que le Cavalier King Charles a des plaquettes géantes, pas seulement les oreilles !

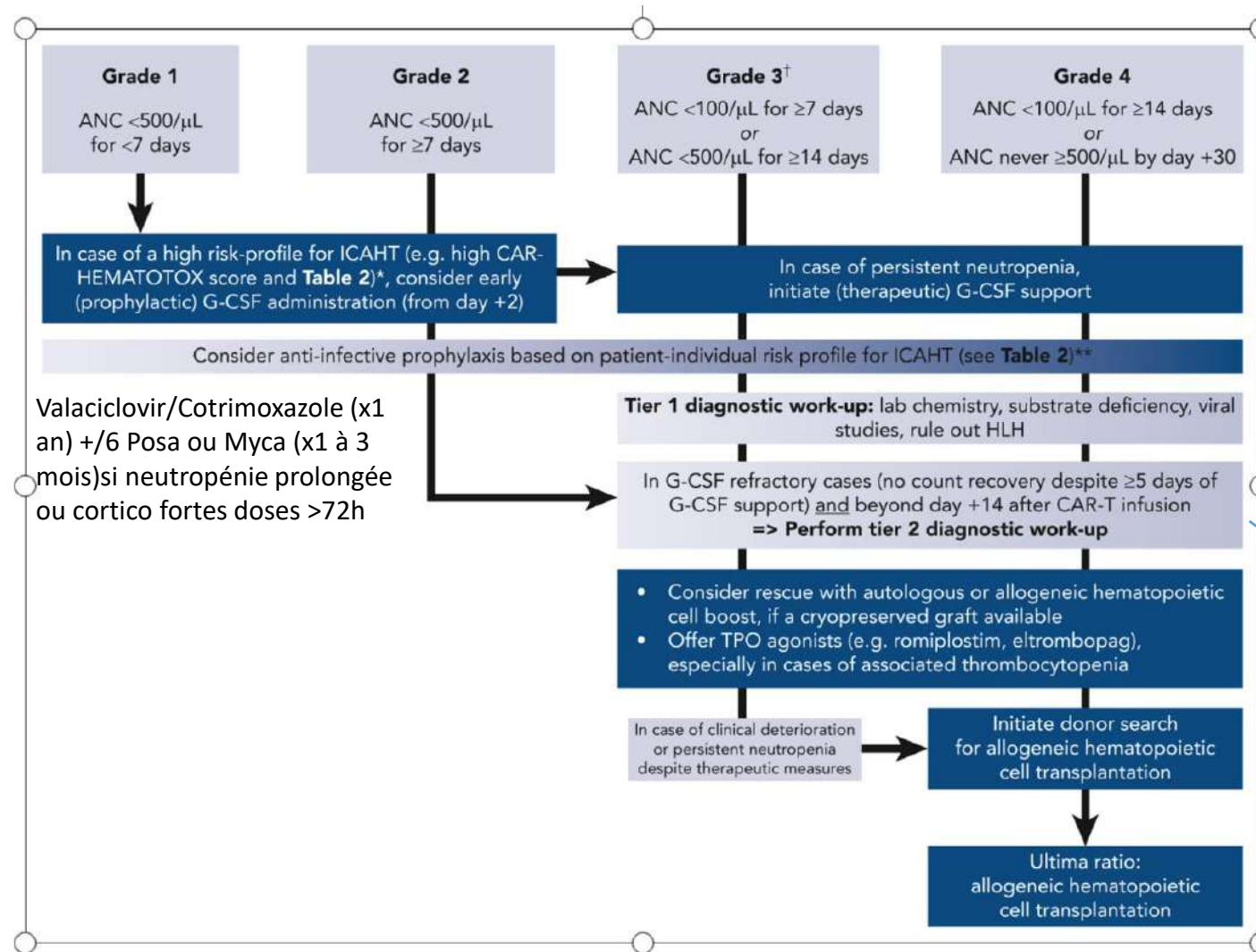
Alors, bonne dégustation.

N. Milpied déclare ne pas avoir de liens d'intérêts en relation avec cet éditorial.

Les recalés

Immune effector cell–associated hematotoxicity: EHA/EBMT consensus grading and best practice recommendations





| TIER 1 | Lower threshold to perform – minimal workup | | |
|--|---|---|--|
| Poor bone marrow reserve | Prior treatments including allo-HCT, fludarabine, marrow infiltration | Complete blood count (CBC), reticulocyte production index (RPI), peripheral blood smear | |
| Medication – drug side effects | Check for concomitant myelosuppressive medications | | |
| Vitamin deficiencies | Vitamin B12, folic acid | Serum levels | |
| Rule out infections | Bacterial/viral/fungal infections | Blood cultures, CMV PCR, procalcitonin, CD4 ⁺ T-cell, IgG, B-cell levels | |
| Rule out macrophage-activation syndrome* | CRS/MAS or IEC-HS | Serum ferritin, triglycerides | |

| Viral PCR considering the clinical presentation | Parvovirus | Parvovirus B19 PCR |
|---|--|--|
| | HHV6, JCV | HHV6, JCV PCR blood/CSF |
| | EBV, adenovirus, HSV | PCR |
| Bone marrow disease | (MDS/AML/myelofibrosis) or relapse | BM aspirate, biopsy, flow cytometry, immunohistochemistry, cytogenetics, NGS |
| | Relapse of leukemia/lymphoma | Flow cytometry peripheral blood / bone marrow, including B-cell panel |
| Other causes | Other rare hematologic diseases, myeloid diseases, PNH, autoimmune processes | Myeloid panel, GPI-linked structures, direct antiglobulin test (DAT) |

Efficacy and Safety of CD34+ Stem Cell Boost for Delayed Hematopoietic Recovery After BCMA Directed CAR T-cell Therapy

Etude rétrospective 3 centres US

n= 101 patients CART anti BCMA pour MM Rec/ref. med 63 ans

n=19/101 ont reçu un greffon de CSP congelé pour cytopénies persistantes

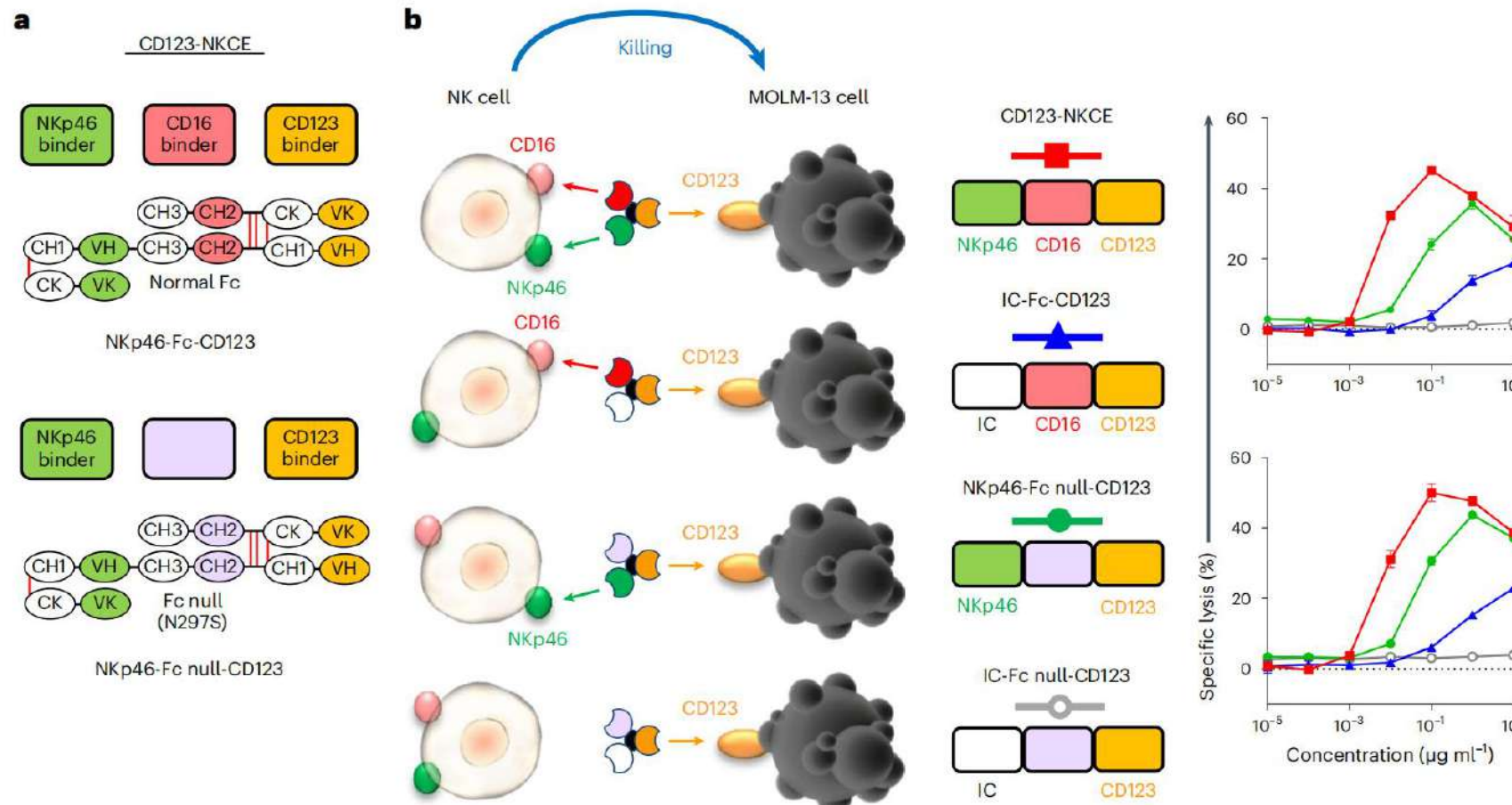
93% CRS mais 1 seul grade 3

78% ORR à J90 dont 50% RC

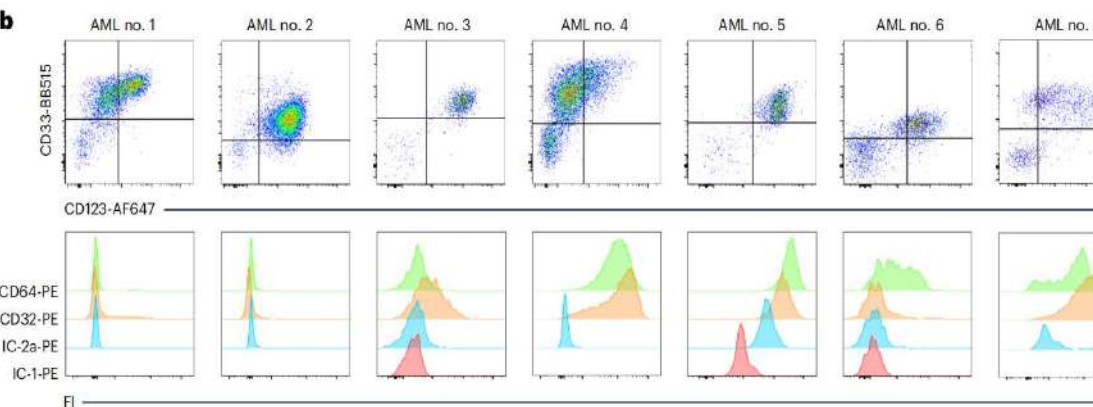
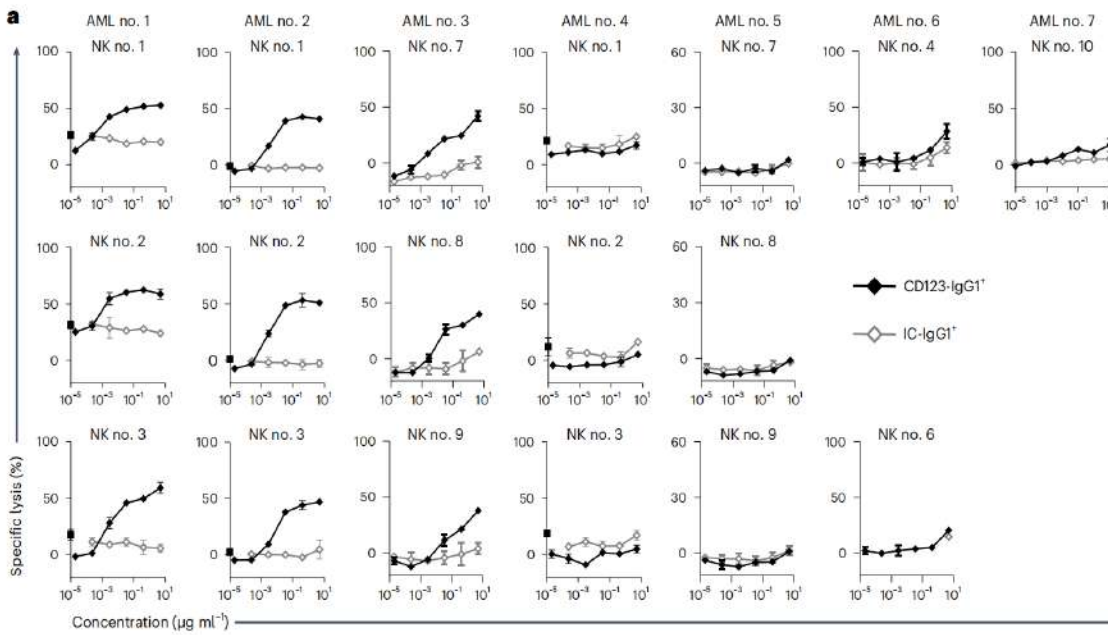
| | |
|--|---------------------|
| Prior CAR T-cell dose (cells × 10 ⁶) | |
| Idecabtagene vicleucel n=18 | 425.2 (372.1-496.4) |
| Ciltacabtagene autoleucel, n = 1 | 48.5 |
| Stem cell boost dose (CD34+ cells × 10 ⁶ /kg) | 2.75 (1.76-7.38) |
| Day of stem cell boost post CAR T infusion | 53 (24-126) |
| Day of engraftment after stem cell boost | |
| Neutrophils | 14 (9-39) |
| Hemoglobin | 23 (6-34) |
| Platelets | 17 (12-39) |
| Indications for stem cell boost | |
| Pancytopenia | 13 (68%) |
| Pancytopenia and infection | 2 (11%) |
| Anemia and thrombocytopenia | 2 (11%) |
| Thrombocytopenia | 1 (5%) |
| Neutropenia | 1 (5%) |
| Transfusion needs after CAR T | |
| PRBC transfusion > 7 days | 15 (79%) |
| Platelet transfusion > 7 days | 15 (79%) |
| Days of G-CSF after stem cell boost, median (range) | 10 (0-28) |
| TPO agonist use after stem cell boost | 11 (58%) |
| IVIG use after stem cell boost | 7 (36%) |

CAR Allogéniques

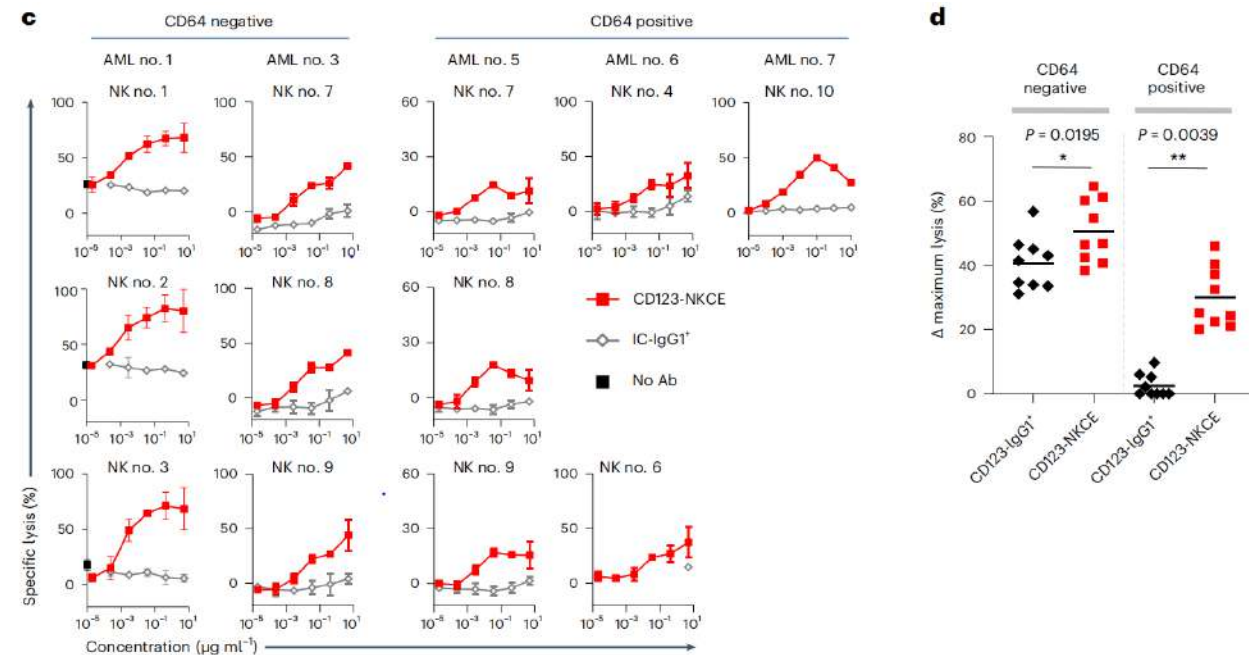
Control of acute myeloid leukemia by a trifunctional NKp46-CD16a-NK cell engager targeting CD123



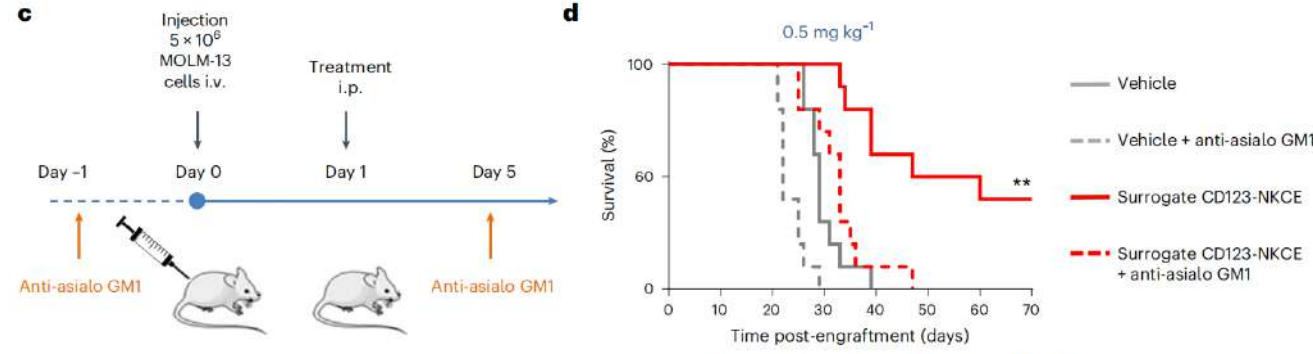
Expression CD64 sur blastes LAM inhibe Ac anti CD123



Trispécifique lyse les blastes LAM CD64+ ou -



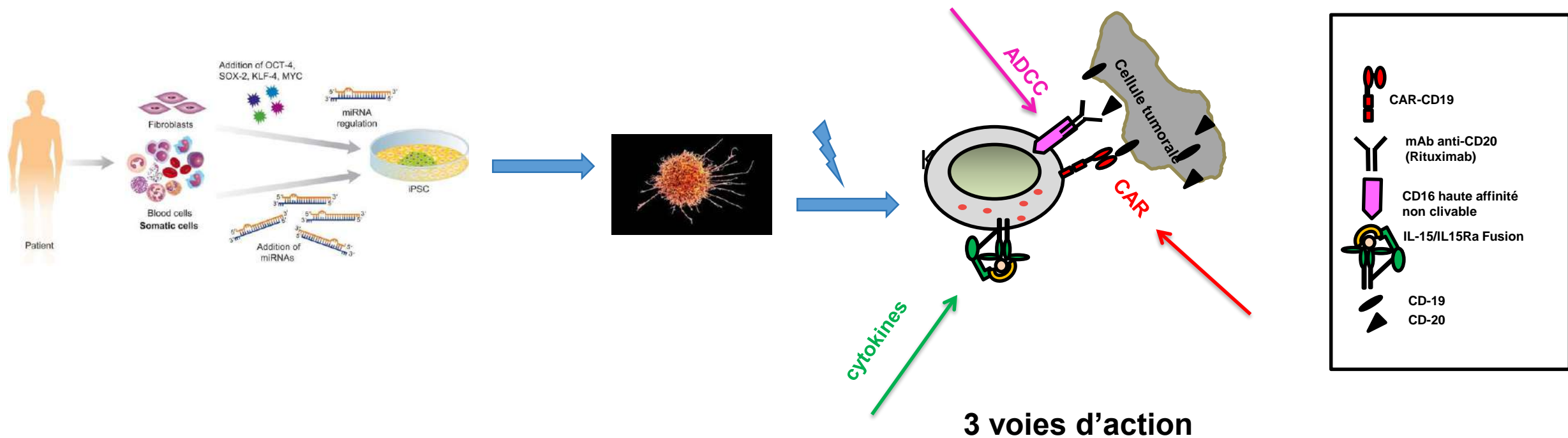
Efficacité in vivo, dépendante des NK

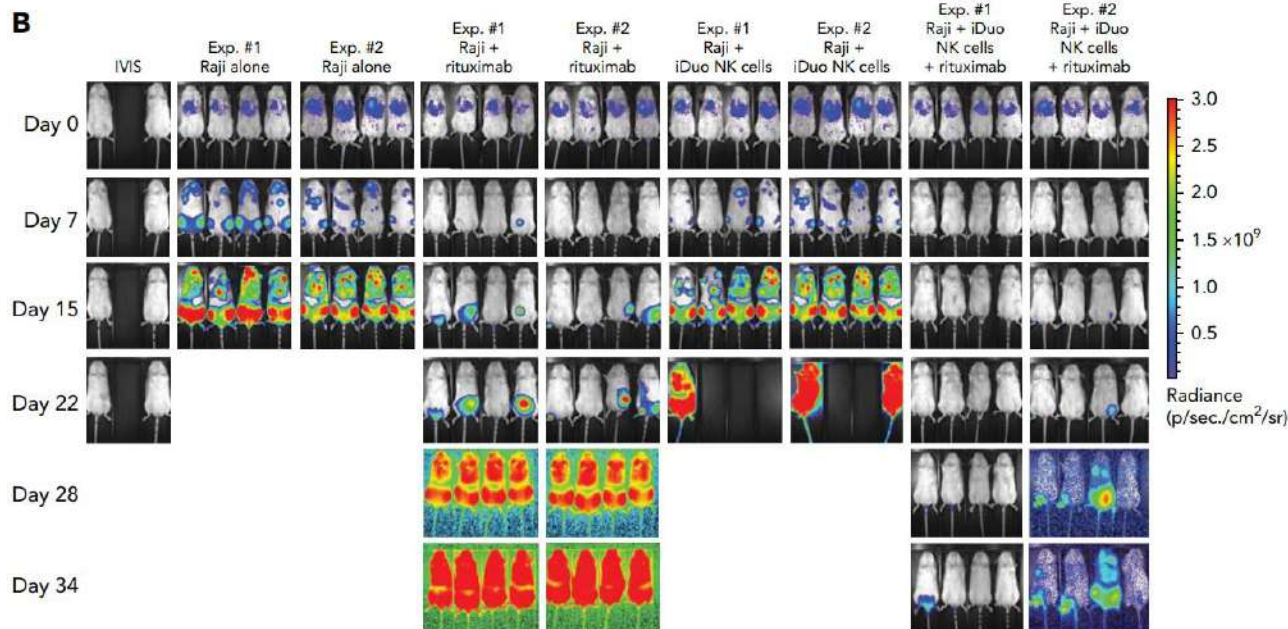
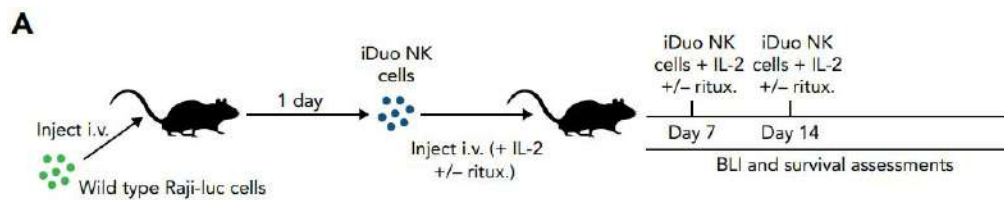


CD123-NKCE versus CD123-NKCE + anti-asialo GM1 : **P = 0.0019

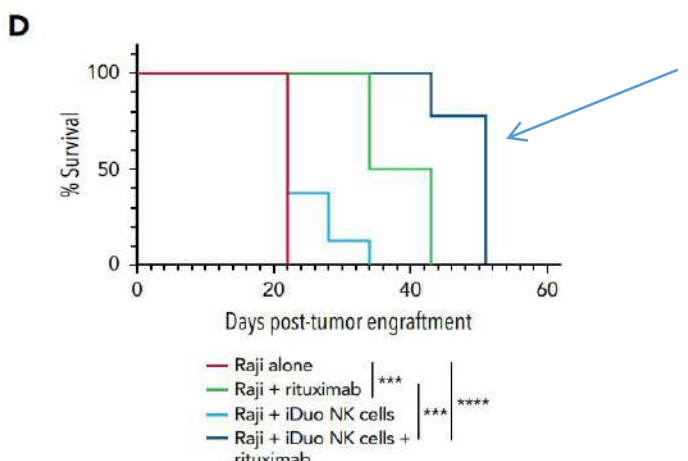
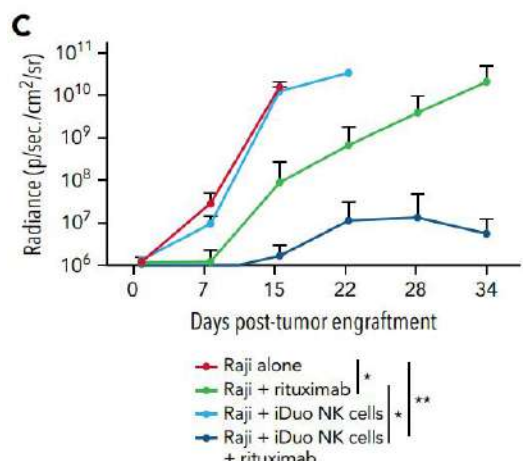
Dual antigen–targeted off-the-shelf NK cells show durable response and prevent antigen escape in lymphoma and leukemia

Frank Cichocki, Blood 2022

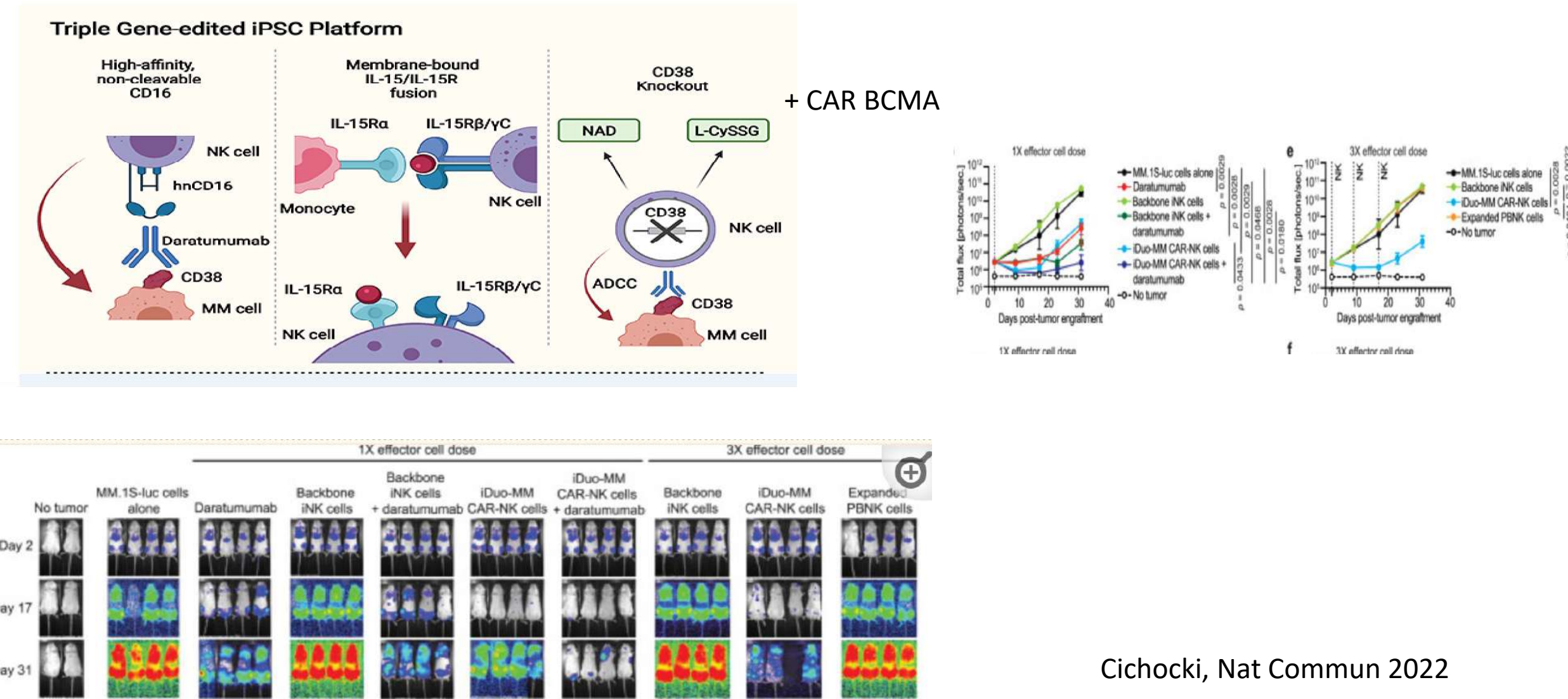




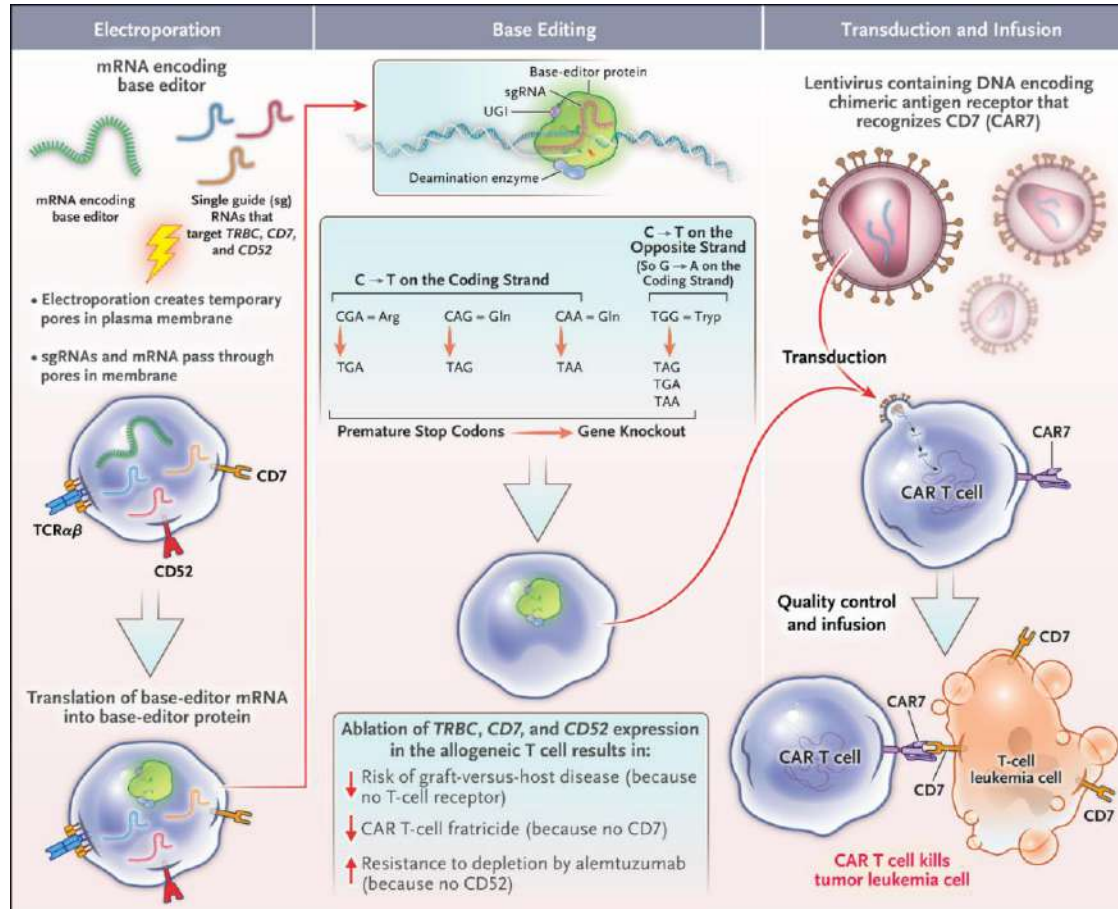
l'activité
antitumorelle
augmente avec le
rituximab



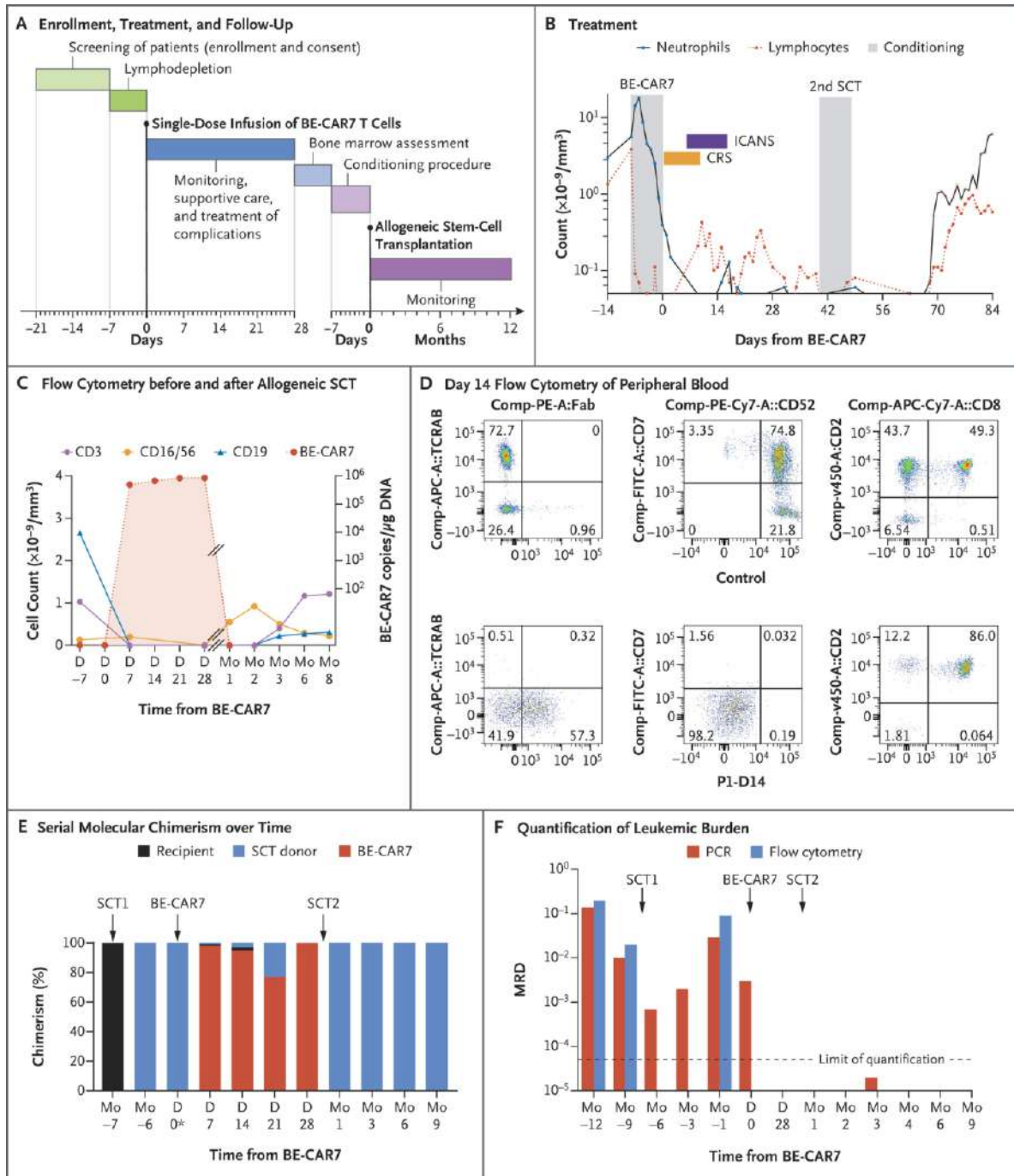
Quadruple gene-engineered natural killer cells enable multi-antigen targeting for durable antitumor activity against multiple myeloma



Base-Edited CAR7 T Cells for Relapsed T-Cell Acute Lymphoblastic Leukemia

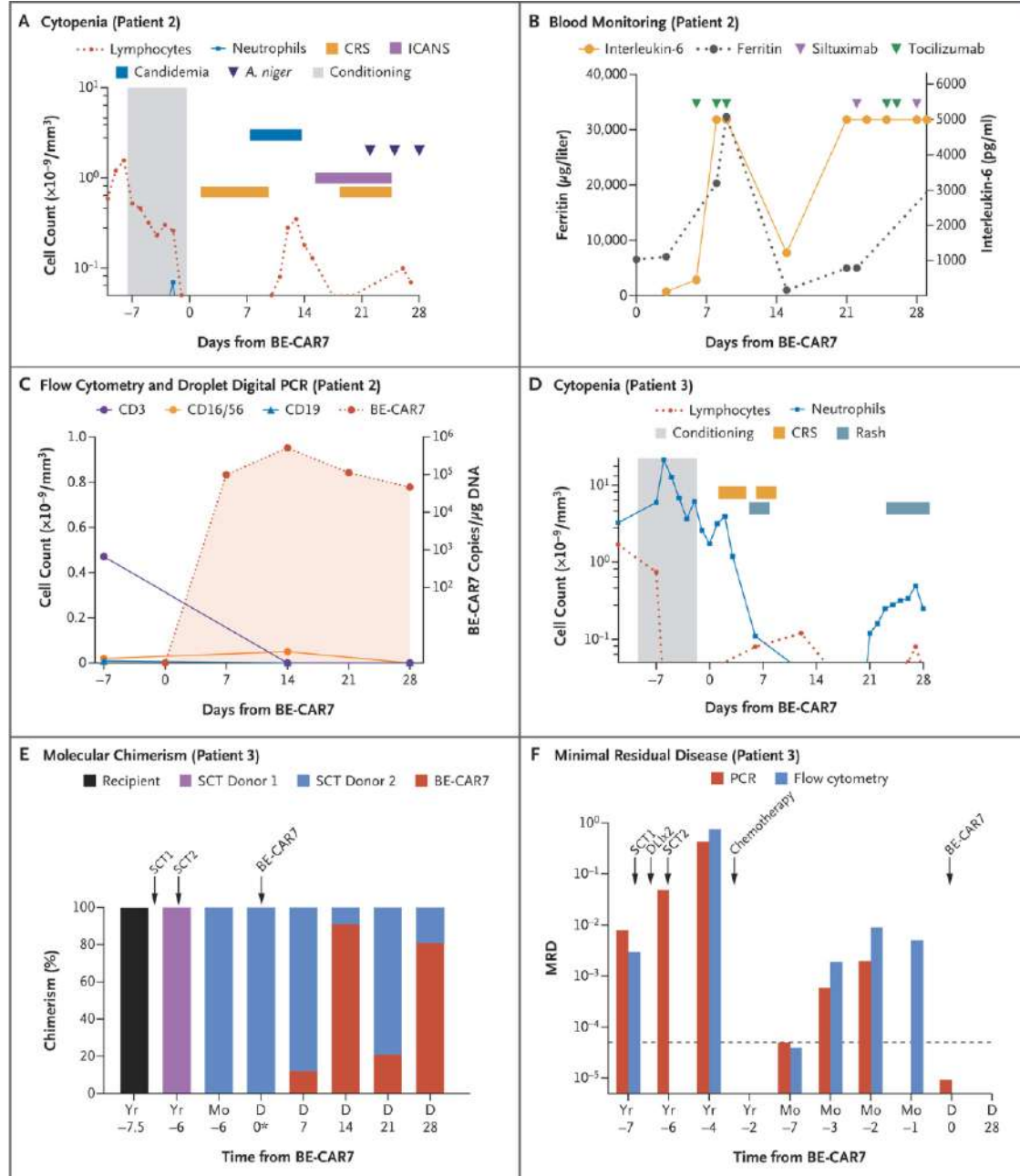


base editing: inactivation des gènes CD52, CD7 receptors et β chain eu $\alpha\beta$ T-cell receptor pour échapper à la serothérapie lymphodepletante, CAR7 T-cell fraticide, et GVH respectivement



Patients in the study received lymphodepletion with fludarabine (150 mg per square meter of body-surface area), cyclophosphamide (120 mg per kilogram of body weight), and alemtuzumab (1 mg per kilogram) followed by infusion of 0.2×10^6 to 2.0×10^6 BE-CAR7 T cells per kilogram (with a maximum of 5×10^4 per kilogram of TCR $\alpha\beta$ + T cells, to limit the risk of GVHD).

inclusion: 1 enfant LALT rec/ref
pas d'atcd de GVH
pas d'infection active severe
pas d'Ac anti HLA anti CART B7

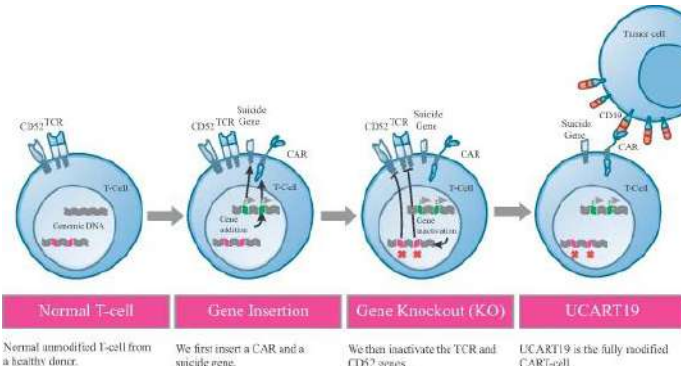


Pt 2 décédé d'IFI (candidémie + aspergillose), grosse masse tumorale

Pt 3 obtention d'une RC3 (atcds de 2 allo, 2de rechute MO + SNC), allo 3 après CAR B7

Proof of concept
Très cytopéniant, IMS+++
CRS, ICANS+
nécessité d'allo

UCART19, a first-in-class allogeneic anti-CD19 chimeric antigen receptor T-cell therapy for adults with relapsed or refractory B-cell acute lymphoblastic leukaemia (CALM): a phase 1, dose-escalation trial



LD: fludarabine (30 mg/m²/j x 3 j) and cyclophosphamide (500 mg/m² /j x 3 days) +/- alemtuzumab (1 mg/kg or 40 mg or 60 m sur 5 days). UCART19 6 × 106, 6–8 × 107, or 1·8–2·4 × 108 total

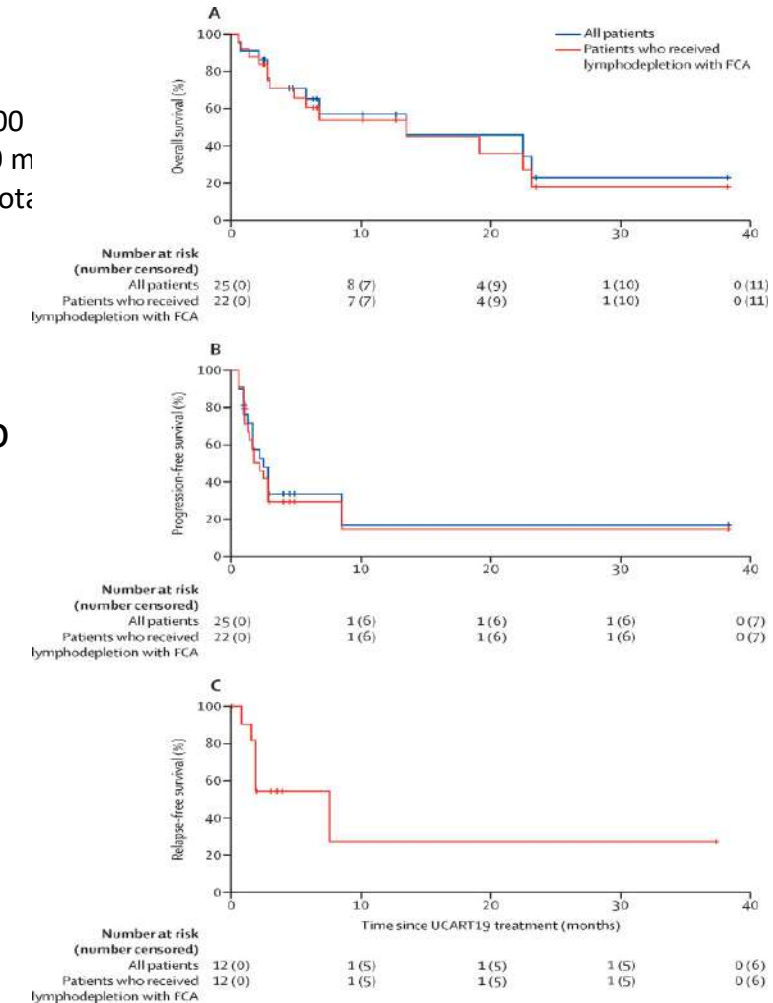
n=25, 37 ans med, follow up 12.8 mois,
72% atcd allo

80% CRS dont 25% gr 3-4

2 GVHa grade 1

28% infections gr 3 ou +

ORR 48%, med PFS 2.1 mo, OS 13.4 mo

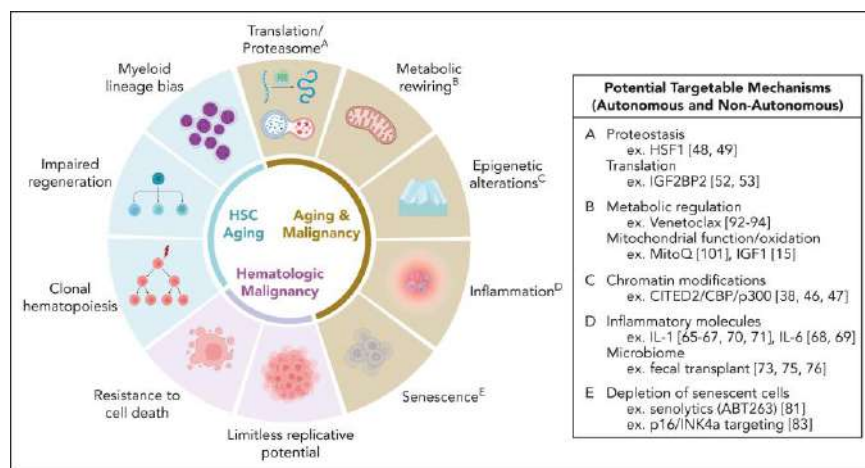
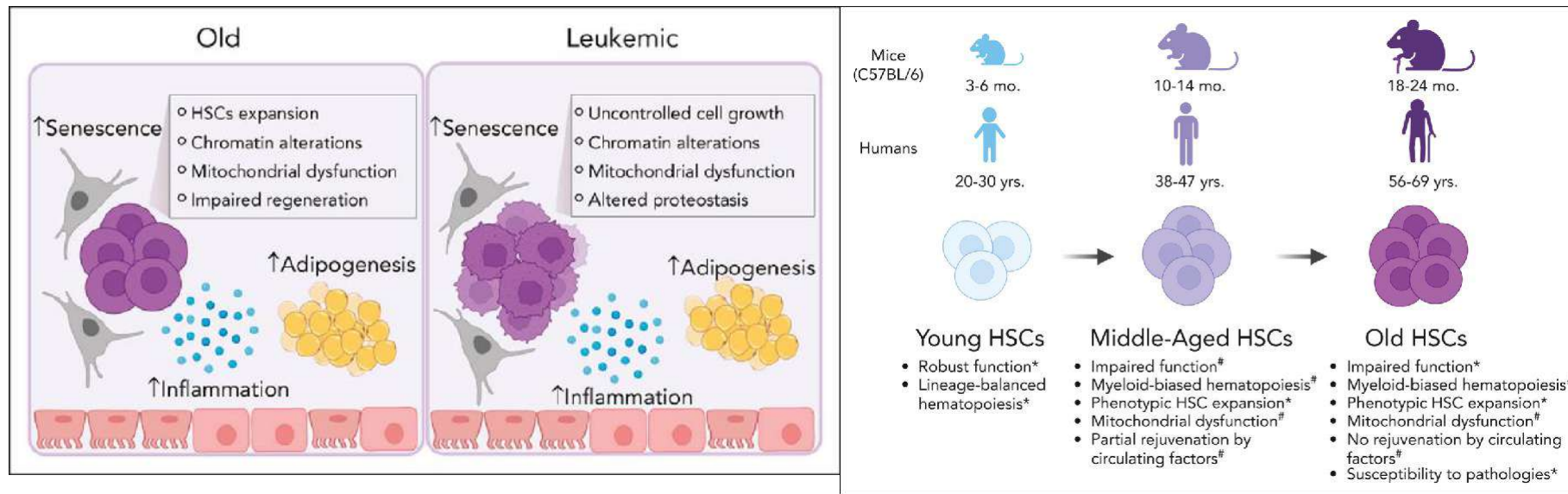


Résultats des CART anti CD19 autologues LALB adulte

| | CTL019 | AUTO-1 | KTE-X19 | MSKCC19-28z |
|-----------|--------|--------|-----------------|--------------|
| CR | 69% | 85% | 71% | 83% |
| EFS 2 ans | 31-49% | 48% | med RFS 11.6 mo | med EFS 6 mo |

Hematopoietic stem cell aging and leukemia transformation

Patricia A. Colom Díaz, Blood 2023



Donor CHIP=safe
Kim, Haematologica 2023

CHIP donneur
GVHc et dim rechute
Frick..Frederik Damm, JCO 2019

CSM pro infla augm GVH dim rec
N De Isla (journée scientifique SFGM 2023)

Impact of Donor Age on Allogeneic Hematopoietic Cell Transplantation Outcomes in Older Adults with Acute Myeloid Leukemia

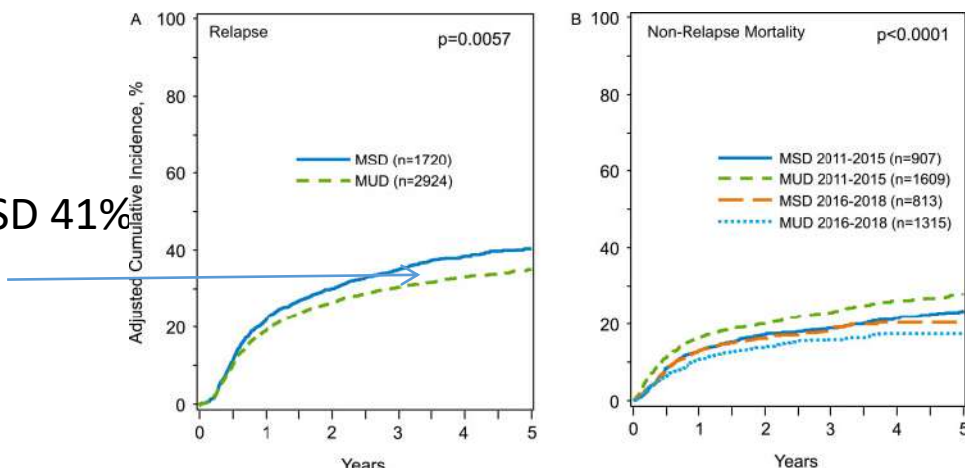
Diminution rechute MUD

Aug NRM MUD
période 2011-2015

Rechute 5 ans

35% MUD vs MSD 41%
 $p=.003$

| | Younger MUD (≤ 35) | N = 2948 | Older MSD (≥ 50) | P-value |
|-----------------|---------------------------|-------------------|-------------------------|-----------------|
| Relapse | HR 0.86 | 95% CI, 0.77-0.96 | HR 1.00 | 0.005 |
| NRM (2011-2015) | HR 1.24 | 95% CI, 1.04-1.49 | HR 1.00 | 0.016 |
| NRM (2016-2018) | HR 0.78 | 95% CI, 0.64-0.96 | HR 1.00 | 0.017 |
| Chronic GVHD | HR 1.18 | 95% CI, 1.08-1.29 | HR 1.00 | 0.0002 |
| DFS | HR 0.92 | 95% CI, 0.85-1.01 | HR 1.00 | 0.073 |
| OS | HR 1.02 | 95% CI, 0.94-1.12 | HR 1.00 | 0.607 |
| 5-year Relapse | 35% | 95% CI, 33%-37% | 41% | 95% CI, 38%-43% |
| 5-year DFS | 44% | 95% CI, 42%-46% | 41% | 95% CI, 38%-43% |



CIBMTR 2011-2018

R LAM>50 ans n=4784 (62 ans)

MSD >50 ans n=1736 (60 ans)

MUD<35 n=2948 (25 ans)

MUD: - de MAC, - de DF pour RH, + de CMV D/R -/+, + de moelle, + d'ATG/alemtuzumab

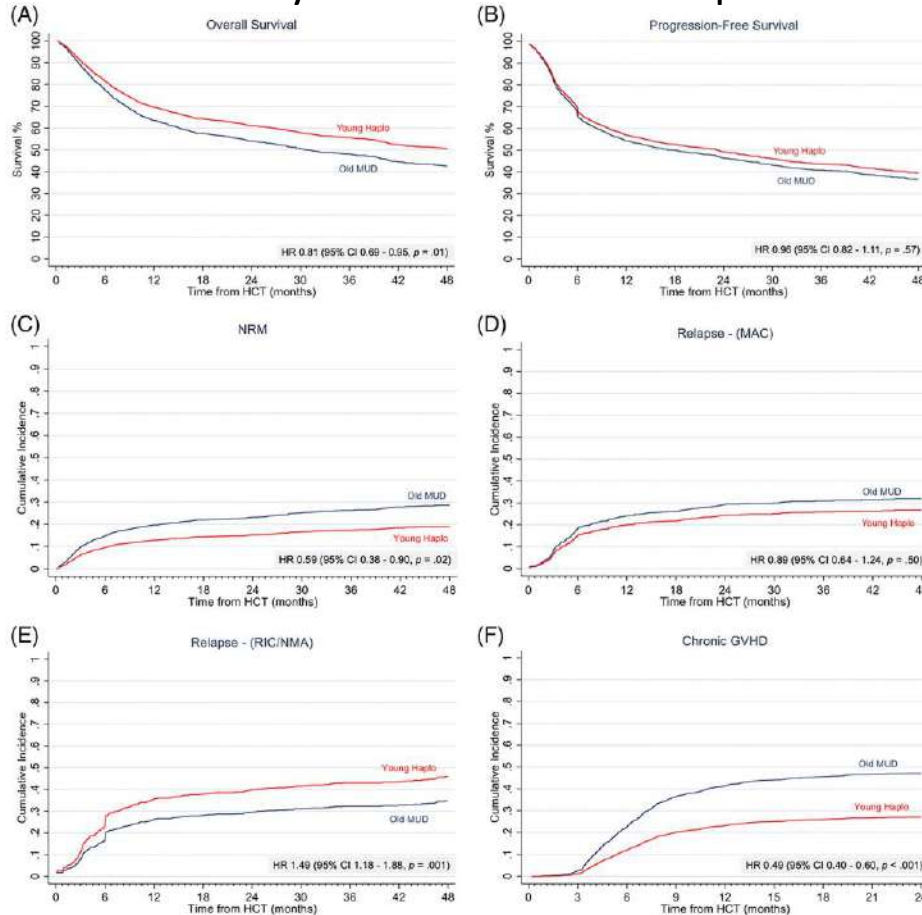
MUD jeune > MSD âgé
LAM haut risque

NRM 5 ans (période 2016-2018)
17% MUD vs MSD 20%
 $p=NS$

M Abid, Transplant Cell Ther 2023

Younger haploidentical donor versus older matched unrelated donor for patients with AML/MDS

Jeune Haplo > MUD âgé
«classique»



Choosing Between Older Matched Sibling Donor and Younger Matched Unrelated Donor in Allogeneic Hematopoietic Cell Transplantation: Comparison of Clinical Outcomes in Acute Myeloid Leukemia and Myelodysplastic Syndrome

Monocentrique LAM/MDS, greffon CSP
n=85 MSD >60 ans vs 292 MUD <30 ans
score propension

Devenir idem

choisir le + rapide et + simple

QUE NOUS RÉSERVE L'AVENIR ?

